

COMMITTENTE:



PROGETTAZIONE:



DIRETTRICE FERROVIARIA MESSINA - CATANIA - PALERMO

NUOVO COLLEGAMENTO PALERMO - CATANIA

U.O. OPERE CIVILI E GESTIONE DELLE VARIANTI

PROGETTO DEFINITIVO

TRATTA LERCARA DIR. - CALTANISSETTA XIRBI (LOTTO 3)

VII1 - Viadotto ferroviario a Singolo binario - sviluppo complessivo 885m

Relazione di calcolo Pile - P13

SCALA:

-

COMMESSA LOTTO FASE ENTE TIPO DOC. OPERA/DISCIPLINA PROGR. REV.


RS3T 30 D 09 CL VI1105 005 B

Rev.	Descrizione	Redatto	Data	Verificato	Data	Approvato	Data	Autorizzato Data
A	Emissione Esecutiva	G. Grimaldi	Gen. 2020	A. Ferri	Gen. 2020	A.Barreca	Gen. 2020	A. Vittozzi Gen. 2020
B	1° agg. A consegna CSLPP	G. Grimaldi	Mag. 2020	A. Ferri	Mag. 2020	A.Barreca	Mag. 2020	A. Vittozzi Mag. 2020

ITALFERR S.p.A.
U.D. Opere Civili e Gestione delle Varianti
Dott. Ing. Angelo Vittozzi
Ordine degli Ingegneri della Provincia di Roma
N° A20783


File: RS3T30D09CLVI1105005B

n. Elab.: 09_264_4


 ITALFERR GRUPPO FERROVIE DELLO STATO ITALIANE	DIRETTRICE FERROVIARIA MESSINA - CATANIA - PALERMO NUOVO COLLEGAMENTO PALERMO - CATANIA PROGETTO DEFINITIVO VI11 - Viadotto ferroviario a Singolo binario – sviluppo complessivo 885 m					
	<i>Progetto definitivo</i> <i>Relazione di calcolo Pile – P13</i>	COMMESSA RS3T	LOTTO 30	CODIFICA D09CL	DOCUMENTO VI1105005	REV. B

INDICE

1.	PREMESSA	3
1.1	Descrizione dell'opera.....	3
2.	DOCUMENTI DI RIFERIMENTO	7
3.	MATERIALI	7
3.1	Verifiche SLE.....	8
3.1.1	<i>Verifiche tensionali</i>	8
3.1.2	<i>Verifiche a fessurazione</i>	9
4.	DATI DI BASE	10
4.1	Geometrie di base.....	10
4.2	Modelli di analisi e verifica	12
4.3	Condizioni elementari e combinazioni di carico.....	12
4.4	Sistemi di riferimento ed unità di misura	16
5.	ANALISI DEI CARICHI	17
5.1	Peso proprio elementi strutturali.....	17
5.2	Carichi strutturali trasmessi dall'impalcato.....	18
5.3	Carichi da traffico verticali	18
5.4	Effetti dinamici	20
5.5	Disposizione treni di carico.....	20
5.6	Carichi da traffico orizzontali	24
5.6.1	<i>Forza centrifuga</i>	24
5.6.2	<i>Serpeggio</i>	26
5.6.3	<i>Frenatura ed avviamento</i>	27
5.6.4	<i>Forza d'attrito</i>	28
5.6.5	<i>Azione del Vento</i>	28
5.7	Azione Sismica	31
5.7.1	<i>Inquadramento Sismico</i>	32
5.7.2	<i>Definizione della domanda sismica</i>	33
5.7.3	<i>Risposta sismica locale</i>	38
5.7.4	<i>Calcolo dell'azione Sismica</i>	39
5.7.5	<i>Check analisi statica</i>	40
5.7.6	<i>Analisi statica equivalente</i>	41
5.7.7	<i>Analisi dinamica modale</i>	42
5.8	Azione idrostatica	43
6.	SOLLECITAZIONI.....	46
6.1	Combinazioni di carico	46

 ITALFERR GRUPPO FERROVIE DELLO STATO ITALIANE	DIRETTRICE FERROVIARIA MESSINA - CATANIA - PALERMO NUOVO COLLEGAMENTO PALERMO - CATANIA PROGETTO DEFINITIVO VI11 - Viadotto ferroviario a Singolo binario – sviluppo complessivo 885 m					
	Progetto definitivo Relazione di calcolo Pile – P13	COMMESSA RS3T	LOTTO 30	CODIFICA D09CL	DOCUMENTO VI1105005	REV. B

6.1.1	Configurazione 1	46
6.1.2	Configurazione 2	52
6.1.3	Configurazione 3	58
6.2	Tabelle riassuntive, massime sollecitazioni	64
6.2.1	Stati limiti di esercizio	64
6.2.2	Stati limiti ultimi	70
7.	VERIFICHE STRUTTURALI.....	73
8.	FUSTO PILA	73
8.1	Modellazione	75
8.2	Verifica a presso flessione	75
8.3	Verifica a taglio	84
8.4	Verifica minimi di armatura	85
8.5	Verifica spostamenti.....	87
9.	PULVINO.....	88
9.1	Progettazione armatura principale e secondaria.....	89
9.2	Verifica dei nodi.....	90
10.	PLINTO DI FONDAZIONE.....	91
10.1	Dimensionamento armature	93
10.2	Verifica a presso-flessione.....	95
10.2.1	Direzione trasversale.....	95
10.2.2	Direzione longitudinale.....	100
10.3	Verifica a punzonamento	105
11.	PALI DI FONDAZIONE.....	106
11.1	Ridistribuzione sollecitazioni testa palo	106
11.2	Verifica strutturale	106
11.3	Verifica a taglio	114
12.	INCIDENZE	115

	DIRETTRICE FERROVIARIA MESSINA - CATANIA - PALERMO NUOVO COLLEGAMENTO PALERMO - CATANIA PROGETTO DEFINITIVO VI11 - Viadotto ferroviario a Singolo binario – sviluppo complessivo 885 m					
	<i>Progetto definitivo</i> <i>Relazione di calcolo Pila – P13</i>	COMMESSA RS3T	LOTTO 30	CODIFICA D09CL	DOCUMENTO VI1105005	REV. B

1. PREMESSA

La presente relazione ha per oggetto il dimensionamento e le verifiche di resistenza secondo il metodo semiprobabilistico agli Stati Limite (S.L.) di una delle Pile del viadotto ferroviario VI11 della tratta ferroviaria Palomba-Catenanuova, viadotto ferroviario previsto nell'ambito del progetto definitivo lungo la direttrice ferroviaria Messina-Catania-Palermo del nuovo collegamento Palermo-Catania. In particolare, si tratterà la Pila 13 che rappresenta la tipologica per tutte le pile di altezze minore o uguale a 10.80m, con variazione di luce 40-50m.

Le analisi strutturali e le verifiche di sicurezza sono state effettuate secondo il DM 17 gennaio 2018.

1.1 Descrizione dell'opera

Il viadotto VI11 attraversa un corso d'acqua maggiore e corre parallelamente alla linea torica. Il viadotto è a doppio binario, ha uno sviluppo complessivo di 885m, ed è costituito da 32 campate isostatiche di luce 25m, 40 e 50m (asse pila-asse pila/ asse pila-asse giunto spalla). Le campate da 25 m sono realizzate con un impalcato in cap a due travi mentre, le campate di luce maggiore sono miste a due travi.

Le pile sono realizzate in c.a. gettato in opera, sono di forma circolare di dimensioni pari a 3.5m. Il pulvino ha una altezza pari a 3.30m. Su esso disposti gli apparecchi di appoggio dell'impalcato secondo lo schema sotto riportato

Il plinto presenta uno spessore di 3metri e una pianta rettangolare di 13.2x9.6, mentre le fondazioni previste sono su pali in c.a. di grande diametro F1200 sia per le pile che per le spalle. Il numero di pali pari a 12 e disposti ad interessa minimi di 3.6m. Si è assunta una distanza dal bordo degli stessi di 1.20 m.

Per l'implementazione delle geometrie, vista la vastità delle casistiche, sono state adottate delle schematizzazioni in special modo per plinto di fondazione e pulvino. Per il pulvino, ad esempio, è stata adottata un'altezza costante di 2m ma, tenuto propriamente conto dei reali bracci e delle masse.

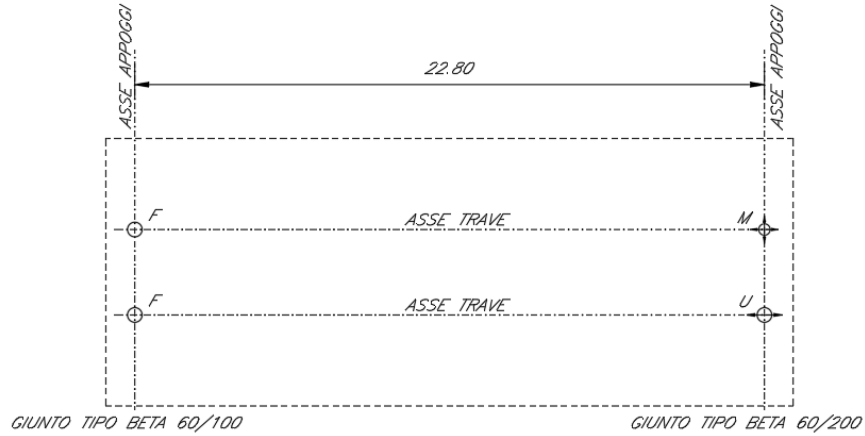
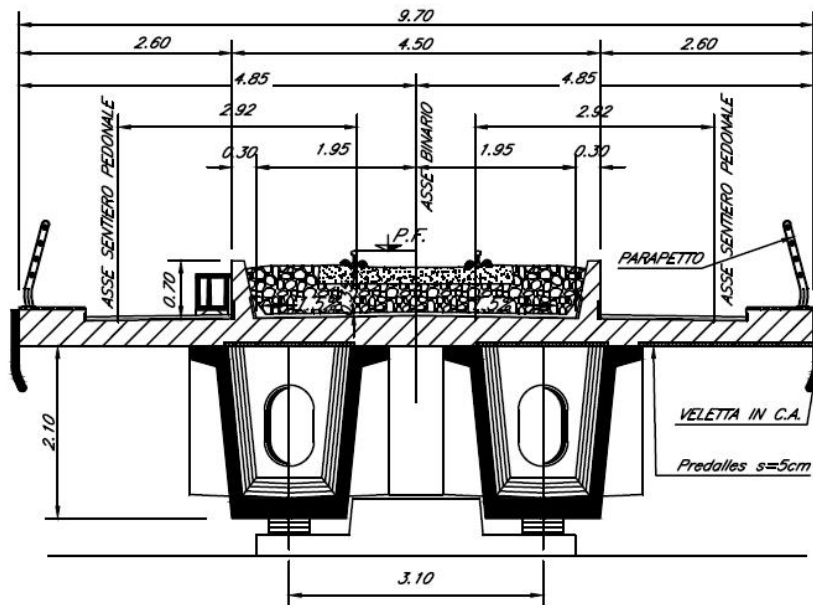


Figura 1: schema appoggi impalcata sx e dx



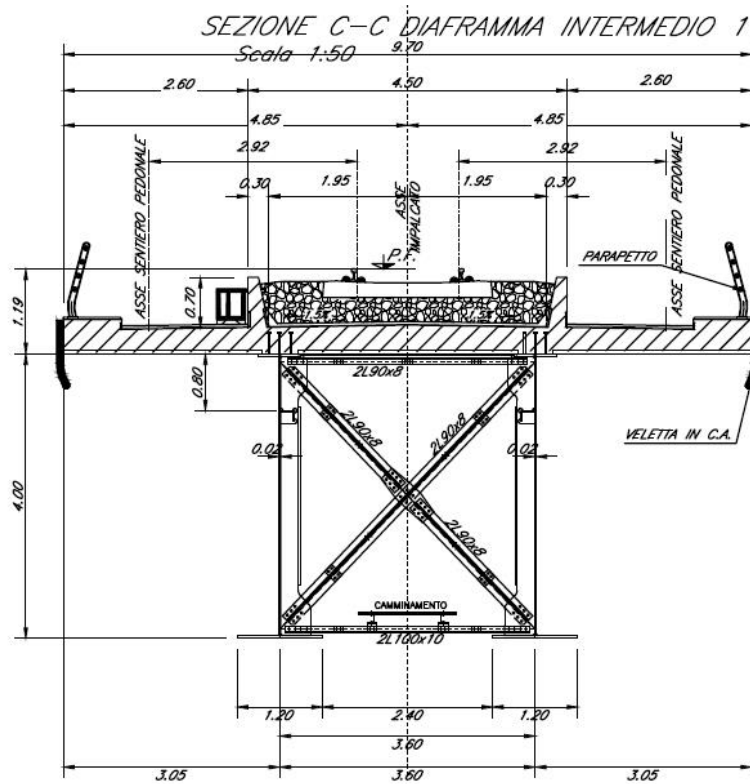
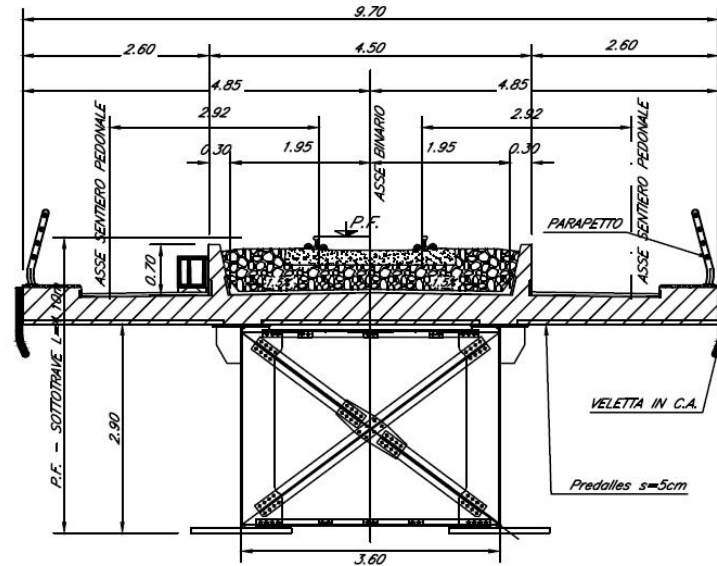


Figura 2: sezione trasversale impalcato

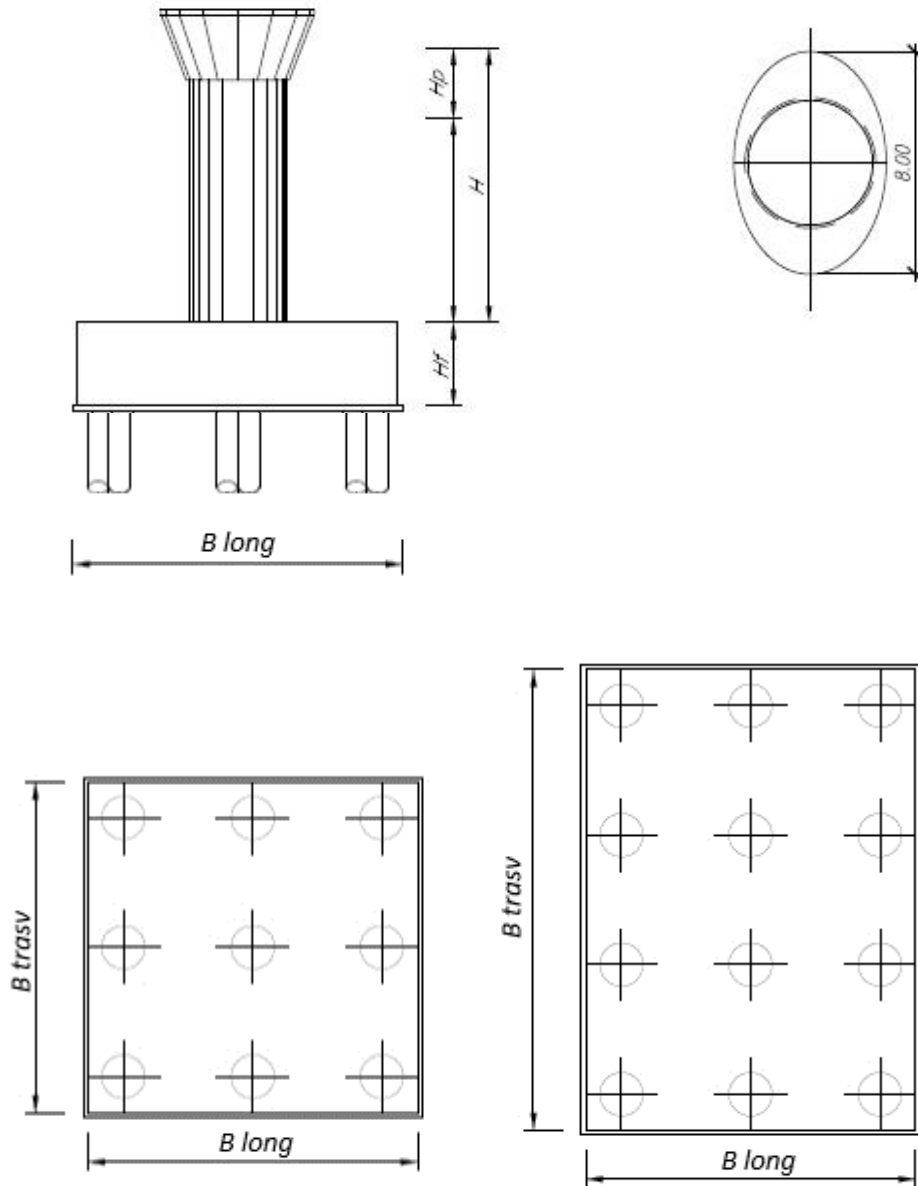



Figura 3: pianta, sezione e prospetti pila

 ITALFERR GRUPPO FERROVIE DELLO STATO ITALIANE	DIRETTRICE FERROVIARIA MESSINA - CATANIA - PALERMO NUOVO COLLEGAMENTO PALERMO - CATANIA PROGETTO DEFINITIVO VI11 - Viadotto ferroviario a Singolo binario – sviluppo complessivo 885 m					
	Progetto definitivo Relazione di calcolo Pile – P13	COMMESSA RS3T	LOTTO 30	CODIFICA D09CL	DOCUMENTO VI1105005	REV. B

2. DOCUMENTI DI RIFERIMENTO

Le principali Normative nazionali ed internazionali vigenti alla data di redazione del presente documento e prese a riferimento sono le seguenti:

- *Ministero delle Infrastrutture, DM 17 gennaio 2018, Aggiornamento delle «Norme tecniche per le costruzioni».*
- *Ministero delle Infrastrutture e Trasporti, Circolare 21 gennaio 2019, n. 7/C.S.LL.PP., «Istruzioni per l'applicazione delle Nuove norme tecniche per le costruzioni di cui al decreto ministeriale 17 gennaio 2018»*
- *Istruzione RFI DTC SI PS MA IFS 001 - Manuale di Progettazione delle Opere Civili - Parte II - Sezione 2 - Ponti e Strutture*
- *Istruzione RFI DTC SI CS MA IFS 001 - Manuale di Progettazione delle Opere Civili - Parte II - Sezione 3 - Corpo Stradale*
- *Regolamento (UE) N.1299/2014 della Commissione del 18 Novembre 2014 relativo alle specifiche tecniche di interoperabilità per il sottosistema “infrastruttura” del sistema ferroviario dell’Unione europea modificato dal Regolamento di esecuzione (UE) N° 2019/776 della Commissione del 16 maggio 2019;*

3. MATERIALI


Le caratteristiche dei materiali previsti le sottostrutture sono le seguenti:

- Calcestruzzo pali di fondazione, cordoli, opere provvisionali, calcestruzzo fondazioni

classe di resistenza conglomerato		dasse	C25/30	
resistenza caratteristica cubica a comp.		R _{ck}	30	<i>MPa</i>
modulo elastico		E _c	31476	<i>MPa</i>
resistenza media cilindrica a comp.		f _{cm}	33	<i>MPa</i>
resistenza cilindrica caratteristica a comp.		f _{cd}	25	<i>MPa</i>

- Calcestruzzo fondazioni armate

classe di resistenza conglomerato		dasse	C28/35	
resistenza caratteristica cubica a comp.		R _{ck}	35	<i>MPa</i>
modulo elastico		E _c	32308	<i>MPa</i>
resistenza media cilindrica a comp.		f _{cm}	36	<i>MPa</i>
resistenza cilindrica caratteristica a comp.		f _{cd}	28	<i>MPa</i>

 ITAFERR GRUPPO FERROVIE DELLO STATO ITALIANE	DIRETTRICE FERROVIARIA MESSINA - CATANIA - PALERMO NUOVO COLLEGAMENTO PALERMO - CATANIA PROGETTO DEFINITIVO VI11 - Viadotto ferroviario a Singolo binario – sviluppo complessivo 885 m					
	<i>Progetto definitivo</i> <i>Relazione di calcolo Pile – P13</i>	COMMESSA RS3T	LOTTO 30	CODIFICA D09CL	DOCUMENTO VI1105005	REV. B

- Calcestruzzo elevazione pile (compresi pulvini, baggioli e ritegni), spalle

classe di resistenza conglomerato		classe	C32/40	
resistenza caratteristica cubica a comp.		Rck	40	<i>MPa</i>
modulo elastico		Ec	33346	<i>MPa</i>
resistenza media cilindrica a comp.		fcm	40	<i>MPa</i>
resistenza cilindrica caratteristica a comp.		fck	32	<i>MPa</i>

- Acciaio ordinario per calcestruzzo armato

denominazione tipo d'acciaio		nome	B450	
modulo elastico		Es	210000	<i>MPa</i>
tensione media di snervamento		fym	480	<i>MPa</i>
tensione caratteristica di snervamento		fyk	450	<i>MPa</i>
tensione di snervamento di calcolo		fyd	391.30	<i>MPa</i>
tensione caratteristica a rottura		ftk	540	<i>MPa</i>

Le verifiche del plinto di fondazione vengono condotte, a favore di sicurezza, con una classe di calcestruzzo C25/30.

3.1 Verifiche SLE


La verifica nei confronti degli Stati limite di esercizio, consiste nel controllare, con riferimento alle sollecitazioni di calcolo corrispondenti alle Combinazioni di Esercizio il tasso di Lavoro nei Materiali e l'ampiezza delle fessure attesa, secondo quanto di seguito specificato.

3.1.1 Verifiche tensionali

La verifica delle tensioni in esercizio consiste nel controllare il rispetto dei limiti tensionali previsti per il calcestruzzo e per l'acciaio per ciascuna delle combinazioni di carico caratteristiche "Rara" e "Quasi Permanente"; i valori tensionali nei materiali sono valutati secondo le note teorie di analisi delle sezioni in c.a. in campo elastico e con calcestruzzo "non reagente" adottando come limiti di riferimento, trattandosi nel caso in specie di opere Ferroviarie, quelli indicati nel documento "Specifiche per la progettazione e l'esecuzione dei ponti ferroviari e di altre opere minori sotto binario", ovvero:

tensione massima di compressione del calcestruzzo

- per combinazione caratteristica (rara) : 0.55 fck
- per combinazione quasi permanente : 0.40 fck

 ITALFERR GRUPPO FERROVIE DELLO STATO ITALIANE	DIRETTRICE FERROVIARIA MESSINA - CATANIA - PALERMO NUOVO COLLEGAMENTO PALERMO - CATANIA PROGETTO DEFINITIVO VI11 - Viadotto ferroviario a Singolo binario – sviluppo complessivo 885 m					
	Progetto definitivo Relazione di calcolo Pile – P13	COMMESSA RS3T	LOTTO 30	CODIFICA D09CL	DOCUMENTO VI1105005	REV. B

- per spessori minori di 5cm tali valori devono essere decrementati del 30%.

tensione massima di trazione dell'acciaio

- per combinazione caratteristica (rara) : $0.75 f_{yk}$

Per il caso in esame risulta in particolare per l'elevazione:

$$\begin{aligned} \sigma_{c \max QP} &= (0,40 f_{ck}) = 12.8 \text{ MPa} && (\text{Combinazione di Carico Quasi Permanente}) \\ \sigma_{c \max R} &= (0,55 f_{ck}) = 17.6 \text{ MPa} && (\text{Combinazione di Carico Caratteristica - Rara}) \\ \sigma_{s \max R} &= (0,75 f_{yk}) = 337.5 \text{ MPa} && (\text{Combinazione di Carico Caratteristica - Rara}) \end{aligned}$$

3.1.2 Verifiche a fessurazione

La verifica di fessurazione consiste nel controllare l'ampiezza dell'apertura delle fessure sotto combinazione di carico frequente e combinazione quasi permanente. Essendo la struttura a contatto col terreno si considerano condizioni ambientali aggressive; le armature di acciaio ordinario sono ritenute poco sensibili [NTC – Tabella 4.1.IV]. In relazione all'aggressività ambientale e alla sensibilità dell'acciaio, l'apertura limite delle fessure è riportato nel prospetto seguente:

Tabella 1 - Criteri di scelta dello stato limite di fessurazione e Condizioni Ambientali


Gruppi di esigenza	Condizioni ambientali	Combinazione di azione	Armatura			
			Sensibile		Poco sensibile	
			Stato limite	wk	Stato limite	wk
A	Ordinarie	frequente	ap. fessure	$\leq w_2$	ap. fessure	$\leq w_3$
		quasi permanente	ap. fessure	$\leq w_1$	ap. fessure	$\leq w_2$
B	Aggressive	frequente	ap. fessure	$\leq w_1$	ap. fessure	$\leq w_2$
		quasi permanente	decompressione	-	ap. fessure	$\leq w_1$
C	Molto Aggressive	frequente	formazione fessure	-	ap. fessure	$\leq w_1$
		quasi permanente	decompressione	-	ap. fessure	$\leq w_1$

Tabella 2 - Descrizione delle condizioni ambientali

CONDIZIONI AMBIENTALI	CLASSE DI ESPOSIZIONE
Ordinarie	X0, XC1, XC2, XC3, XF1
Aggressive	XC4, XD1, XS1, XA1, XA2, XF2, XF3
Molto aggressive	XD2, XD3, XS2, XS3, XA3, XF4

Risultando:

- $w_1 = 0.2 \text{ mm}$
- $w_2 = 0.3 \text{ mm}$
- $w_3 = 0.4 \text{ mm}$

 ITALFERR GRUPPO FERROVIE DELLO STATO ITALIANE	DIRETTRICE FERROVIARIA MESSINA - CATANIA - PALERMO NUOVO COLLEGAMENTO PALERMO - CATANIA PROGETTO DEFINITIVO VI11 - Viadotto ferroviario a Singolo binario – sviluppo complessivo 885 m					
	Progetto definitivo Relazione di calcolo Pile – P13	COMMESSA RS3T	LOTTO 30	CODIFICA D09CL	DOCUMENTO VI1105005	REV. B

Alle prescrizioni normative presenti in NTC si sostituiscono in tal caso quelle fornite dal “Manuale di Progettazione delle Opere Civili” secondo cui la verifica nei confronti dello stato limite di apertura delle fessure va effettuata utilizzando le sollecitazioni derivanti dalla combinazione caratteristica (rara).

Per strutture in condizioni ambientali aggressive o molto aggressive, qual è il caso delle strutture in esame così come identificate nel par. 4.1.2.2.4.2 del DM 17.1.2018, per tutte le strutture a permanente contatto con il terreno e per le zone non ispezionabili di tutte le strutture, l’apertura convenzionale delle fessure dovrà risultare:

- Combinazione Caratteristica (Rara) $\delta_f \leq w_1 = 0.2 \text{ mm}$

Riguardo infine il valore di calcolo delle fessure da confrontare con i valori limite fissati dalla norma, si è utilizzata la procedura del D.M. 9 gennaio 1996, in accordo a quanto previsto al punto” C4.1.2.2.4.5 Verifica allo stato limite di fessurazione” della Circolare 21 gennaio 2019 n.7/C.S.L.L:PP..


Considerando quanto sopra riportato, per una semplice implementazione nel programma di calcolo RC-SEC, la combinazione RARA riferita al gruppo 4 è stata implementata fittiziamente come “frequente” in modo da separarla ed applicare la restrizione dei 0.2mm. Tutte le combinazioni RARE restanti sono state verificate per le sole verifiche tensionali.

4. DATI DI BASE

4.1 Geometrie di base

La pila presenta una sezione circolare piena di dimensioni 3.5m, una altezza complessiva di 10.80m. Il pulvino è costituito da una sezione piena ellissoidale ed altezza variabile in funzione del tipo d’impalcato. Nei calcoli si è incrementato del 10% la massa del pulvino per tener conto di velette, baggioli e ritegni. Le fondazioni sono realizzate su pali di diametro 1200mm collegate in testa da una platea di spessore 3m.

PILA						
altezza pila- estradosso fond/estradosso pulvino				Hp	10.8	m
tipologia di sezione					circolare	
larghezza trasversale pila				b	0.000	m
larghezza longitudinale pila				d	0.000	m
raggio della sezione				R	1.75	m
area della sezione				A	9.621	m ²
inerzia sezione direzione trasversale				I11	7.366	m ⁴
inerzia sezione direzione longitudinale				I22	7.366	m ⁴
calcestruzzo				fck	32	MPa
massa pulvino				mp	2117	kN
PULVINO						
asse minore ellisse				a	5.48	m
asse maggiore ellisse				b	8	m
altezza pulvino				h	2	m
massa pulvino		<i>compresa del +10%</i>		mp	1917	kN
FONDAZIONE						
asse minore ellisse				a	13.2	m
asse maggiore ellisse				b	9.6	m
altezza della fondazione				h	3	m
altezza terreno di ricoprimento				ht	5	m
area netta per calcolo ricoprimento				A	117.1	m ³
peso di vulume del terreno				y	19	kN/3
Ulteriori distanze e bracci						
distanza asse pila e appoggi per momento longitud.				il	1.2	
interasse tra i binari (se singolo 0)				ib	4	m
dist. tra interasse del singolo binario e asse pila				a	2	m

	DIRETTRICE FERROVIARIA MESSINA - CATANIA - PALERMO NUOVO COLLEGAMENTO PALERMO - CATANIA PROGETTO DEFINITIVO VI11 - Viadotto ferroviario a Singolo binario – sviluppo complessivo 885 m					
	Progetto definitivo Relazione di calcolo Pile – P13	COMMESSA RS3T	LOTTO 30	CODIFICA D09CL	DOCUMENTO VI1105005	REV. B

4.2 Modelli di analisi e verifica

Le sollecitazioni di verifica della pila sono state determinate a partire dai valori delle risultanti delle azioni trasmesse dagli impalcati alla quota degli apparecchi di appoggio alle quali sono state combinate le azioni determinate dalle azioni date dalle forze di inerzia e dal peso proprio delle sottostrutture. Il modello della struttura è stato implementato in un foglio di calcolo appositamente realizzato per la valutazione delle azioni agenti sulle singole parti della struttura, quali fusto pila e plinto. Per l'analisi e la verifica del plinto di fondazione, si è utilizzato un modello, a seconda della geometria, di tirante-puntone o trave inflessa.

Per quanto riguarda invece le sollecitazioni sui pali di fondazione a partire dalle azioni risultanti nel baricentro del plinto alla quota di intradosso, sono stati calcolati, per ciascuna combinazione di carico, gli sforzi assiali e di taglio in testa ai pali di fondazione utilizzando il classico modello a piastra rigida.

4.3 Condizioni elementari e combinazioni di carico

Le verifiche di sicurezza strutturali e geotecniche sono state condotte utilizzando combinazioni di carico definite in ottemperanza alle NTC18, secondo quanto riportato nei paragrafi 2.5.3, 5.1.3.12. Di seguito sono mostrati i coefficienti parziali di sicurezza utilizzati allo SLU ed i coefficienti di combinazione adoperati per i carichi variabili nella progettazione delle strutture da ponte.

2.5.3 COMBINAZIONI DELLE AZIONI

Ai fini delle verifiche degli stati limite si definiscono le seguenti combinazioni delle azioni.

- Combinazione fondamentale, generalmente impiegata per gli stati limite ultimi (SLU):

$$\gamma_{G1} \cdot G_1 + \gamma_{G2} \cdot G_2 + \gamma_P \cdot P + \gamma_{Q1} \cdot Q_{k1} + \gamma_{Q2} \cdot \psi_{02} \cdot Q_{k2} + \gamma_{Q3} \cdot \psi_{03} \cdot Q_{k3} + \dots \quad (2.5.1)$$

- Combinazione caratteristica (rara), generalmente impiegata per gli stati limite di esercizio (SLE) irreversibili, da utilizzarsi nelle verifiche alle tensioni ammissibili di cui al § 2.7:

$$G_1 + G_2 + P + Q_{k1} + \psi_{02} \cdot Q_{k2} + \psi_{03} \cdot Q_{k3} + \dots \quad (2.5.2)$$

- Combinazione frequente, generalmente impiegata per gli stati limite di esercizio (SLE) reversibili:

$$G_1 + G_2 + P + \psi_{11} \cdot Q_{k1} + \psi_{22} \cdot Q_{k2} + \psi_{23} \cdot Q_{k3} + \dots \quad (2.5.3)$$

- Combinazione quasi permanente (SLE), generalmente impiegata per gli effetti a lungo termine:

$$G_1 + G_2 + P + \psi_{21} \cdot Q_{k1} + \psi_{22} \cdot Q_{k2} + \psi_{23} \cdot Q_{k3} + \dots \quad (2.5.4)$$

- Combinazione sismica, impiegata per gli stati limite ultimi e di esercizio connessi all'azione sismica E (v. § 3.2):

$$E + G_1 + G_2 + P + \psi_{21} \cdot Q_{k1} + \psi_{22} \cdot Q_{k2} + \dots \quad (2.5.5)$$

- Combinazione eccezionale, impiegata per gli stati limite ultimi connessi alle azioni eccezionali di progetto A_d (v. § 3.6):

$$G_1 + G_2 + P + A_d + \psi_{21} \cdot Q_{k1} + \psi_{22} \cdot Q_{k2} + \dots \quad (2.5.6)$$

Nelle combinazioni per SLE, si intende che vengono omessi i carichi Q_{kj} che danno un contributo favorevole ai fini delle verifiche e, se del caso, i carichi G_2 .

		Coefficiente	EQU ⁽¹⁾	A1 STR	A2 GEO	Combinazione eccezionale	Combinazione Sismica
Carichi permanenti	favorevoli	γ_{G1}	0,90	1,00	1,00	1,00	1,00
	sfavorevoli		1,10	1,35	1,00	1,00	1,00
Carichi permanenti non strutturali ⁽²⁾	favorevoli	γ_{G2}	0,00	0,00	0,00	1,00	1,00
	sfavorevoli		1,50	1,50	1,30	1,00	1,00
Ballast ⁽³⁾	favorevoli	γ_B	0,90	1,00	1,00	1,00	1,00
	sfavorevoli		1,50	1,50	1,30	1,00	1,00
Carichi variabili da traffico ⁽⁴⁾	favorevoli	γ_Q	0,00	0,00	0,00	0,00	0,00
	sfavorevoli		1,45	1,45	1,25	0,20 ⁽⁵⁾	0,20 ⁽⁵⁾
Carichi variabili	favorevoli	γ_{Qi}	0,00	0,00	0,00	0,00	0,00
	sfavorevoli		1,50	1,50	1,30	1,00	0,00
Precompressione	favorevole	γ_P	0,90	1,00	1,00	1,00	1,00
	sfavorevole		1,00 ⁽⁶⁾	1,00 ⁽⁷⁾	1,00	1,00	1,00

⁽¹⁾ Equilibrio che non coinvolga i parametri di deformabilità e resistenza del terreno; altrimenti si applicano i valori di GEO.
⁽²⁾ Nel caso in cui i carichi permanenti non strutturali (ad es. carichi permanenti portati) siano compiutamente definiti si potranno adottare gli stessi coefficienti validi per le azioni permanenti.
⁽³⁾ Quando si prevedano variazioni significative del carico dovuto al ballast, se ne dovrà tener conto esplicitamente nelle verifiche.
⁽⁴⁾ Le componenti delle azioni da traffico sono introdotte in combinazione considerando uno dei gruppi di carico gr della Tab. 5.2.IV.
⁽⁵⁾ Aliquota di carico da traffico da considerare.
⁽⁶⁾ 1,30 per instabilità in strutture con precompressione esterna
⁽⁷⁾ 1,20 per effetti locali

Azioni		ψ_0	ψ_1	ψ_2
Azioni singole da traffico	Carico sul rilevato a tergo delle spalle	0,80	0,50	0,0
	Azioni aerodinamiche generate dal transito dei convogli	0,80	0,50	0,0
Gruppi di carico	gr1	0,80 ⁽²⁾	0,80 ⁽¹⁾	0,0
	gr2	0,80 ⁽²⁾	0,80 ⁽¹⁾	-
	gr3	0,80 ⁽²⁾	0,80 ⁽¹⁾	0,0
	gr4	1,00	1,00 ⁽¹⁾	0,0
Azioni del vento	F_{Wk}	0,60	0,50	0,0
Azioni da neve	in fase di esecuzione	0,80	0,0	0,0
	SLU e SLE	0,0	0,0	0,0
Azioni termiche	T_k	0,60	0,60	0,50

⁽¹⁾ 0,80 se è carico solo un binario, 0,60 se sono carichi due binari e 0,40 se sono carichi tre o più binari.

⁽²⁾ Quando come azione di base venga assunta quella del vento, i coefficienti ψ_0 relativi ai gruppi di carico delle azioni da traffico vanno assunti pari a 0,0.

Azioni		Ψ_0	Ψ_1	Ψ_2
Azioni singole da traffico	Treno di carico LM 71	0,80 ⁽³⁾	(1)	0,0
	Treno di carico SW /0	0,80 ⁽³⁾	0,80	0,0
	Treno di carico SW/2	0,0 ⁽³⁾	0,80	0,0
	Treno scarico	1,00 ⁽³⁾	-	-
	Centrifuga	(2) (3)	(2)	(2)
	Azione laterale (serpeggio)	1,00 ⁽³⁾	0,80	0,0

(1) 0,80 se è carico solo un binario, 0,60 se sono carichi due binari e 0,40 se sono carichi tre o più binari.

(2) Si usano gli stessi coefficienti Ψ adottati per i carichi che provocano dette azioni.

(3) Quando come azione di base venga assunta quella del vento, i coefficienti Ψ_0 relativi ai gruppi di carico delle azioni da traffico vanno assunti pari a 0,0.

Nel seguito si riportano le azioni considerate ai fini della valutazione delle sollecitazioni agenti sulle sottostrutture e quindi, alle verifiche strutturali.

Nome Combinazione	G1	G2	Treno	Treno scarico	F_fre	F_cent	F_serp	F_att	Vento	E_long	E_tra	E_ver	Idra
A1_SLU_gr1_Treno	1.35	1.5	1.45	0	0.725	1.45	1.45	0.9	0	0	0	0	1.5
A1_SLU_gr2_Scarico	1.35	1.5	0	1.45	0	1.45	1.45	0.9	0	0	0	0	1.5
A1_SLU_gr3_Fre/avv	1.35	1.5	1.45	0	1.45	0.725	0.725	0.9	0	0	0	0	1.5
A1_SLU_gr4_centrif	1.35	1.5	1.16	0	1.16	1.16	1.16	0.9	0	0	0	0	1.5
A1_SLU_gr1+vento	1.35	1.5	1.45	0	0.725	1.45	1.45	0.9	0.9	0	0	0	1.5
A1_SLU_gr2+vento	1.35	1.5	0	1.45	0	1.45	1.45	0.9	0.9	0	0	0	1.5
A1_SLU_gr3+vento	1.35	1.5	1.45	0	1.45	0.725	0.725	0.9	0.9	0	0	0	1.5
A1_SLU_gr4+vento	1.35	1.5	1.16	0	1.16	1.16	1.16	0.9	0.9	0	0	0	1.5
A1_SLU_vento_gr1	1.35	1.5	0	0	0	0	0	0	1.5	0	0	0	1.5
A1_SLU_vento_gr2	1.35	1.5	0	0	0	0	0	0	1.5	0	0	0	1.5
A1_SLU_vento_gr3	1.35	1.5	0	0	0	0	0	0	1.5	0	0	0	1.5
A1_SLU_vento_gr4	1.35	1.5	0	0	0	0	0	0	1.5	0	0	0	1.5
A1_SLU_Scalz_gr1	1.35	1.5	1.16	0	0.58	1.16	1.16	0.72	0	0	0	0	1.5
A1_SLU_Scalz_gr2	1.35	1.5	0	1.16	0	1.16	1.16	0.72	0	0	0	0	1.5
A1_SLU_Scalz_gr3	1.35	1.5	1.16	0	1.16	0.58	0.58	0.72	0	0	0	0	1.5
A1_SLU_Scalz_gr4	1.35	1.5	1.16	0	1.16	1.16	1.16	0.9	0	0	0	0	1.5
SLE_rar_gr1_Treno	1	1	1	0	0.5	1	1	0.6	0	0	0	0	1
SLE_rar_gr2_Scarico	1	1	0	1	0	1	1	0.6	0	0	0	0	1
SLE_rar_gr3_Fre/avv	1	1	1	0	1	0.5	0.5	0.6	0	0	0	0	1
SLE_rar_gr4_centrif	1	1	0.8	0	0.8	0.8	0.8	0.6	0	0	0	0	1
SLE_rar_gr1+vento	1	1	1	0	0.5	1	1	0.6	0.6	0	0	0	1
SLE_rar_gr2+vento	1	1	0	1	0	1	1	0.6	0.6	0	0	0	1
SLE_rar_gr3+vento	1	1	1	0	1	0.5	0.5	0.6	0.6	0	0	0	1
SLE_rar_gr4+vento	1	1	0.8	0	0.8	0.8	0.8	0.6	0.6	0	0	0	1
SLE_rar_vento_gr1	1	1	0	0	0	0	0	0	1	0	0	0	1
SLE_rar_vento_gr2	1	1	0	0	0	0	0	0	1	0	0	0	1
SLE_rar_vento_gr3	1	1	0	0	0	0	0	0	1	0	0	0	1
SLE_rar_vento_gr4	1	1	0	0	0	0	0	0	1	0	0	0	1
SLE_fre_gr1_Treno	1	1	0.8	0	0.4	0.8	0.8	0.4	0	0	0	0	1
SLE_fre_gr2_Scarico	1	1	0	0.8	0	0.8	0.8	0.4	0	0	0	0	1
SLE_fre_gr3_Fre/avv	1	1	0.8	0	0.8	0.4	0.4	0.4	0	0	0	0	1
SLE_fre_gr4_centrif	1	1	0.8	0	0.8	0.8	0.8	0.5	0	0	0	0	1
SLE_fre_gr1+vento	1	1	0.8	0	0.4	0.8	0.8	0.4	0.2	0	0	0	1
SLE_fre_gr2+vento	1	1	0	0.8	0	0.8	0.8	0.4	0.2	0	0	0	1
SLE_fre_gr3+vento	1	1	0.8	0	0.8	0.4	0.4	0.4	0.2	0	0	0	1
SLE_fre_gr4+vento	1	1	0.8	0	0.8	0.8	0.8	0.5	0.2	0	0	0	1
SLE_fre_vento_gr1	1	1	0	0	0	0	0	0.5	0.5	0	0	0	1
SLE_fre_vento_gr2	1	1	0	0	0	0	0	0.5	0.5	0	0	0	1
SLE_fre_vento_gr3	1	1	0	0	0	0	0	0.5	0.5	0	0	0	1
SLE_fre_vento_gr4	1	1	0	0	0	0	0	0.5	0.5	0	0	0	1
SLE_fre_gr1_temp	1	1	0	0	0	0	0	0.6	0.2	0	0	0	1
SLE_fre_gr2_temp	1	1	0	0	0	0	0	0.6	0.2	0	0	0	1
SLE_fre_gr3_temp	1	1	0	0	0	0	0	0.6	0.2	0	0	0	1
SLE_fre_gr3_temp	1	1	0	0	0	0	0	0.6	0.2	0	0	0	1

Nome Combinazione	G1	G2	Treno	Treno scarico	F_fre	F_cent	F_serp	F_att	Vento	E_long	E_tra	E_ver	Idra
SLE_qp_gr1_Treno_	1	1	0	0	0	0	0	0.5	0	0	0	0	1
SLE_qp_gr2_Scarico_	1	1	0	0	0	0	0	0.5	0	0	0	0	1
SLE_qp_gr3_Fre/avv	1	1	0	0	0	0	0	0.5	0	0	0	0	1
SLE_qp_gr4_centrif_	1	1	0	0	0	0	0	0.5	0	0	0	0	1
SLE_qp_gr1+vento	1	1	0	0	0	0	0	0.5	0.2	0	0	0	1
SLE_qp_gr2+vento	1	1	0	0	0	0	0	0.5	0.2	0	0	0	1
SLE_qp_gr3+vento	1	1	0	0	0	0	0	0.5	0.2	0	0	0	1
SLE_qp_gr4+vento	1	1	0	0	0	0	0	0.5	0.2	0	0	0	1
SLE_qp_vento_gr1_	1	1	0	0	0	0	0	0.5	0.2	0	0	0	1
SLE_qp_vento_gr2	1	1	0	0	0	0	0	0.5	0.2	0	0	0	1
SLE_qp_vento_gr3	1	1	0	0	0	0	0	0.5	0.2	0	0	0	1
SLE_qp_vento_gr4	1	1	0	0	0	0	0	0.5	0.2	0	0	0	1
SLE_qp_gr1_temp	1	1	0	0	0	0	0	0.5	0	0	0	0	1
SLE_qp_gr2_temp	1	1	0	0	0	0	0	0.5	0	0	0	0	1
SLE_qp_gr3_temp	1	1	0	0	0	0	0	0.5	0	0	0	0	1
SLE_qp_gr3_temp	1	1	0	0	0	0	0	0.5	0	0	0	0	1
E_103x_	1	1	0.2	0	0	0	0	0.5	0.2	1	0.3	0.3	1
E_103y_	1	1	0.2	0	0	0	0	0.5	0.2	0.3	1	0.3	1
E_103z_	1	1	0.2	0	0	0	0	0.5	0.2	0.3	0.3	1	1

Le combinazioni di carico sismiche che tengo conto della componente verticale negativa non vengono riportate in quanto poco significative.

Gli scarichi agli appoggi, riportati nei paragrafi seguenti, fanno riferimento alla seguente terna di assi:

- asse X coincidente con l'asse trasversale del ponte;
- asse Y coincidente con l'asse longitudinale del ponte;
- asse Z coincidente con l'asse verticale del ponte;


Per quanto riguarda la risposta alle diverse componenti dell'azione sismica, poiché si è adottata un'analisi in campo lineare, essa può essere calcolata separatamente per ciascuna delle componenti. Gli effetti sulla struttura (sollecitazioni, deformazioni, spostamenti, ecc) sono combinate successivamente applicando l'espressione

$$1.00 \cdot E_x + 0.30 \cdot E_y + 0.30 \cdot E_z$$

con rotazione ed inversione dei coefficienti moltiplicativi e conseguente individuazione degli effetti più gravosi.

4.4 Sistemi di riferimento ed unità di misura

- Asse X parallelo all'asse trasversale dell'impalcato
- Asse Y ortogonale all'asse longitudinale dell'impalcato
- Asse Z verticale

 ITALFERR GRUPPO FERROVIE DELLO STATO ITALIANE	DIRETTRICE FERROVIARIA MESSINA - CATANIA - PALERMO NUOVO COLLEGAMENTO PALERMO - CATANIA PROGETTO DEFINITIVO VI11 - Viadotto ferroviario a Singolo binario – sviluppo complessivo 885 m					
	Progetto definitivo Relazione di calcolo Pile – P13	COMMESSA RS3T	LOTTO 30	CODIFICA D09CL	DOCUMENTO VI1105005	REV. B

5.2 Carichi strutturali trasmessi dall'impalcato

Si riportano di seguito gli scarichi agli appoggi dedotti dall'analisi dell'impalcato, per la campata sinistra e destra:

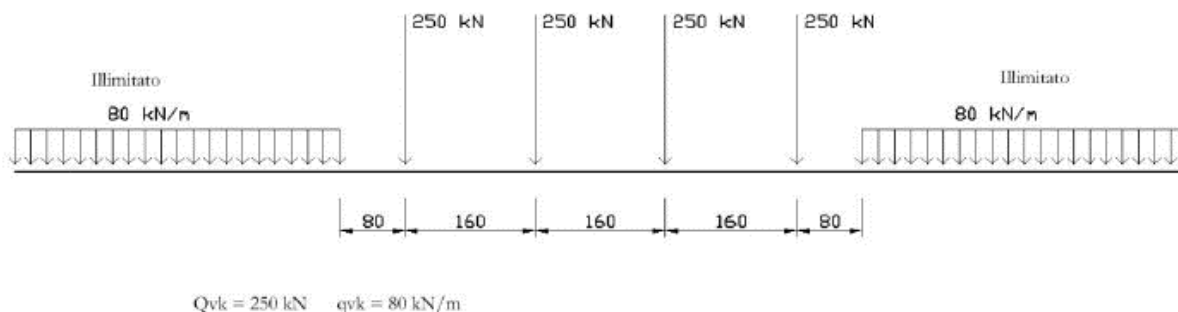
	N	Mlong
	KN	kN m
scarichi estradosso Pila - G1	5761	940
scarichi estradosso Pila - G2	5122	538
scarichi estradosso Fondazione - G1	10070	940
scarichi estradotto Fondazione - G2	5122	538
scarichi sui Pali - G1	30698	940
scarichi sui Pali - G2	5122	538

5.3 Carichi da traffico verticali

L'opera è stata progettata considerando le sollecitazioni dovute al carico da traffico ferroviario, considerando i modelli LM71 e/o SW/2. Si riportano di seguito le caratteristiche dei modelli di traffico presi in esame.


➤ Modello di carico LM71

Sia le istruzioni RFI che le NTC 2018 (par. 5.2.2.2.1.1), definiscono questo modello di carico tramite carichi concentrati e carichi distribuiti, riferiti all'asse dei binari.



Carichi concentrati: quattro assi da 250 kN disposti ad interasse di 1,60 m;

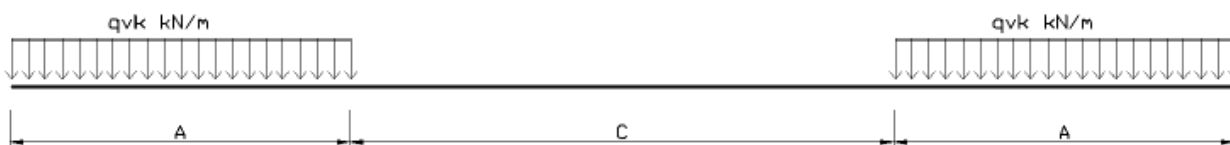
Carico distribuito: 80 kN/m in entrambe le direzioni, a partire da 0,8 m dagli assi d'estremità e per una lunghezza illimitata.

 ITALFERR GRUPPO FERROVIE DELLO STATO ITALIANE	DIRETTRICE FERROVIARIA MESSINA - CATANIA - PALERMO NUOVO COLLEGAMENTO PALERMO - CATANIA PROGETTO DEFINITIVO VI11 - Viadotto ferroviario a Singolo binario – sviluppo complessivo 885 m					
	Progetto definitivo Relazione di calcolo Pile – P13	COMMESSA RS3T	LOTTO 30	CODIFICA D09CL	DOCUMENTO VI1105005	REV. B

Per questo modello di carico è prevista un'eccentricità del carico rispetto all'asse del binario.

➤ *Modello di carico SW/2*

Sia le istruzioni RFI che le NTC 2018 (par. 5.2.2.2.1.2), definiscono questo modello di carico tramite solo carichi distribuiti.



SW/0

Carico distribuito	Qvk	133	KN/m
Lunghezza	A	15	m
Lunghezza	C	5.3	m


SW/2

Carico distribuito	Qvk	150	KN/m
Lunghezza	A	25	m
Lunghezza	C	7	m

In questo modello di carico non è prevista alcuna eccentricità del carico ferroviario. Le azioni di entrambi i modelli dovranno essere moltiplicate per un coefficiente di adattamento definito dalla

seguente tabella (tab. 2.5.1.4.1.1 - RFI DTC SI PS MA IFS 001).

MODELLO DI CARICO	COEFFICIENTE “α”
LM/71	1.10
SW/0	1.10
SW/2	1.00

 ITALFERR GRUPPO FERROVIE DELLO STATO ITALIANE	DIRETTRICE FERROVIARIA MESSINA - CATANIA - PALERMO NUOVO COLLEGAMENTO PALERMO - CATANIA PROGETTO DEFINITIVO VI11 - Viadotto ferroviario a Singolo binario – sviluppo complessivo 885 m					
	Progetto definitivo Relazione di calcolo Pile – P13	COMMESSA RS3T	LOTTO 30	CODIFICA D09CL	DOCUMENTO VI1105005	REV. B

5.4 Effetti dinamici

Per la definizione del coefficiente dinamico si segue quanto contenuto nel par.5.2.2.2.3 del DM 17.1.2018 che per l'opera in esame riporta:

$$\Phi_3 = \frac{2.16}{\sqrt{L_{\Phi} - 0.2}} + 0.73 \quad \text{con limitazione} \quad 1.00 \leq \Phi_3 \leq 2.00$$

5.5 Disposizione treni di carico

La disposizione dei treni di carico è stata individuata per ottenere le seguenti massime sollecitazioni:

- Sforzo Assiale: il convoglio è localizzato sostanzialmente al di sopra della pila in esame
- Momento Longitudinale: il convoglio è localizzato sulla campata di luce maggiore, più o meno centrato a seconda dei rapporti di lunghezza del treno di carico e della campata.
- Momento Trasversale: è fornito dallo stesso schema di posizionamento del massimo sforzo

Da questi schemi si sono ottenute le seguenti caratteristiche di sollecitazione:

	N [kN]	Mlong [kN/m]	Mtrasv [kN/m]
COMBO N	5197	431	520
COMBO ML	3356	4028	336
COMBO MT	5197	431	520

Si riportano i medesimi schemi graficamente per un caso rappresentativo:

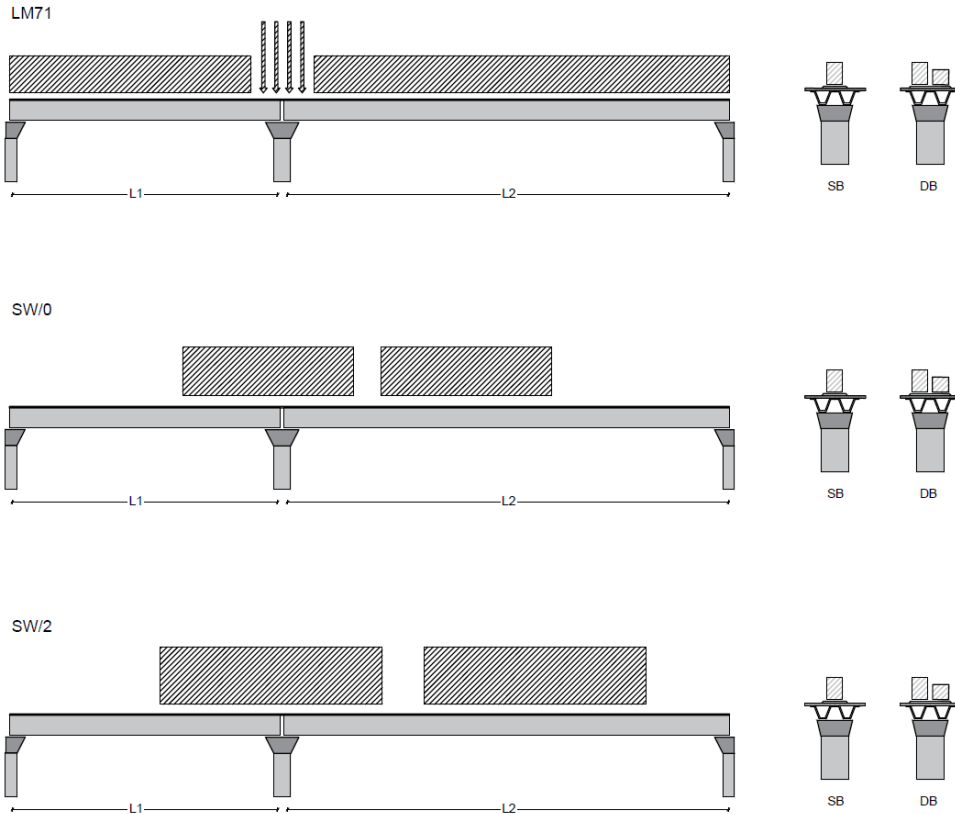


Figura 1- Posizione treni di carico - massimo sforzo assiale

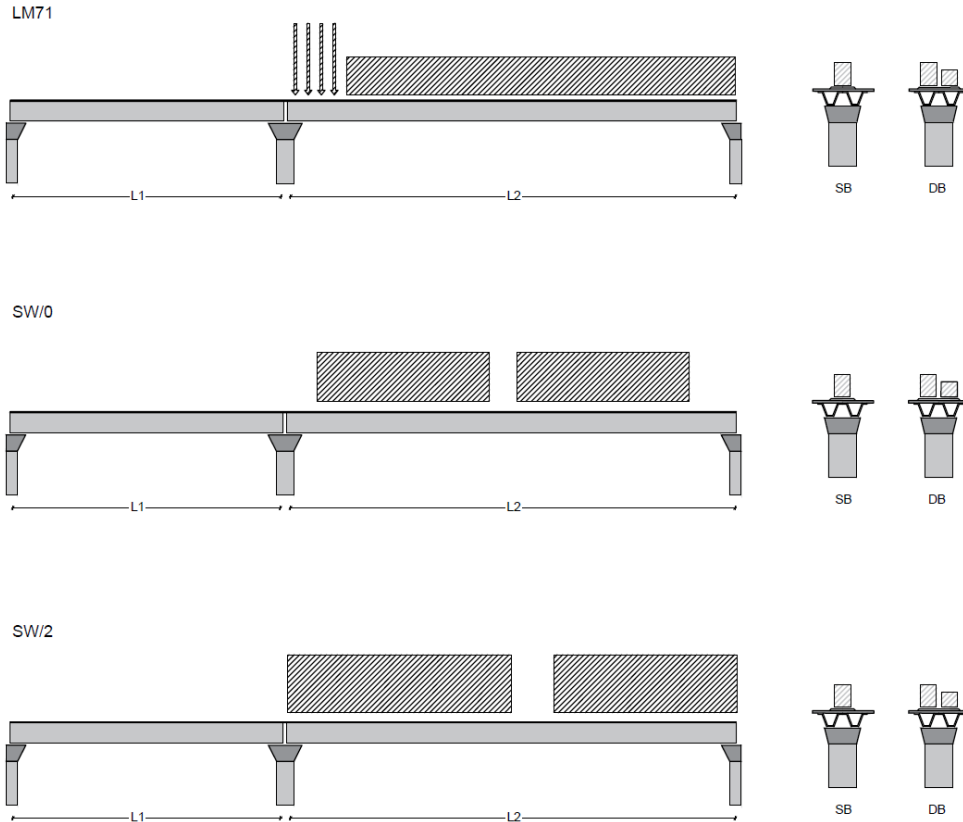


Figura 2- Posizione treni di carico – massimo momento longitudinale

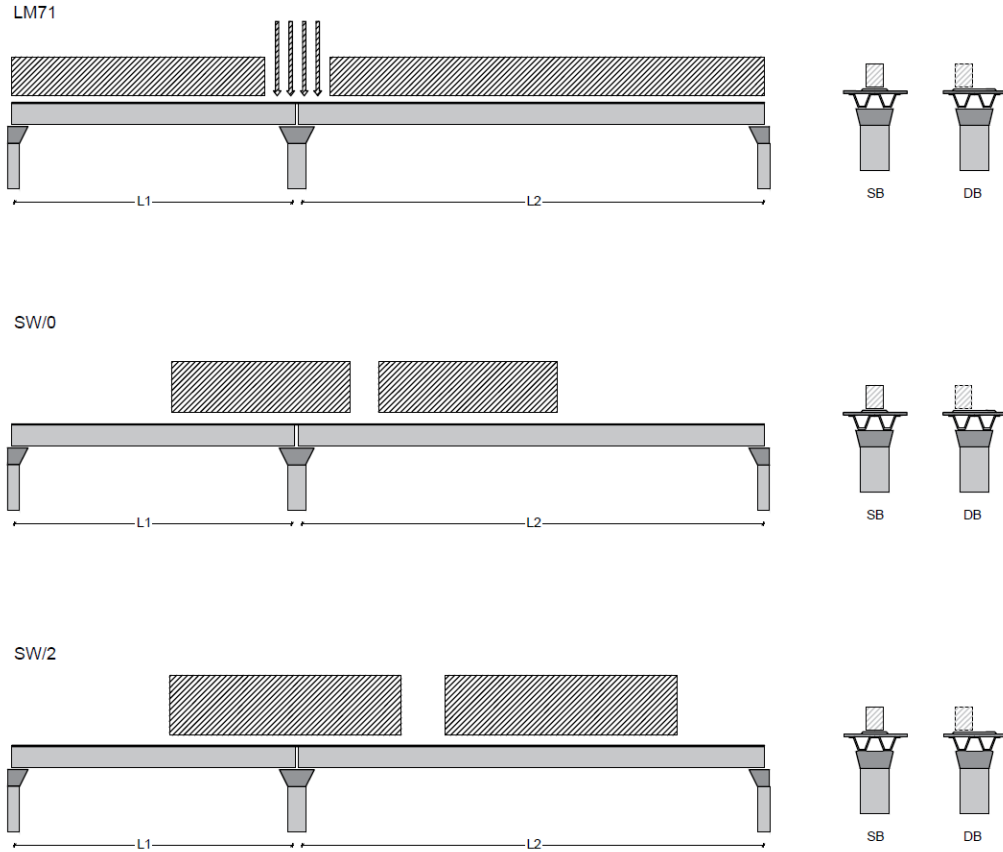



Figura 3- Posizione treni di carico – massimo momento trasversale

 ITALFERR GRUPPO FERROVIE DELLO STATO ITALIANE	DIRETTRICE FERROVIARIA MESSINA - CATANIA - PALERMO NUOVO COLLEGAMENTO PALERMO - CATANIA PROGETTO DEFINITIVO VI11 - Viadotto ferroviario a Singolo binario – sviluppo complessivo 885 m					
	<i>Progetto definitivo</i> <i>Relazione di calcolo Pile – P13</i>	COMMESSA RS3T	LOTTO 30	CODIFICA D09CL	DOCUMENTO VI1105005	REV. B

5.6 Carichi da traffico orizzontali

5.6.1 Forza centrifuga

raggio di curvatura		R	1000	m
velocità massima compatibile con il tracciato della linea		Vmax	160	km/h
			SX	
lunghezza di influenza della parte curva del binario		Lf	38	m
fattore di riduzione funzione della Lf e della V		f	0.801794	
LM71 e SW/0				
Per i modelli di carico LM71 e SW l'azione centrifuga si dovrà determinare partendo dall'espressione generale ai valori di V, α , e f in base al contenuto della tabella 1.4.3.1-1 seguente.				
	LM71 caso a		SX	
	velocità massima	Vmax	120	
	fattore di riduzione funzione della Lf e della V	f	1.00	
	coefficiente di adattamento	a	1.10	
	valore caratteristico dei carichi verticali	Qvk	300.3	kN x asse
	valore caratteristico dei carichi verticali	qvk	96.1	kN/m
	valore caratteristico della forza centrifuga	Qtk	37.5	kN x asse
	valore caratteristico della forza centrifuga	qtk	12.0	kN/m
	LM71 caso b			
	velocità massima compatibile con il tracciato della linea	Vmax	160	
	fattore di riduzione funzione della Lf e della V	f	0.80	
	coefficiente di adattamento	a	1.0	


	valore caratteristico dei carichi verticali			Qvk	273.0	kN x asse
	valore caratteristico dei carichi verticali			qvk	87.4	kN/m
	valore caratteristico della forza centrifuga			Qtk	44.1	kN x asse
	valore caratteristico della forza centrifuga			qtk	14.1	kN/m
SW/2						
Per quanto riguarda il modello di carico SW/2 si deve assumere: una velocità V non superiore a 100 km/h, un valore di f pari ad 1 ed il valore di α pari a 1,						
	velocità massima compatibile con il tracciato della linea			Vmax	100	
	fattore di riduzione funzione della Lf e della V			f	1.00	
	coefficiente di adattamento			a	1.00	
	valore caratteristico dei carichi verticali			qvk	163.82	kN/m
	valore caratteristico della forza centrifuga			qtk	12.90	kN/m

Valore di α	Massima velocità della linea [Km/h]	Azione centrifuga basata su:				traffico verticale associato
		V	α	f		
SW/2	≥ 100	100	1	1	$1 \times 1 \times SW/2$	$\Phi \times 1 \times SW/2$
	< 100	V	1	1	$1 \times 1 \times SW/2$	
LM71 e SW/0	> 120	V	1	f	$1 \times f \times (LM71''+''SW/0)$	$\Phi \times 1 \times 1 \times (LM71''+''SW/0)$
		120	α	1	$\alpha \times 1 \times (LM71''+''SW/0)$	$\Phi \times \alpha \times 1 \times (LM71''+''SW/0)$
	≤ 120	V	α	1	$\alpha \times 1 \times (LM71''+''SW/0)$	

Tab. 2.5.1.4.3.1-1 - Parametri per determinazione della forza centrifuga

Riassumendo:

	Qtk sx	qtk sx	Qtk dx	qtk dx	F testa Pila	Mom Trac
	KN	KN/m	KN	KN/m	KN	KN/m
Fcen_SW/2_1	0	12.899385	0	12.8994	577.8924	3658.06


 ITALFERR GRUPPO FERROVIE DELLO STATO ITALIANE	DIRETTRICE FERROVIARIA MESSINA - CATANIA - PALERMO NUOVO COLLEGAMENTO PALERMO - CATANIA PROGETTO DEFINITIVO VI11 - Viadotto ferroviario a Singolo binario – sviluppo complessivo 885 m					
	<i>Progetto definitivo</i> <i>Relazione di calcolo Pile – P13</i>	COMMESSA RS3T	LOTTO 30	CODIFICA D09CL	DOCUMENTO VI1105005	REV. B

5.6.2 Serpeggio

La forza laterale indotta dal serpeggio si considera come una forza concentrata agente orizzontalmente, applicata alla sommità della rotaia più alta, perpendicolarmente all'asse del binario. Tale azione si applicherà sia in rettifilo che in curva.

viadotto a binario			Singolo		
combinazione treni			SW/2		
valore caratteristico della forza			Qsk	100	kN
coefficiente di adattamento			a	1	
coefficiente di adattamento					
Questa forza laterale deve essere sempre combinata con i carichi verticali					
altezza baggioni e apparecchi d'appoggio				0.45	m
altezza impalcato + soletta				3.2	m
armamento				0.88	m
incremento altezza rotaia + alta				0.1	m
valore caratteristico della Forza			Fsk	100	kN
valore caratteristico Momento Tra			Msk	463	kN/m

Tale forza rappresenta l'azione complessiva in testa alla pila.

 ITALFERR GRUPPO FERROVIE DELLO STATO ITALIANE	DIRETTRICE FERROVIARIA MESSINA - CATANIA - PALERMO NUOVO COLLEGAMENTO PALERMO - CATANIA PROGETTO DEFINITIVO VI11 - Viadotto ferroviario a Singolo binario – sviluppo complessivo 885 m					
	<i>Progetto definitivo</i> <i>Relazione di calcolo Pile – P13</i>	COMMESSA RS3T	LOTTO 30	CODIFICA D09CL	DOCUMENTO VI1105005	REV. B

5.6.3 Frenatura ed avviamento

numero di binari				Singolo	
combinazione treni				SW/2	
posizionamento vincolo fissi				caso peggiore	
estradosso pulvino sommità binario		H	0.45	m	
lunghezza del binario		L	49.6	m	


Le forze di frenatura e di avviamento agiscono sulla sommità del binario, nella direzione longitudinale dello stesso. Dette forze sono da considerarsi uniformemente distribuite su una lunghezza di binario L determinata per ottenere l'effetto più gravoso sull'elemento strutturale considerato.

FENATURA

LM/71					
coefficiente di adattamento		a	1.1		
lunghezza del binario		L	49.6	m	
valore caratteristico da della forza		Q _{la,k}	1091.2	kN	
SW/0					
coefficiente di adattamento		a	1.1		
lunghezza del binario		L	35.3	m	
valore caratteristico da della forza		Q _{la,k}	776.6	kN	
SW/2					
coefficiente di adattamento		a	1		
lunghezza del binario		L	42.6		
valore caratteristico da della forza		Q _{la,k}	1491		

AVVIAMENTO

LM/71					
valore caratteristico da della forza		Q _{la,k}	1000	kN	
SW/0					
valore caratteristico da della forza		Q _{la,k}	1000	kN	
SW/2					
valore caratteristico da della forza		Q _{la,k}	1000	kN	

 ITALFERR GRUPPO FERROVIE DELLO STATO ITALIANE	DIRETTRICE FERROVIARIA MESSINA - CATANIA - PALERMO NUOVO COLLEGAMENTO PALERMO - CATANIA PROGETTO DEFINITIVO VI11 - Viadotto ferroviario a Singolo binario – sviluppo complessivo 885 m					
	<i>Progetto definitivo</i> <i>Relazione di calcolo Pile – P13</i>	COMMESSA RS3T	LOTTO 30	CODIFICA D09CL	DOCUMENTO VI1105005	REV. B

5.6.4 Forza d'attrito

Le forze parassitarie dei vincoli si esplicano in corrispondenza degli apparecchi d'appoggio mobili per traslazione relativa impalcato-apparecchi d'appoggio. Essendo funzione del carico verticale, la sua definizione è associata ai coefficienti moltiplicativi delle combinazioni γ e ψ dei carichi da peso proprio strutturali e non, e dei carichi verticali da traffico. Si riporta per questo motivo un esempio di forza d'attrito "caratteristica" solo come esempio di calcolo, in quanto il calcolo è stato eseguito a valle della combinazione di carico.

altezza baggioli e apparecchi d'appoggio		h	0.45	m
lunghezza del binario		L	49.6	m
reazione verticale massima associata ai carichi permanenti		Vg1	5761	kN
reazione verticale massima associata ai carichi permanenti		Vg2	5122	kN
reazione verticale massima associata ai carichi mobili		Vq	6979	kN
coefficiente d'attrito (da assum. In relazione alle cart. App.)		f	0.04	
forza d'attrito trasmessa alla pila		Fa	366.2	kN
momento longitudinale in testa pila		M	164.8	kN/m

5.6.5 Azione del Vento

Ricadendo nella classificazione ordinaria di ponti l'azione del vento è valutata come agente su una superficie continua, convenzionalmente alta 4m dal piano del ferro. Nel caso di ponte scarico si considera la superficie relativa alle barriere antirumore.

velocità di base di riferimento slm	Vbo	28	m/s
parametro di quota	ao	500	m
altitudine sul livello del mare	as	367	m
parametro adimensionale	ks	0.36	
coefficiente di altitudine	ca	1	
velocità di base di riferimento	Vb	28	m/s


	tempo di ritorno azione del vento	Tr	112.5	anni
	coefficiente di ritorno	cr	1.04562	
	velocità di riferimento	Vr	29.2775	m/s
	tab. 3.3.I	Zona	4	
	tab.3.3.II	Categoria	II	
	tab. 3.3.III	Classe rug	D	
	fattore di terreno	Kr	0.19	
	lunghezza di rugosità	zo	0.05	m
	altezza minima	zmin	4	m
VENTO SULL'IMPALCATO				
	ponete carico			
	altezza pila	z1	10.8	m
	altezza baggioli e app. appoggio	z2	0.45	m
	altezza all'intradosso	zintradosso	11.25	m
	altezza di riferimento	z	15.695	m
	coefficiente di topografia	ct	1	
	coefficiente di esposizione	ce	2.65	
	densità dell'aria convenzionale	ro	1.25	kg/m ³
	pressione statica di riferimento	qr	535.732	n/m ²
	pressione statica di picco	qpicco	1417.53	n/m ²
	larghezza impalcato	d	9.7	m
	altezza impalcato+soletta	z3	3.89	m
	armamento	z4	0.88	m
	altezza treno	z5a	4	m
	altezza barriere	z5b	5	m
	altezza di impatto treno o barriere	htot	8.89	m
		d/h	1.09111	
	coefficiente di forza trasversale	cfx	2.09994	
	forza trasversale	fx	26.5	
	forza equivalente in testa pila	Fx	1185.5	kN
	momento trasv equivalente in testa pila	Mx	5803.3	kn/m

ponte scarico				
altezza di impatto treno o barriere	htot	8.77	m	
rapporto geometrico	d/h	1.10604		
coefficiente di forza trasversale	cfx	2.09584		
forza trasversale	fx	26.1		
forza equivalente in testa pila	Fx	1042.2	kN	
momento trasv equivalente in testa pila	Mx	5039.0	kn/m	
VENTO SULLA PILA				
direzione trasversale				
altezza di riferimento	z	10.8	m	
coefficiente di topografia	ct	1		
coefficiente di esposizione	ce	2.40139		
densità dell'aria convenzionale	ro	1.25	kg/m ³	
pressione statica di riferimento	qr	535.732	n/m ²	
pressione statica di picco	qpicco	1417.53	n/m ²	
		1.41753	Kpa	
tipologia di sezione			circolare	
larghezza trasversale pila	b	0	m	
larghezza longitudinale pila	d	0	m	
raggio della sezione	R	1.75	m	
rapporto geometrico	b/d	0.1		
rapporto geometrico	r/b	0.1		
coefficiente di forza trasversale sez. ret.	cf,0	2		
end-effect factor	$\psi\lambda$	0.75		
viscosità cinematica dell'aria	ν	1.5E-05	m/s	
numero di Reynolds	Re	9037833		
materiale pila			cls ruvido	
rugosità equivalente	k	1	mm	
rapporto	k/b	0.00057		

	coefficiente di forza trasversale sez. circ.	cf,0	0.90794	
	rapporto geometrico	l/b	3.08571	
	snellezza effettiva	λ	3.08571	
	rapporto di solidità	ϕ	1	
	end-effect factor	$\psi\lambda$	0.64654	
	forza trasversale	f tras	0.8	
	forza equivalente in testa pila	F tras	9.0	kN
	alteza di applicatione sulla pila	h tra	6.5	m
direzione longitudinale				
	tipolgoia di sezione		circolare	
	larghezza trasversale pila	b	0	m
	larghezza longitudinale pila	d	0	m
	raggio della sezione	R	1.75	m
	rapporto geometrico	b/d	0.1	
	rapporto geometrico	r/b	0.1	
	coefficiente di forza longitu sez.ret	cf,0	2	
	end-effect factor	$\psi\lambda$	0.75	
	coefficiente di forza trasversale sez.circ.	cf,0	0.90794	
	rapporto geometrico	l/b	3.08571	
	snellezza effettiva	λ	3.08571	
	rapporto di solidità	ϕ	1	
	end-effect factor	$\psi\lambda$	0.64654	
	forza longitudinale	f lon	0.83211	
	forza equivalente in testa pila	F lon	8.98683	kN
	alteza di applicatione sulla pila	h lon	6.48	m

5.7 Azione Sismica

Nel seguente paragrafo è riportata la valutazione dei parametri di pericolosità sismica utili alla determinazione delle azioni sismiche di progetto dell'opera cui si riferisce il presente documento, in accordo a quanto specificato a riguardo dal D.M. 17 gennaio 2018 e relativa circolare applicativa.

	DIRETTRICE FERROVIARIA MESSINA - CATANIA - PALERMO NUOVO COLLEGAMENTO PALERMO - CATANIA PROGETTO DEFINITIVO VI11 - Viadotto ferroviario a Singolo binario – sviluppo complessivo 885 m					
	<i>Progetto definitivo</i> <i>Relazione di calcolo Pile – P13</i>	COMMESSA RS3T	LOTTO 30	CODIFICA D09CL	DOCUMENTO VI1105005	REV. B

5.7.1 Inquadramento Sismico

La determinazione della pericolosità sismica di base è definita a partire dall'ubicazione dell'opera e dalle sue caratteristiche progettuali come la vita nominale V_N e la classe d'uso C_u . Sulla base del MDP [4]. I parametri indentificativi dell'opera sono:

Vita Nominale	Classe d'Uso	Coeff. D'uso
75	III	1.5

La geo-localizzazione permette di ottenere le coordinate geografiche delle singole opere e individuare puntualmente la domanda sismica secondo gli spettri normativi rappresentativi delle due componenti (orizzontale e verticale), ovvero determinare i singoli parametri indipendenti di riferimento.

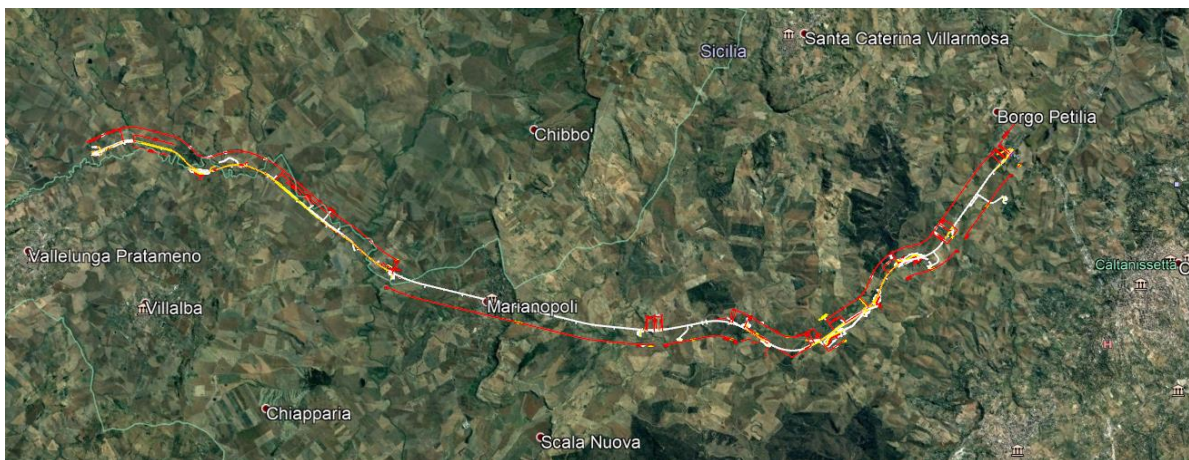


Figura 4 - Individuazione geografica della linea ferroviaria

I parametri indipendenti per le forme spettrali di riferimento hanno una variazione spaziale lungo la linea poco influente tuttavia, per le seguenti analisi si è fatto riferimento alle coordinate dei singoli viadotti.


 ITAFERR GRUPPO FERROVIE DELLO STATO ITALIANE	DIRETTRICE FERROVIARIA MESSINA - CATANIA - PALERMO NUOVO COLLEGAMENTO PALERMO - CATANIA PROGETTO DEFINITIVO VI11 - Viadotto ferroviario a Singolo binario – sviluppo complessivo 885 m					
	<i>Progetto definitivo</i> <i>Relazione di calcolo Pile – P13</i>	COMMESSA RS3T	LOTTO 30	CODIFICA D09CL	DOCUMENTO VI1105005	REV. B

Tabella 3 - Sezione tipo esistente in viadotto (rifare la tabella N,E, ag Te* ..tutti i parametri sismici)

LOTTO 3A-B							
Viadotto Fer.	Binario	n° camp	L tot [m]	Rcurv. [m]	altitudine [m]	N [se]	E [se]
VI01	D	20	605	1188	416	37°43'18.70	13°40'18.19
VI02	D	8	215	1060	418	37°43'9.38	13°40'31.63
VI03	D	1	17	1300	434	37°43'3.15	13°41'14.35
VI04	D	32	800	inf	445	37°43'1.42	13°42'17.20
VI05-06	S	12	440	725	422	37°41'25.58	13°51'40.40
VI07	S	5	210	inf	410	37°41'14.75	13°52'13.14
VI08	S	26	780	725	385	37°40'20.84	13°52'59.62
VI09	S	6	150	733	382	37°40'0.09	13°53'10.68
VI10	S	19	575	1000	373	37°39'52.17	13°53'27.88
VI11	S	32	885	1000	367	37°39'29.61	13°53'47.03
VI12	S	39	1500	2950	343	37°37'42.58	13°54'0.85
VI13	S	3	100	inf	342	37°34'6.35	13°56'27.65
VI14	S	3	100	inf	340	37°33'57.11	13°56'38.61
VI15	S	16	650	inf	282	37°32'54.77	13°57'45.53
VI16	D	16	425	2500	300	37°32'12.39	13°58'38.40
VI17	S	46	1390	1050	317	37°32'8.62	13°59'56.29
VI18	S	9	250	inf	355	37°31'58.58	14° 1'21.91

5.7.2 Definizione della domanda sismica

Secondo le NTC2018 l'azione sismica viene considerata mediante spettri di risposta elastici in accelerazione. Sulla base dello studio geologico del 2019, i terreni in esame sono prevalentemente di tipo C e B, pianeggianti o leggermente acclivi, tali da ricadere nella categoria topografica T1. Risulta quindi possibile tracciare lo spettro di riferimento normativo.

Ricerca per coordinate

LONGITUDINE

LATITUDINE

Ricerca per comune

REGIONE

PROVINCIA

COMUNE

Elaborazioni grafiche

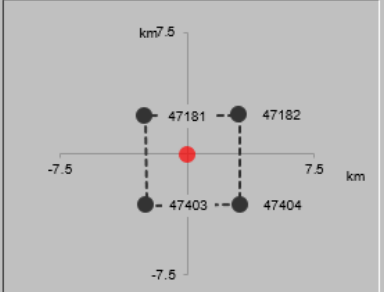
Grafici spettri di risposta ||>

Variabilità dei parametri ||>

Elaborazioni numeriche

Tabella parametri ||>

Nodi del reticolo intorno al sito




Reticolo di riferimento

Controllo sul reticolo

- Sito esterno al reticolo
- Interpolazione su 3 nodi
- Interpolazione corretta

Interpolazione



La "Ricerca per comune" utilizza le ... coordinate ISTAT del comune per identificare il sito. Si sottolinea che ... all'interno del territorio comunale le azioni sismiche possono essere ... significativamente diverse da quelle così individuate e si consiglia, quindi, la "Ricerca per coordinate".

INTRO

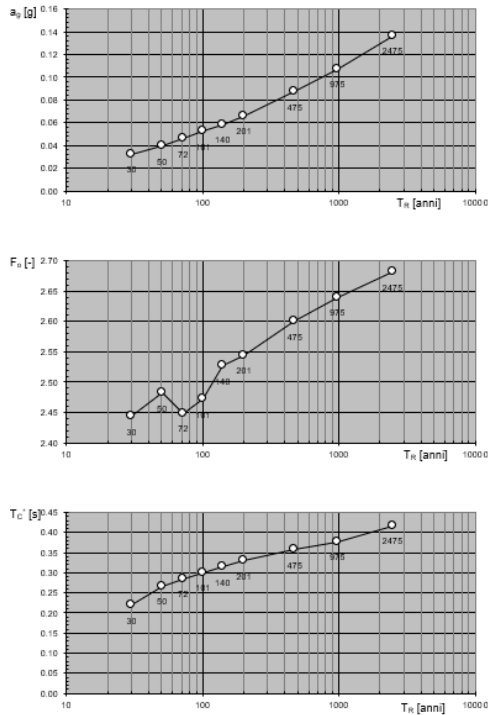
FASE 1

FASE 2

FASE 3

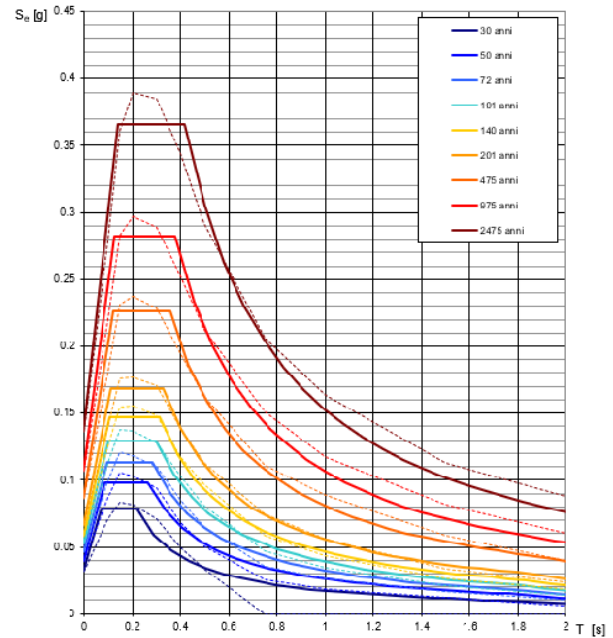
Figura 5 - Sito di riferimento secondo "Spettri_NTC"

Valori dei parametri a_g , F_o , T_C^* : variabilità col periodo di ritorno T_R



La verifica dell'idoneità del programma, l'utilizzo dei risultati da esso ottenuti sono onere e responsabilità esclusiva dell'utente. Il Consiglio Superiore dei Lavori Pubblici non potrà essere ritenuto responsabile dei danni risultanti dall'utilizzo dello stesso.

Spettri di risposta elastici per i periodi di ritorno T_R di riferimento



NOTA:
Con linea continua si rappresentano gli spettri di Normativa, con linea tratteggiata gli spettri del progetto S1-INGV da cui sono derivati.

La verifica dell'idoneità del programma, l'utilizzo dei risultati da esso ottenuti sono onere e responsabilità esclusiva dell'utente. Il Consiglio Superiore dei Lavori Pubblici non potrà essere ritenuto responsabile dei danni risultanti dall'utilizzo dello stesso.

Figura 6 - Parametri di riferimento del sito secondo "Spettri_NTC"

Valori dei parametri a_g , F_o , T_C^* per i periodi di ritorno T_R di riferimento

T_R [anni]	a_g [g]	F_o [-]	T_C^* [s]
30	0.032	2.422	0.215
50	0.040	2.459	0.261
72	0.047	2.437	0.280
101	0.053	2.461	0.293
140	0.059	2.499	0.310
201	0.067	2.527	0.324
475	0.087	2.603	0.352
975	0.107	2.644	0.375
2475	0.136	2.710	0.409

La verifica dell'idoneità del programma, l'utilizzo dei risultati da esso ottenuti sono onere e responsabilità esclusiva dell'utente. Il Consiglio Superiore dei Lavori Pubblici non potrà essere ritenuto responsabile dei danni risultanti dall'utilizzo dello stesso.

Figura 7 - Tabella riassuntiva degli stati limite di riferimento del sito in esame

FASE 3. DETERMINAZIONE DELL'AZIONE DI PROGETTO

Stato Limite
Stato Limite considerato: **SLV** info

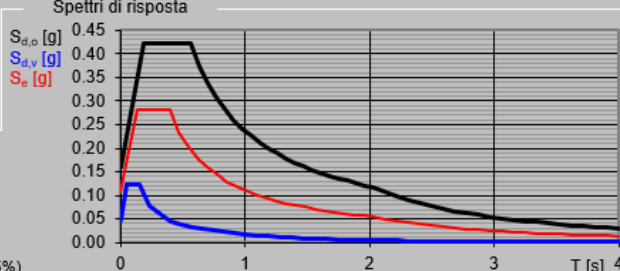
Risposta sismica locale
 Categoria di sottosuolo: **C** info $S_s = 1.500$ $C_c = 1.427$ info
 Categoria topografica: **T1** info $h/H = 0.000$ $S_T = 1.000$ info
(h=quota sito, H=altezza rilievo topografico)

Compon. orizzontale
 Spettro di progetto elastico (SLE) Smorzamento ξ (%): **5** $\eta = 1.000$ info
 Spettro di progetto inelastico (SLU) Fattore q_0 : **1** Regol. in altezza: **sì** info

Compon. verticale
 Spettro di progetto Fattore q : **1** $\eta = 1.000$ info

Elaborazioni
 Grafici spettri di risposta →
 Parametri e punti spettri di risposta →

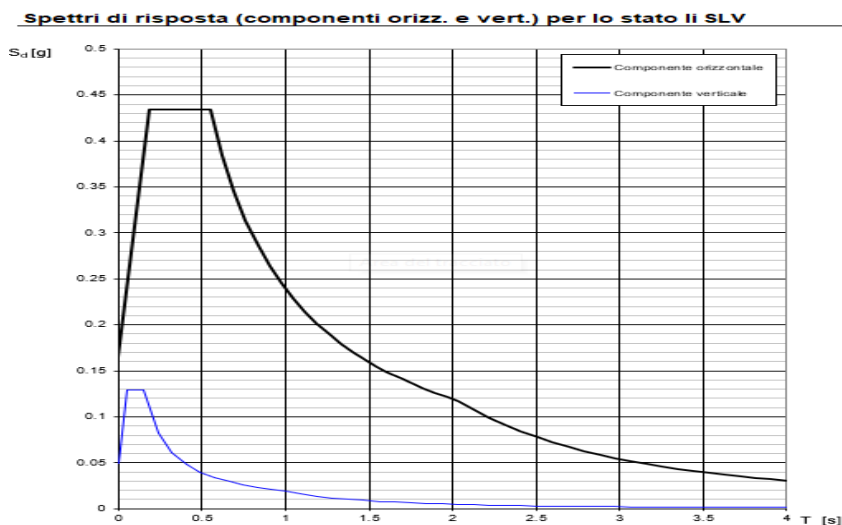
Spettri di risposta



— Spettro di progetto - componente orizzontale
 — Spettro di progetto - componente verticale
 — Spettro elastico di riferimento (Cat. A-T1, $\xi = 5\%$)

INTRO
FASE 1
FASE 2
FASE 3

Figura 8 - Definizione della domanda sismica allo SLV



La verifica dell' idoneità del programma, l' utilizzo dei risultati da esso ottenuti sono onere e responsabilità esclusiva dell'utente. Il Consiglio Superiore dei Lavori Pubblici non potrà essere ritenuto responsabile dei danni risultanti dall' utilizzo dello stesso.

Figura 9 - Spettro in accelerazione SLV orizzontale e verticale

Parametri e punti dello spettro di risposta orizzontale per lo stato IIR8LV

Parametri indipendenti

STATO LIMITE	SLV
a_p	0.107 q
F_s	2.635
T_c'	0.395 r
S_s	1.500
C_c	1.427
S_T	1.000
q	1.000

Parametri dipendenti

S	1.500
η	1.000
T_B	0.188 r
T_c	0.564 r
T_D	2.027 r

Espressioni dei parametri dipendenti

$$S = S_s \cdot S_T \quad (\text{NTC-08 Eq. 3.2.5})$$

$$\eta = \sqrt{10 \cdot (S + 5)} \geq 0.55 \quad \eta = 1/q \quad (\text{NTC-08 Eq. 3.2.6; § 3.2.3.5})$$

$$T_B = T_c' / 3 \quad (\text{NTC-07 Eq. 3.2.8})$$

$$T_c = C_c \cdot T_c' \quad (\text{NTC-07 Eq. 3.2.7})$$

$$T_D = 40 \cdot a_p / g + 1.6 \quad (\text{NTC-07 Eq. 3.2.9})$$

Espressioni dello spettro di risposta (NTC-08 Eq. 3.2.4)

$$0 \leq T < T_B \quad S_s(T) = a_p \cdot S \cdot \eta \cdot F_0 \cdot \left[\frac{T}{T_B} + \frac{1}{\eta \cdot F_0} \left(1 - \frac{T}{T_B} \right) \right]$$

$$T_B \leq T < T_c \quad S_s(T) = a_p \cdot S \cdot \eta \cdot F_0$$

$$T_c \leq T < T_D \quad S_s(T) = a_p \cdot S \cdot \eta \cdot F_0 \cdot \left(\frac{T_c}{T} \right)$$

$$T_D \leq T \quad S_s(T) = a_p \cdot S \cdot \eta \cdot F_0 \cdot \left(\frac{T_c \cdot T_D}{T^2} \right)$$


Lo spettro di progetto $S_d(T)$ per le verifiche agli Stati Limite Ultimi è ottenuto dalle espressioni dello spettro elastico $S_s(T)$ moltiplicando con $1/q$, dove q è il fattore di struttura. (NTC-08 § 3.2.3.5)

Punti dello spettro di risposta

	T [s]	Se [g]
	0.000	0.160
T_B	0.188	0.422
T_c	0.564	0.422
	0.633	0.375
	0.703	0.338
	0.773	0.308
	0.842	0.282
	0.912	0.261
	0.982	0.242
	1.051	0.226
	1.121	0.212
	1.191	0.200
	1.260	0.189
	1.330	0.179
	1.400	0.170
	1.469	0.162
	1.539	0.154
	1.609	0.148
	1.678	0.142
	1.748	0.136
	1.818	0.131
	1.887	0.126
	1.957	0.121
T_D	2.027	0.117
	2.121	0.107
	2.215	0.098
	2.309	0.090
	2.403	0.083
	2.497	0.077
	2.590	0.072
	2.684	0.067
	2.778	0.062
	2.872	0.058
	2.966	0.055
	3.060	0.051
	3.154	0.048
	3.248	0.046
	3.342	0.043
	3.436	0.041
	3.530	0.039
	3.624	0.037
	3.718	0.035
	3.812	0.033
	3.906	0.032
	4.000	1

La verifica dell' idoneità del programma, l' utilizzo dei risultati da esso ottenuti sono onere e responsabilità esclusiva dell' utente. Il Consiglio Superiore dei Lavori Pubblici non potrà essere ritenuto responsabile dei danni risultanti dall' utilizzo dell

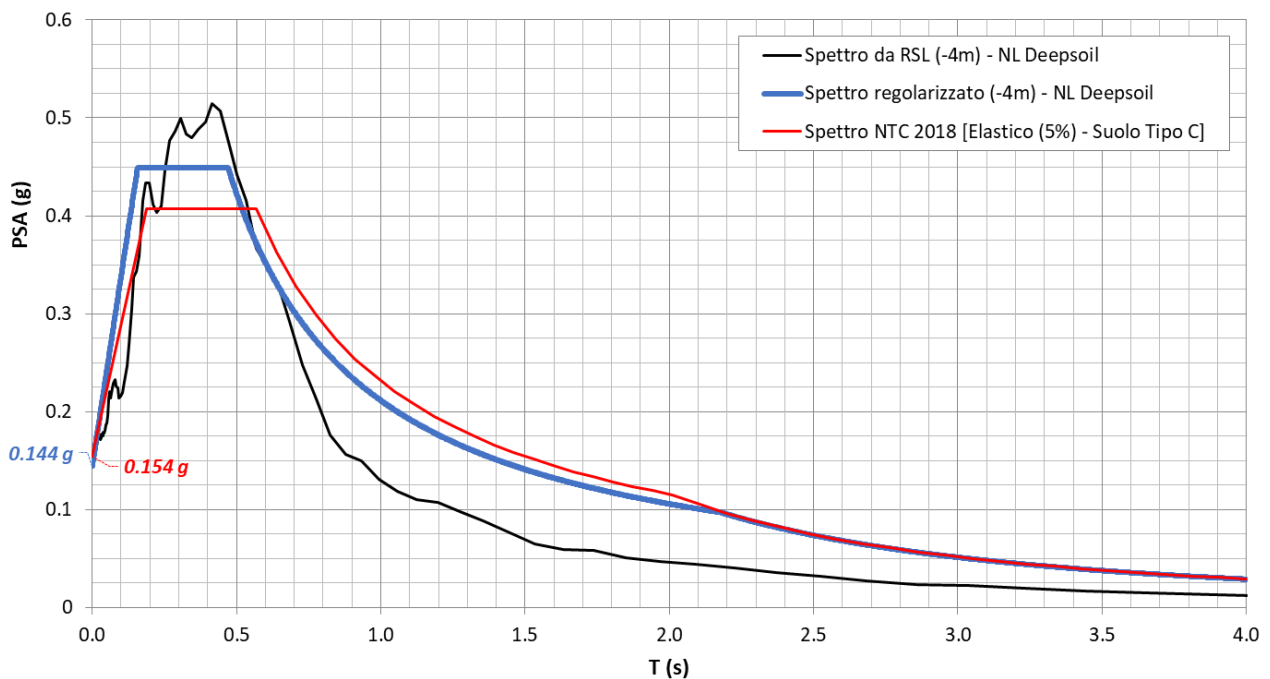
Figura 10 - Parametri indipendenti e dipendenti spettro orizzontale allo SLV

 ITALFERR GRUPPO FERROVIE DELLO STATO ITALIANE	DIRETTRICE FERROVIARIA MESSINA - CATANIA - PALERMO NUOVO COLLEGAMENTO PALERMO - CATANIA PROGETTO DEFINITIVO VI11 - Viadotto ferroviario a Singolo binario – sviluppo complessivo 885 m					
	Progetto definitivo Relazione di calcolo Pile – P13	COMMESSA RS3T	LOTTO 30	CODIFICA D09CL	DOCUMENTO VI1105005	REV. B


5.7.3 Risposta sismica locale

Si riporta graficamente quanto desunto da apposite analisi di Risposta Sismica Locale, volte alla quantificazione degli effetti locali di sito e alle possibili criticità emergenti in termini di fenomeni di risonanza delle strutture.

VI11 - prova: DH3AS41



In tale caso la RSL risulta essere più gravosa dell'analisi semplificata di Norma.

	DIRETTRICE FERROVIARIA MESSINA - CATANIA - PALERMO NUOVO COLLEGAMENTO PALERMO - CATANIA PROGETTO DEFINITIVO VI11 - Viadotto ferroviario a Singolo binario – sviluppo complessivo 885 m					
	Progetto definitivo Relazione di calcolo Pile – P13	COMMESSA RS3T	LOTTO 30	CODIFICA D09CL	DOCUMENTO VI1105005	REV. B

5.7.4 *Calcolo dell'azione Sismica*

Per il calcolo delle azioni sismiche si utilizza una Analisi Statica Lineare, come riportata nel cap. 7.9.4.1 delle NTC 2018. Qualora le ipotesi non siano soddisfatte, per il calcolo dei periodi propri della pila e quindi delle sollecitazioni sismiche, si è fatto riferimento ad una Analisi Dinamica Modale, attraverso la costruzione di un modello agli Elementi Finiti monodimensionali (Beam/Frame) mediante il software di calcolo Midas Civil. I Fattori di comportamento utilizzati sono:


- $q= 1.5$ per la verifica a presso flessione della pila;
- $q= 1.5/1.1$ per la verifica a capacità portante verticale dei pali, la presso-flessione e la verifica del plinto se non tozzo;
- $q= 1$ per le verifiche a taglio degli elementi strutturali e le verifiche a capacità portante orizzontale dei pali.

Nella scrittura delle combinazioni di carico si è distinta la posizione del convoglio per massimizzare le singole sollecitazioni (N,Mx,My,Tx,Ty), identificando tre configurazioni, ovvero tre masse statiche.

Nell'analisi sismica la massa partecipante riferita ai carichi da traffico è stata valutata in maniera distinta per le tre componenti del moto e successivamente messa in combinazione per le tre configurazioni statiche.

5.7.5 Check analisi statica

Direzione Longitudinale				
massa treno per direzione long		Com Nmax	6713	kN
massa sismica treno per direzione long		treno	1343	kN
			0	
massa impalcato (G1 + G2)		Mimp	12114	kN
massa sismica portata sopra pila		Mimp t	13457	kN
1/5 della massa sismica sopra la pila		1/5 Mimp t	2691	kN
massa pulvino		Mpul	2192	kN
massa pila		Mpila	2117	kN
massa efficace pila		Mpe	2898	kN
massa sismica totale da utilizzare dir. Long		Mtot long	16354	kN
verifica di requisito di norma	$Mep < 1/5 Mimp$			NO per -206.2 KN
Direzione Trasversale				
massa treno per direzione long		Com Mmax	5197	kN
massa sismica treno per direzione long		treno	1039	kN
massa impalcato (G1 + G2)		Mimp	10883	kN
massa sismica portata sopra pila		Mimp t	11922	kN
massa pulvino		Mpul	2192	kN
massa pila		Mpila	2117	kN
massa efficace pila		Mpe	2898	kN
massa sismica totale da utilizzare dir. Trasv		Mtot tras	14820	kN
verifica di requisito di norma	$Mep < 1/5 Mimp$			NO per -513.1 KN
Direzione Verticale				
massa treno per direzione long		Com Mmax	5197	kN
massa sismica treno per direzione long		treno	1039	kN
massa impalcato (G1 + G2)		Mimp	10883	kN
massa sismica portata sopra pila		Mimp t	11922	kN
massa pulvino		Mpul	2192	kN
massa pila		Mpila	2117	kN
massa efficace pila		Mpe	2898	kN
massa sismica totale da utilizzare dir. Vert		Mtot vert	14820	kN
verifica di requisito di norma	$Mep < 1/5 Mimp$			NO per -513.1 KN

 ITALFERR GRUPPO FERROVIE DELLO STATO ITALIANE	DIRETTRICE FERROVIARIA MESSINA - CATANIA - PALERMO NUOVO COLLEGAMENTO PALERMO - CATANIA PROGETTO DEFINITIVO VI11 - Viadotto ferroviario a Singolo binario – sviluppo complessivo 885 m					
	<i>Progetto definitivo</i> <i>Relazione di calcolo Pile – P13</i>	COMMESSA RS3T	LOTTO 30	CODIFICA D09CL	DOCUMENTO VI1105005	REV. B

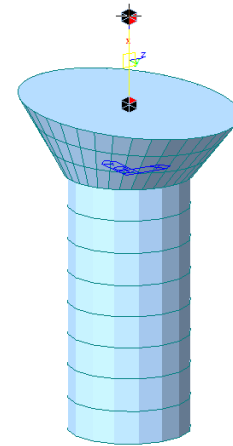
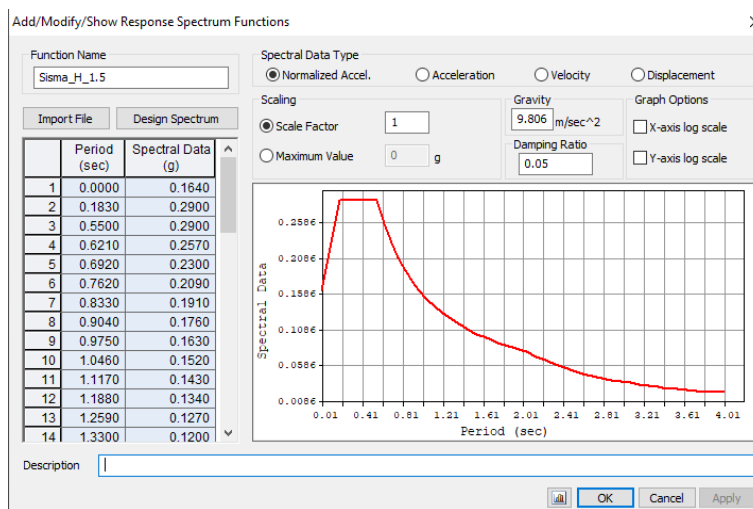
5.7.6 *Analisi statica equivalente*

area della sezione		A	9.62	m ²
inerzia sezione direzione trasversale		I11	7.37	m ⁴
inerzia sezione direzione longitudinale		I22	7.37	m ⁴
modulo elastico cls pila		E _c	33346	MPa
eventuale abbattimento del modulo		%	45.00	
modulo di calcolo		E	18340	MPa
calcestruzzo		f _{ck}	32.0	MPa
altezza pila est. fondazione - estr. pulvino		H	10.80	m
altezza plinto di fondazione		h _f	0.00	m
altezza baggioli ed app. appoggio		h _{ap}	0.45	m
altezza equivalente sdof		H _e	11.25	m
rigidezza flessionale sdof in dir. Trasv		K _{tra}	1.3E+08	N/m
rigidezza flessionale sdof in dir. Long		K _{long}	2.8E+08	N/m
rigidezza assiale sdof in dir. Vert		K _{vert}	2.2E+10	N/m
periodo di vibrare sdof dir. Trasversale		T _{tra}	0.72	sec
periodo di vibrare sdof dir. Longitudinale		T _{long}	0.46	sec
periodo di vibrare sdof dir. Verticale		T _{vert}	0.05	sec

Tabella Riassuntiva	SLV			SLD	
	q=1.5	q=1.36	q=1	q=1	
accelerazione componente trasversale	0.21	0.21	0.31	0.14	g
accelerazione componente longitudinale	0.30	0.30	0.45	0.21	g
accelerazione componente verticale	0.12	0.12	0.12	0.04	g
Sforzo assiale	1837	1837	1837	610	kN
Taglio Sism testa pila direz. trasversale	3079	3387	4619	2125	kN
Taglio Sism testa pila direz. longitudinal	4892	5381	7338	3452	kN
Momento flessionale trasversale	45321	49854	67982	31271	kN m
Momento flessionale longitudinale	55323	60827	82841	38997	kN m

5.7.7 Analisi dinamica modale

Nel caso specifico i periodi e quindi le forze alla base della pila sono stati valutati tramite una analisi spettrale. Le caratteristiche geometriche e meccaniche sono state definite coerentemente nei paragrafi precedenti. Le masse a diverse altezze sono associate alla tipologia di appoggio impalcato-pila, quindi differenti nelle due direzioni.



I risultati ottenuti sono i seguenti:

Load	N (kN)	Vtras (kN)	Vlong (kN)	Mtras (kN*m)	Mlong (kN*m)
SISMA q=1.5	1908.93	3324.63	4613.02	45792.13	48760.66
SISMA q=1	1908.93	4986.99	6926.44	68712.52	73222.08
SISMA sld	488	2316.02	3255.02	31906.66	34409.52

Si procede con tali sollecitazioni.

5.8 Azione idrostatica

Secondo quanto prescritto nelle cap5.2.2.8 delle NTC2018 le azioni idrodinamiche devono essere considerate sia come pressione sulle parti immerse che come effetti di modificazioni locali dell'alveo. In riferimento alla relazione idraulica si richiamano in forma tabellare i dati di base per la progettazione e verifica strutturale.

6.3.12 Escavazioni localizzate viadotto VI11

Pila	Tirante idraulico [m]	Velocità [m/s]	Incidenza pila-corrente [°]	Forma pila	Base pila [m]	Lunghezza pila [m]	Forma plinto	Base plinto [m]	Lunghezza plinto [m]	d50 [mm]	Scavo [m]	Tipo di scavo
P01	0.00	0.00	31	circ	3.50	3.50	quad	11.50	11.50	0.0265	0.00	no scavo
P02	0.00	0.00	29	circ	3.50	3.50	quad	11.50	11.50	0.0265	0.00	no scavo
P03	0.39	0.06	52	circ	3.50	3.50	quad	11.50	11.50	0.0265	0.12	plinto non scoperto
P04	0.54	0.18	36	circ	3.50	3.50	quad	11.50	11.50	0.0265	0.44	plinto non scoperto
P05	0.57	0.37	15	circ	3.50	3.50	quad	11.50	11.50	0.0265	1.03	plinto non scoperto
P06	0.51	0.57	18	circ	3.50	3.50	quad	11.50	11.50	0.0265	2.77	plinto scoperto
P07	0.70	0.41	39	circ	3.50	3.50	quad	11.50	11.50	0.0265	1.25	plinto non scoperto
P08	0.88	0.42	27	circ	3.50	3.50	quad	11.50	11.50	0.0265	2.52	plinto scoperto
P09	1.08	0.65	15	circ	3.50	3.50	quad	11.50	11.50	0.0265	3.24	plinto scoperto
P10	1.17	0.90	20	circ	3.50	3.50	quad	11.50	11.50	0.0265	4.23	plinto scoperto
P11	1.17	1.07	14	circ	3.50	3.50	quad	11.50	11.50	0.0265	4.49	plinto scoperto
P12	1.38	1.19	14	circ	3.50	3.50	quad	11.50	11.50	0.0265	4.97	plinto scoperto
P13	2.07	2.03	8	circ	3.50	3.50	quad	11.50	11.50	0.0265	3.77	plinto non scoperto
P14	2.24	2.92	31	circ	3.50	3.50	quad	11.50	11.50	0.0265	10.16	plinto scoperto
P15	1.36	1.75	30	circ	3.50	3.50	quad	11.50	11.50	0.0265	7.10	plinto scoperto
P16	1.45	1.77	35	circ	3.50	3.50	quad	11.50	11.50	0.0265	7.34	plinto scoperto
P17	1.63	1.66	45	circ	3.50	3.50	quad	11.50	11.50	0.0265	7.30	plinto scoperto
P18	1.88	1.60	41	circ	3.50	3.50	quad	11.50	11.50	0.0265	7.19	plinto scoperto
P19	1.77	1.54	30	circ	3.50	3.50	quad	11.50	11.50	0.0265	6.76	plinto scoperto
P20	1.77	1.52	32	circ	3.50	3.50	quad	11.50	11.50	0.0265	6.67	plinto scoperto
P21	1.41	1.70	22	circ	3.50	3.50	quad	11.50	11.50	0.0265	6.71	plinto scoperto
P22	0.69	2.28	17	circ	3.50	3.50	quad	11.50	11.50	0.0265	7.30	plinto scoperto
P23	0.93	1.55	18	circ	3.50	3.50	quad	11.50	11.50	0.0265	5.89	plinto scoperto
P24	1.17	1.51	14	circ	3.50	3.50	quad	11.50	11.50	0.0265	5.74	plinto scoperto
P25	0.57	1.12	38	circ	3.50	3.50	quad	11.50	11.50	0.0265	4.83	plinto scoperto
P26	0.45	0.96	28	circ	3.50	3.50	quad	11.50	11.50	0.0265	4.07	plinto scoperto
P27	0.79	1.01	0	circ	3.50	3.50	quad	11.50	11.50	0.0265	3.59	plinto scoperto
P28	1.04	0.89	6	circ	3.50	3.50	quad	11.50	11.50	0.0265	3.64	plinto scoperto
P29	0.70	1.01	5	circ	3.50	3.50	quad	11.50	11.50	0.0265	3.73	plinto scoperto
P30	1.05	0.72	4	circ	3.50	3.50	quad	11.50	11.50	0.0265	3.14	plinto scoperto
P31	0.30	1.02	20	circ	3.50	3.50	quad	11.50	11.50	0.0265	3.85	plinto scoperto

Il livello medio annuo risulta essere di circa 5m pertanto si ritengono trascurabili gli effetti idrodinamici. Per quanto riguarda la pressione statica che esercita l'acqua può essere valutata con la seguente espressione:

$$p = \frac{1}{2} \rho C_D v^2$$

dove il coefficiente di forma varia tipicamente tra 0.5 e 1.5 ed è stato valutato secondo la seguente tabella:

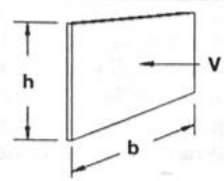
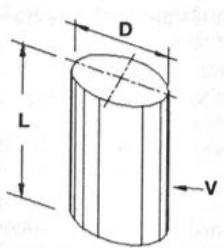

Forme	N.r Reynolds	Dimensioni	Coefficiente C_n
	$> 10^3$	$\frac{b}{h} =$ 1 5 10 ∞	1.16 1.20 1.50 1.90
	10^5	$\frac{L}{D} =$ 1 2 5 10 20 40 ∞	0.63 0.68 0.74 0.82 0.90 0.98 1.20
	$> 5 \times 10^5$	$\frac{L}{D} =$ 5 ∞	0.35 0.34

Figura 11 - Coefficiente di forma (M.P. Pietrangeli - Progettazione e costruzione di ponti 1996)

Poiché l'azione è dipendente dall'altezza idrica di progetto si riporta un esempio al passo e successivamente una tabella riassuntiva dell'azione caratteristica.

velocità dell'acqua	v	2.92	m/sec
densità dell'acqua	ro	1	kN sec ² /m ⁴
altezza di riinterro pila	hri	4.95	m
altezza della pila	hp	10.8	m
altezza idrica Tr 300	h300	2.24	m
scalzamento massimo Tr300	dl	10.16	m
tipologia di sezione		circolare	m
larghezza trasversale pila	b	0	m
larghezza longitudinale pila	d	0	m
raggio della sezione	r	1.75	m
rapporto geometrico	L/D	0.003143	m
viscosità cinematica	mi	0.000894	N s/m ²
numero di Reynolds	Re	11431767	
coefficiente di forma	Cd	0.35	*

* si utilizzano le formulazioni di Pietrangeli per pile ellittiche


 ITALFERR GRUPPO FERROVIE DELLO STATO ITALIANE	DIRETTRICE FERROVIARIA MESSINA - CATANIA - PALERMO NUOVO COLLEGAMENTO PALERMO - CATANIA PROGETTO DEFINITIVO VI11 - Viadotto ferroviario a Singolo binario – sviluppo complessivo 885 m					
	<i>Progetto definitivo</i> <i>Relazione di calcolo Pile – P13</i>	COMMESSA RS3T	LOTTO 30	CODIFICA D09CL	DOCUMENTO VI1105005	REV. B

pressione dell'acqua		p	1.49212	kN/m2	
forza risultante		Fidro	226.4138	kN	
momento alla base pila		Mpila	-236.149	kN	

tabella riassuntiva - Tr300			
	Fusto pila	Fondazioni	Pali
h	7.19	3	2.21
D	1.75	9.6	1.2
L/D	4.109	3.2	1.84166667
Re	5.72E+06	3.14E+07	3.92E+06
forma	smussara	rettangolare	circolare
Cd	0.35	1.18	0.35
p	1.49212	5.030576	1.49212
B	1.75	9.6	6
F	18.77	187.85	19.79
M	67.49	-281.78	-21.86

Secondo quanto prescritto nel capitolo 5.1.2.3 delle NTC18, le azioni caratteristiche idrostatiche devono essere combinate differientemente con le altre azioni variabili. Lo scalzamento ad esse associate, per tanto, dovrà essere valutato e verificato in entrambe le condizioni.

Nel caso specifico, l'effetto globale dell'azione idrostatica sui vari elementi strutturali risulta poco significativa. Quindi, tali combinazioni sono state implementate per la verifica geotecnica dei pali di fondazione, che vede una riduzione complessiva della sollecitazione ma anche della lunghezza portante del palo stesso.

 ITALFERR GRUPPO FERROVIE DELLO STATO ITALIANE	DIRETTRICE FERROVIARIA MESSINA - CATANIA - PALERMO NUOVO COLLEGAMENTO PALERMO - CATANIA PROGETTO DEFINITIVO VI11 - Viadotto ferroviario a Singolo binario – sviluppo complessivo 885 m					
	<i>Progetto definitivo</i> <i>Relazione di calcolo Pile – P13</i>	COMMESSA RS3T	LOTTO 30	CODIFICA D09CL	DOCUMENTO VI1105005	REV. B

6. SOLLECITAZIONI

Come precedentemente descritto si è valutata la posizione del singolo convoglio per massimizzare la sollecitazione d'interesse. Questo ha portato alla definizione di tre configurazioni per la progettazione e verifica del pulvino, del fusto pila, della fondazione e dei pali. Di seguito si riportano le tabelle di tutte le combinazioni di carico, funzione delle suddette configurazioni.

6.1 Combinazioni di carico

6.1.1 Configurazione 1

CARATTERISTICHE SOLLECITAZIONI IN TESTA PILA						
combinazione	N	Tlong	Ttrasv	Mlong	Mtrasv	
A1_SLU_gr1_Treno_1	22995.8	1080.98	1220.53	3186.2	6229.88	
A1_SLU_gr2_Scarico_2	16084	0	971.706	2162.09	5364.38	
A1_SLU_gr3_Fre/avv_3	22995.8	2161.95	801.558	3672.64	3577.78	
A1_SLU_gr4_centrif_4	21488.8	1729.56	998.687	3353.13	4993.92	
A1_SLU_gr1+vento_5	22995.8	1089.02	2077.26	3186.2	10040.5	
A1_SLU_gr2+vento_6	16084	8.041	1828.43	2162.09	9174.98	
A1_SLU_gr3+vento_7	22995.8	2169.99	1658.28	3672.64	7388.38	
A1_SLU_gr4+vento_8	21488.8	1737.6	1855.41	3353.13	8804.52	
A1_SLU_vento_gr1_9	21488.8	878.182	2360.9	2963.98	11315.4	
A1_SLU_vento_gr2_10	15959.3	13.4017	2201.65	2144.69	10640.9	
A1_SLU_vento_gr3_11	21488.8	1742.96	2025.72	3353.13	9193.69	
A1_SLU_vento_gr4_12	21488.8	1742.96	2426.56	3353.13	11344.9	
SLE_rar_gr1_Treno_14	16079.9	745.5	776.825	2243.65	4267.25	
SLE_rar_gr2_Scarico_15	11313.1	0	662.423	1537.37	3696.1	
SLE_rar_gr3_Fre/avv_16	16079.9	1491	487.879	2579.12	2438.22	
SLE_rar_gr4_centrif_17	15040.5	1192.8	636.302	2358.77	3420.48	
SLE_rar_gr1+vento_18	16079.9	750.861	1347.98	2243.65	6807.65	
SLE_rar_gr2+vento_19	11313.1	5.36067	1233.57	1537.37	6236.5	
SLE_rar_gr3+vento_20	16079.9	1496.36	1059.03	2579.12	4978.62	
SLE_rar_gr4+vento_21	15040.5	1198.16	1207.45	2358.77	5960.88	
SLE_rar_vento_gr1_22	15040.5	605.334	1553.42	2090.39	7638.82	
SLE_rar_vento_gr2_23	11227.1	8.93445	1480.21	1525.37	7190.13	
SLE_rar_vento_gr3_24	15040.5	1201.73	1322.27	2358.77	6175.6	
SLE_rar_vento_gr4_25	15040.5	1201.73	1588.22	2358.77	7654.48	

SLE_fre_gr1_Treno_27	15040.5	596.4	578.306	2090.39	3394.38
SLE_fre_gr2_Scarico_28	11227.1	0	517.292	1525.37	2951.19
SLE_fre_gr3_Fre/avv_29	15040.5	1192.8	347.149	2358.77	1931.16
SLE_fre_gr4_centrif_30	15040.5	1192.8	607.304	2358.77	3407.43
SLE_fre_gr1+vento_31	15040.5	598.187	768.69	2090.39	4241.18
SLE_fre_gr2+vento_32	11227.1	1.78689	707.675	1525.37	3797.99
SLE_fre_gr3+vento_33	15040.5	1194.59	537.533	2358.77	2777.96
SLE_fre_gr4+vento_34	15040.5	1194.59	797.688	2358.77	4254.23
SLE_fre_vento_gr1_35	10883.1	4.46722	537.801	1477.37	2144.83
SLE_fre_vento_gr2_36	10883.1	4.46722	537.801	1477.37	2144.83
SLE_fre_vento_gr3_37	10883.1	4.46722	537.801	1477.37	2144.83
SLE_fre_vento_gr4_38	10883.1	4.46722	537.801	1477.37	2144.83
SLE_fre_gr1_temp39	10883.1	1.78689	264.594	1477.37	880.194
SLE_fre_gr2_temp40	10883.1	1.78689	264.594	1477.37	880.194
SLE_fre_gr3_temp41	10883.1	1.78689	264.594	1477.37	880.194
SLE_fre_gr3_temp42	10883.1	1.78689	264.594	1477.37	880.194
SLE_qp_gr1_Treno_44	10883.1	0	61.8422	1477.37	27.829
SLE_qp_gr2_Scarico_45	10883.1	0	61.8422	1477.37	27.829
SLE_qp_gr3_Fre/avv_46	10883.1	0	61.8422	1477.37	27.829
SLE_qp_gr4_centrif_47	10883.1	0	61.8422	1477.37	27.829
SLE_qp_gr1+vento_48	10883.1	1.78689	252.226	1477.37	874.629
SLE_qp_gr2+vento_49	10883.1	1.78689	252.226	1477.37	874.629
SLE_qp_gr3+vento_50	10883.1	1.78689	252.226	1477.37	874.629
SLE_qp_gr4+vento_51	10883.1	1.78689	252.226	1477.37	874.629
SLE_qp_vento_gr1_52	10883.1	1.78689	252.226	1477.37	874.629
SLE_qp_vento_gr2_53	10883.1	1.78689	252.226	1477.37	874.629
SLE_qp_vento_gr3_54	10883.1	1.78689	252.226	1477.37	874.629
SLE_qp_vento_gr4_55	10883.1	1.78689	252.226	1477.37	874.629
SLE_qp_gr1_temp56	10883.1	0	61.8422	1477.37	27.829
SLE_qp_gr2_temp57	10883.1	0	61.8422	1477.37	27.829
SLE_qp_gr3_temp58	10883.1	0	61.8422	1477.37	27.829
SLE_qp_gr3_temp59	10883.1	0	61.8422	1477.37	27.829
E_103x_SLV_q=1.5_60	11455.8	4614.81	1249.61	0	0
E_103y_SLV_q=1.5_61	11455.8	1385.69	3576.86	0	0
E_103z_SLV_q=1.5_62	12792.1	1385.69	1249.61	0	0
E_103x_SLV_q=1.36_63	11455.8	5076.11	1349.35	0	0
E_103y_SLV_q=1.36_64	11455.8	1524.08	3909.32	0	0
E_103z_SLV_q=1.36_65	12792.1	1524.08	1349.35	0	0
E_103x_SLV_q=1_66	11455.8	6928.23	1748.32	0	0
E_103y_SLV_q=1_67	11455.8	2079.72	5239.22	0	0
E_103z_SLV_q=1_68	12792.1	2079.72	1748.32	0	0
E_103x_SLD_q=1_69	11029.5	3256.81	947.032	0	0
E_103y_SLD_q=1_70	11029.5	978.293	2568.25	0	0
E_103z_SLD_q=1_71	11371.1	978.293	947.032	0	0

CARATTERISTICHE SOLLECITAZIONI BASE PILA

combinazione	N	Tlong	Ttrasv	Mlong	Mtrasv
A1_SLU_gr1_Treno_1	28812.5	1080.98	1220.53	14860.7	19411.6
A1_SLU_gr2_Scarico_2	21900.7	0	971.706	2162.09	15858.8
A1_SLU_gr3_Fre/avv_3	28812.5	2161.95	801.558	27021.7	12234.6
A1_SLU_gr4_centrif_4	27305.4	1729.56	998.687	22032.4	15779.7
A1_SLU_gr1+vento_5	28812.5	1089.02	2077.26	14947.6	32474.8
A1_SLU_gr2+vento_6	21900.7	8.041	1828.43	2248.94	28922
A1_SLU_gr3+vento_7	28812.5	2169.99	1658.28	27108.5	25297.9
A1_SLU_gr4+vento_8	27305.4	1737.6	1855.41	22119.2	28843
A1_SLU_vento_gr1_9	27305.4	878.182	2360.9	12448.3	36813.1
A1_SLU_vento_gr2_10	21776	13.4017	2201.65	2289.43	34418.7
A1_SLU_vento_gr3_11	27305.4	1742.96	2025.72	22177.1	31071.5
A1_SLU_vento_gr4_12	27305.4	1742.96	2426.56	22177.1	37551.8
SLE_rar_gr1_Treno_14	20388.5	745.5	776.825	10295	12657
SLE_rar_gr2_Scarico_15	15621.8	0	662.423	1537.37	10850.3
SLE_rar_gr3_Fre/avv_16	20388.5	1491	487.879	18681.9	7707.31
SLE_rar_gr4_centrif_17	19349.2	1192.8	636.302	15241	10292.5
SLE_rar_gr1+vento_18	20388.5	750.861	1347.98	10352.9	21365.8
SLE_rar_gr2+vento_19	15621.8	5.36067	1233.57	1595.26	19559.1
SLE_rar_gr3+vento_20	20388.5	1496.36	1059.03	18739.8	16416.1
SLE_rar_gr4+vento_21	19349.2	1198.16	1207.45	15298.9	19001.4
SLE_rar_vento_gr1_22	19349.2	605.334	1553.42	8628	24415.8
SLE_rar_vento_gr2_23	15535.8	8.93445	1480.21	1621.86	23176.4
SLE_rar_vento_gr3_24	19349.2	1201.73	1322.27	15337.5	20456.1
SLE_rar_vento_gr4_25	19349.2	1201.73	1588.22	15337.5	24807.3
SLE_fre_gr1_Treno_27	19349.2	596.4	578.306	8531.51	9640.09
SLE_fre_gr2_Scarico_28	15535.8	0	517.292	1525.37	8537.94
SLE_fre_gr3_Fre/avv_29	19349.2	1192.8	347.149	15241	5680.37
SLE_fre_gr4_centrif_30	19349.2	1192.8	607.304	15241	9966.32
SLE_fre_gr1+vento_31	19349.2	598.187	768.69	8550.81	12543
SLE_fre_gr2+vento_32	15535.8	1.78689	707.675	1544.67	11440.9
SLE_fre_gr3+vento_33	19349.2	1194.59	537.533	15260.3	8583.31
SLE_fre_gr4+vento_34	19349.2	1194.59	797.688	15260.3	12869.3
SLE_fre_vento_gr1_35	15191.8	4.46722	537.801	1525.61	7953.08

SLE_fre_vento_gr2_36	15191.8	4.46722	537.801	1525.61	7953.08
SLE_fre_vento_gr3_37	15191.8	4.46722	537.801	1525.61	7953.08
SLE_fre_vento_gr4_38	15191.8	4.46722	537.801	1525.61	7953.08
SLE_fre_gr1_temp39	15191.8	1.78689	264.594	1496.67	3737.81
SLE_fre_gr2_temp40	15191.8	1.78689	264.594	1496.67	3737.81
SLE_fre_gr3_temp41	15191.8	1.78689	264.594	1496.67	3737.81
SLE_fre_gr3_temp42	15191.8	1.78689	264.594	1496.67	3737.81
SLE_qp_gr1_Treno_44	15191.8	0	61.8422	1477.37	695.725
SLE_qp_gr2_Scarico_45	15191.8	0	61.8422	1477.37	695.725
SLE_qp_gr3_Fre/avv_46	15191.8	0	61.8422	1477.37	695.725
SLE_qp_gr4_centrif_47	15191.8	0	61.8422	1477.37	695.725
SLE_qp_gr1+vento_48	15191.8	1.78689	252.226	1496.67	3598.67
SLE_qp_gr2+vento_49	15191.8	1.78689	252.226	1496.67	3598.67
SLE_qp_gr3+vento_50	15191.8	1.78689	252.226	1496.67	3598.67
SLE_qp_gr4+vento_51	15191.8	1.78689	252.226	1496.67	3598.67
SLE_qp_vento_gr1_52	15191.8	1.78689	252.226	1496.67	3598.67
SLE_qp_vento_gr2_53	15191.8	1.78689	252.226	1496.67	3598.67
SLE_qp_vento_gr3_54	15191.8	1.78689	252.226	1496.67	3598.67
SLE_qp_vento_gr4_55	15191.8	1.78689	252.226	1496.67	3598.67
SLE_qp_gr1_temp56	15191.8	0	61.8422	1477.37	695.725
SLE_qp_gr2_temp57	15191.8	0	61.8422	1477.37	695.725
SLE_qp_gr3_temp58	15191.8	0	61.8422	1477.37	695.725
SLE_qp_gr3_temp59	15191.8	0	61.8422	1477.37	695.725
E_103x_SLV_q=1.5_60	15764.5	4614.81	1249.61	50238	14612.3
E_103y_SLV_q=1.5_61	15764.5	1385.69	3576.86	16105.6	46666.8
E_103z_SLV_q=1.5_62	17100.7	1385.69	1249.61	16105.6	14612.3
E_103x_SLV_q=1.36_63	15764.5	5076.11	1349.35	55114.1	15986
E_103y_SLV_q=1.36_64	15764.5	1524.08	3909.32	17568.4	51246
E_103z_SLV_q=1.36_65	17100.7	1524.08	1349.35	17568.4	15986
E_103x_SLV_q=1_66	15764.5	6928.23	1748.32	74699.4	21488.4
E_103y_SLV_q=1_67	15764.5	2079.72	5239.22	23444	69587.1
E_103z_SLV_q=1_68	17100.7	2079.72	1748.32	23444	21488.4
E_103x_SLD_q=1_69	15338.2	3256.81	947.032	35886.9	10446.6
E_103y_SLD_q=1_70	15338.2	978.293	2568.25	11800.2	32781.3
E_103z_SLD_q=1_71	15679.8	978.293	947.032	11800.2	10446.6

CARATTERISTICHE SOLLECITAZIONI BASE FONDAZIONE

combinazione	N	Tlong	Ttrasv	Mlong	Mtrasv
A1_SLU_gr1_Treno_1	56660.8	1080.98	1220.53	18103.7	23073.2
A1_SLU_gr2_Scarico_2	49749.1	0	971.706	2162.09	18773.9
A1_SLU_gr3_Fre/avv_3	56660.8	2161.95	801.558	33507.5	14639.3
A1_SLU_gr4_centrif_4	55153.8	1729.56	998.687	27221.1	18775.8
A1_SLU_gr1+vento_5	56660.8	1089.02	2077.26	18214.6	38706.6
A1_SLU_gr2+vento_6	49749.1	8.041	1828.43	2273.06	34407.3
A1_SLU_gr3+vento_7	56660.8	2169.99	1658.28	33618.5	30272.7
A1_SLU_gr4+vento_8	55153.8	1737.6	1855.41	27332	34409.2
A1_SLU_vento_gr1_9	55153.8	878.182	2360.9	15082.9	43895.8
A1_SLU_vento_gr2_10	49624.4	13.4017	2201.65	2329.64	41023.7
A1_SLU_vento_gr3_11	55153.8	1742.96	2025.72	27406	37148.6
A1_SLU_vento_gr4_12	55153.8	1742.96	2426.56	27406	44831.5
SLE_rar_gr1_Treno_14	41016.9	745.5	776.825	12531.5	14987.4
SLE_rar_gr2_Scarico_15	36250.2	0	662.423	1537.37	12837.5
SLE_rar_gr3_Fre/avv_16	41016.9	1491	487.879	23154.9	9170.95
SLE_rar_gr4_centrif_17	39977.6	1192.8	636.302	18819.4	12201.4
SLE_rar_gr1+vento_18	41016.9	750.861	1347.98	12605.5	25409.7
SLE_rar_gr2+vento_19	36250.2	5.36067	1233.57	1611.35	23259.8
SLE_rar_gr3+vento_20	41016.9	1496.36	1059.03	23228.9	19593.2
SLE_rar_gr4+vento_21	39977.6	1198.16	1207.45	18893.4	22623.7
SLE_rar_vento_gr1_22	39977.6	605.334	1553.42	10444	29076.1
SLE_rar_vento_gr2_23	36164.2	8.93445	1480.21	1648.66	27617
SLE_rar_vento_gr3_24	39977.6	1201.73	1322.27	18942.7	24422.9
SLE_rar_vento_gr4_25	39977.6	1201.73	1588.22	18942.7	29571.9
SLE_fre_gr1_Treno_27	39977.6	596.4	578.306	10320.7	11375
SLE_fre_gr2_Scarico_28	36164.2	0	517.292	1525.37	10089.8
SLE_fre_gr3_Fre/avv_29	39977.6	1192.8	347.149	18819.4	6721.82
SLE_fre_gr4_centrif_30	39977.6	1192.8	607.304	18819.4	11788.2
SLE_fre_gr1+vento_31	39977.6	598.187	768.69	10345.4	14849.1
SLE_fre_gr2+vento_32	36164.2	1.78689	707.675	1550.03	13563.9
SLE_fre_gr3+vento_33	39977.6	1194.59	537.533	18844.1	10195.9
SLE_fre_gr4+vento_34	39977.6	1194.59	797.688	18844.1	15262.3
SLE_fre_vento_gr1_35	35820.2	4.46722	537.801	1539.02	9566.49
SLE_fre_vento_gr2_36	35820.2	4.46722	537.801	1539.02	9566.49

SLE_fre_vento_gr3_37	35820.2	4.46722	537.801	1539.02	9566.49
SLE_fre_vento_gr4_38	35820.2	4.46722	537.801	1539.02	9566.49
SLE_fre_gr1_temp39	35820.2	1.78689	264.594	1502.03	4531.6
SLE_fre_gr2_temp40	35820.2	1.78689	264.594	1502.03	4531.6
SLE_fre_gr3_temp41	35820.2	1.78689	264.594	1502.03	4531.6
SLE_fre_gr3_temp42	35820.2	1.78689	264.594	1502.03	4531.6
SLE_qp_gr1_Treno_44	35820.2	0	61.8422	1477.37	881.251
SLE_qp_gr2_Scarico_45	35820.2	0	61.8422	1477.37	881.251
SLE_qp_gr3_Fre/avv_46	35820.2	0	61.8422	1477.37	881.251
SLE_qp_gr4_centrif_47	35820.2	0	61.8422	1477.37	881.251
SLE_qp_gr1+vento_48	35820.2	1.78689	252.226	1502.03	4355.35
SLE_qp_gr2+vento_49	35820.2	1.78689	252.226	1502.03	4355.35
SLE_qp_gr3+vento_50	35820.2	1.78689	252.226	1502.03	4355.35
SLE_qp_gr4+vento_51	35820.2	1.78689	252.226	1502.03	4355.35
SLE_qp_vento_gr1_52	35820.2	1.78689	252.226	1502.03	4355.35
SLE_qp_vento_gr2_53	35820.2	1.78689	252.226	1502.03	4355.35
SLE_qp_vento_gr3_54	35820.2	1.78689	252.226	1502.03	4355.35
SLE_qp_vento_gr4_55	35820.2	1.78689	252.226	1502.03	4355.35
SLE_qp_gr1_temp56	35820.2	0	61.8422	1477.37	881.251
SLE_qp_gr2_temp57	35820.2	0	61.8422	1477.37	881.251
SLE_qp_gr3_temp58	35820.2	0	61.8422	1477.37	881.251
SLE_qp_gr3_temp59	35820.2	0	61.8422	1477.37	881.251
E_103x_SLV_q=1.5_60	36683.9	5985.74	1660.89	68195.2	19595
E_103y_SLV_q=1.5_61	36683.9	2756.62	3988.14	24375.4	58631.2
E_103z_SLV_q=1.5_62	38699.3	2756.62	1660.89	24375.4	19595
E_103x_SLV_q=1.36_63	36683.9	6447.04	1760.63	74455.2	21267.9
E_103y_SLV_q=1.36_64	36683.9	2895.02	4320.6	26253.4	64207.8
E_103z_SLV_q=1.36_65	38699.3	2895.02	1760.63	26253.4	21267.9
E_103x_SLV_q=1_66	36683.9	8299.16	2159.6	99596.9	27967.2
E_103y_SLV_q=1_67	36683.9	3450.65	5650.5	33795.9	86538.6
E_103z_SLV_q=1_68	38699.3	3450.65	2159.6	33795.9	27967.2
E_103x_SLD_q=1_69	36068.9	3939.7	1151.9	47706	13902.3
E_103y_SLD_q=1_70	36068.9	1661.19	2773.11	16783.8	41100.6
E_103z_SLD_q=1_71	36649.3	1661.19	1151.9	16783.8	13902.3

6.1.2 Configurazione2

CARATTERISTICHE SOLLECITAZIONI IN TESTA PILA

combinazione	N	Tlong	Ttrasv	Mlong	Mtrasv
A1_SLU_gr1_Treno_72	20327.4	1080.98	1124.47	8401.74	5919.81
A1_SLU_gr2_Scarico_73	16084	0	971.706	2162.09	5364.38
A1_SLU_gr3_Fre/avv_74	20327.4	2161.95	705.494	8888.18	3267.71
A1_SLU_gr4_centrif_75	19354	1729.56	921.836	7525.57	4745.86
A1_SLU_gr1+vento_76	20327.4	1089.02	1981.19	8401.74	9730.4
A1_SLU_gr2+vento_77	16084	8.041	1828.43	2162.09	9174.98
A1_SLU_gr3+vento_78	20327.4	2169.99	1562.22	8888.18	7078.31
A1_SLU_gr4+vento_79	19354	1737.6	1778.56	7525.57	8556.46
A1_SLU_vento_gr1_80	19354	878.182	2299.42	7136.41	11074.2
A1_SLU_vento_gr2_81	15959.3	13.4017	2201.65	2144.69	10640.9
A1_SLU_vento_gr3_82	19354	1742.96	1964.24	7525.57	8952.55
A1_SLU_vento_gr4_83	19354	1742.96	2349.71	7525.57	11096.9
SLE_rar_gr1_Treno_85	14239.6	745.5	732.658	5840.58	4063.35
SLE_rar_gr2_Scarico_86	11313.1	0	662.423	1537.37	3696.1
SLE_rar_gr3_Fre/avv_87	14239.6	1491	443.711	6176.05	2234.32
SLE_rar_gr4_centrif_88	13568.3	1192.8	600.968	5236.31	3257.36
SLE_rar_gr1+vento_89	14239.6	750.861	1303.81	5840.58	6603.75
SLE_rar_gr2+vento_90	11313.1	5.36067	1233.57	1537.37	6236.5
SLE_rar_gr3+vento_91	14239.6	1496.36	1014.86	6176.05	4774.72
SLE_rar_gr4+vento_92	13568.3	1198.16	1172.12	5236.31	5797.76
SLE_rar_vento_gr1_93	13568.3	605.334	1525.16	4967.93	7478.88
SLE_rar_vento_gr2_94	11227.1	8.93445	1480.21	1525.37	7190.13
SLE_rar_vento_gr3_95	13568.3	1201.73	1294	5236.31	6015.65
SLE_rar_vento_gr4_96	13568.3	1201.73	1552.89	5236.31	7491.36
SLE_fre_gr1_Treno_98	13568.3	596.4	554.75	4967.93	3236.56
SLE_fre_gr2_Scarico_99	11227.1	0	517.292	1525.37	2951.19
SLE_fre_gr3_Fre/avv_100	13568.3	1192.8	323.593	5236.31	1773.34
SLE_fre_gr4_centrif_101	13568.3	1192.8	577.859	5236.31	3246.96
SLE_fre_gr1+vento_102	13568.3	598.187	745.134	4967.93	4083.36
SLE_fre_gr2+vento_103	11227.1	1.78689	707.675	1525.37	3797.99
SLE_fre_gr3+vento_104	13568.3	1194.59	513.977	5236.31	2620.14
SLE_fre_gr4+vento_105	13568.3	1194.59	768.243	5236.31	4093.76

SLE_fre_vento_gr1_106	10883.1	4.46722	537.801	1477.37	2144.83
SLE_fre_vento_gr2_107	10883.1	4.46722	537.801	1477.37	2144.83
SLE_fre_vento_gr3_108	10883.1	4.46722	537.801	1477.37	2144.83
SLE_fre_vento_gr4_109	10883.1	4.46722	537.801	1477.37	2144.83
SLE_fre_gr1_temp110	10883.1	1.78689	264.594	1477.37	880.194
SLE_fre_gr2_temp111	10883.1	1.78689	264.594	1477.37	880.194
SLE_fre_gr3_temp112	10883.1	1.78689	264.594	1477.37	880.194
SLE_fre_gr3_temp113	10883.1	1.78689	264.594	1477.37	880.194
SLE_qp_gr1_Treno_115	10883.1	0	61.8422	1477.37	27.829
SLE_qp_gr2_Scarico_116	10883.1	0	61.8422	1477.37	27.829
SLE_qp_gr3_Fre/avv_117	10883.1	0	61.8422	1477.37	27.829
SLE_qp_gr4_centrif_118	10883.1	0	61.8422	1477.37	27.829
SLE_qp_gr1+vento_119	10883.1	1.78689	252.226	1477.37	874.629
SLE_qp_gr2+vento_120	10883.1	1.78689	252.226	1477.37	874.629
SLE_qp_gr3+vento_121	10883.1	1.78689	252.226	1477.37	874.629
SLE_qp_gr4+vento_122	10883.1	1.78689	252.226	1477.37	874.629
SLE_qp_vento_gr1_123	10883.1	1.78689	252.226	1477.37	874.629
SLE_qp_vento_gr2_124	10883.1	1.78689	252.226	1477.37	874.629
SLE_qp_vento_gr3_125	10883.1	1.78689	252.226	1477.37	874.629
SLE_qp_vento_gr4_126	10883.1	1.78689	252.226	1477.37	874.629
SLE_qp_gr1_temp127	10883.1	0	61.8422	1477.37	27.829
SLE_qp_gr2_temp128	10883.1	0	61.8422	1477.37	27.829
SLE_qp_gr3_temp129	10883.1	0	61.8422	1477.37	27.829
SLE_qp_gr3_temp130	10883.1	0	61.8422	1477.37	27.829
E_103x_SLV_q=1.5_131	11455.8	4614.81	1249.61	0	0
E_103y_SLV_q=1.5_132	11455.8	1385.69	3576.86	0	0
E_103z_SLV_q=1.5_133	12792.1	1385.69	1249.61	0	0
E_103x_SLV_q=1.36_134	11455.8	5076.11	1349.35	0	0
E_103y_SLV_q=1.36_135	11455.8	1524.08	3909.32	0	0
E_103z_SLV_q=1.36_136	12792.1	1524.08	1349.35	0	0
E_103x_SLV_q=1_137	11455.8	6928.23	1748.32	0	0
E_103y_SLV_q=1_138	11455.8	2079.72	5239.22	0	0
E_103z_SLV_q=1_139	12792.1	2079.72	1748.32	0	0
E_103x_SLD_q=1_140	11066.1	3453.55	889.588	0	0
E_103y_SLD_q=1_141	11066.1	1037.32	2376.77	0	0
E_103z_SLD_q=1_142	11492.9	1037.32	889.588	0	0

CARATTERISTICHE SOLLECITAZIONI BASE PILA

combinazione	N	Tlong	Ttrasv	Mlong	Mtrasv
A1_SLU_gr1_Treno_72	26144.1	1080.98	1124.47	20076.3	18064
A1_SLU_gr2_Scarico_73	21900.7	0	971.706	2162.09	15858.8
A1_SLU_gr3_Fre/avv_74	26144.1	2161.95	705.494	32237.2	10887.1
A1_SLU_gr4_centrif_75	25170.7	1729.56	921.836	26204.8	14701.7
A1_SLU_gr1+vento_76	26144.1	1089.02	1981.19	20163.1	31127.3
A1_SLU_gr2+vento_77	21900.7	8.041	1828.43	2248.94	28922
A1_SLU_gr3+vento_78	26144.1	2169.99	1562.22	32324.1	23950.3
A1_SLU_gr4+vento_79	25170.7	1737.6	1778.56	26291.7	27764.9
A1_SLU_vento_gr1_80	25170.7	878.182	2299.42	16620.8	35907.9
A1_SLU_vento_gr2_81	21776	13.4017	2201.65	2289.43	34418.7
A1_SLU_vento_gr3_82	25170.7	1742.96	1964.24	26349.6	30166.3
A1_SLU_vento_gr4_83	25170.7	1742.96	2349.71	26349.6	36473.8
SLE_rar_gr1_Treno_85	18548.2	745.5	732.658	13892	11976.1
SLE_rar_gr2_Scarico_86	15621.8	0	662.423	1537.37	10850.3
SLE_rar_gr3_Fre/avv_87	18548.2	1491	443.711	22278.9	7026.4
SLE_rar_gr4_centrif_88	17876.9	1192.8	600.968	18118.6	9747.81
SLE_rar_gr1+vento_89	18548.2	750.861	1303.81	13949.9	20684.9
SLE_rar_gr2+vento_90	15621.8	5.36067	1233.57	1595.26	19559.1
SLE_rar_gr3+vento_91	18548.2	1496.36	1014.86	22336.7	15735.2
SLE_rar_gr4+vento_92	17876.9	1198.16	1172.12	18176.4	18456.6
SLE_rar_vento_gr1_93	17876.9	605.334	1525.16	11505.5	23950.6
SLE_rar_vento_gr2_94	15535.8	8.93445	1480.21	1621.86	23176.4
SLE_rar_vento_gr3_95	17876.9	1201.73	1294	18215	19990.8
SLE_rar_vento_gr4_96	17876.9	1201.73	1552.89	18215	24262.5
SLE_fre_gr1_Treno_98	17876.9	596.4	554.75	11409.1	9227.86
SLE_fre_gr2_Scarico_99	15535.8	0	517.292	1525.37	8537.94
SLE_fre_gr3_Fre/avv_100	17876.9	1192.8	323.593	18118.6	5268.14
SLE_fre_gr4_centrif_101	17876.9	1192.8	577.859	18118.6	9487.84
SLE_fre_gr1+vento_102	17876.9	598.187	745.134	11428.4	12130.8
SLE_fre_gr2+vento_103	15535.8	1.78689	707.675	1544.67	11440.9
SLE_fre_gr3+vento_104	17876.9	1194.59	513.977	18137.9	8171.09
SLE_fre_gr4+vento_105	17876.9	1194.59	768.243	18137.9	12390.8
SLE_fre_vento_gr1_106	15191.8	4.46722	537.801	1525.61	7953.08

SLE_fre_vento_gr2_107	15191.8	4.46722	537.801	1525.61	7953.08
SLE_fre_vento_gr3_108	15191.8	4.46722	537.801	1525.61	7953.08
SLE_fre_vento_gr4_109	15191.8	4.46722	537.801	1525.61	7953.08
SLE_fre_gr1_temp110	15191.8	1.78689	264.594	1496.67	3737.81
SLE_fre_gr2_temp111	15191.8	1.78689	264.594	1496.67	3737.81
SLE_fre_gr3_temp112	15191.8	1.78689	264.594	1496.67	3737.81
SLE_fre_gr3_temp113	15191.8	1.78689	264.594	1496.67	3737.81
SLE_qp_gr1_Treno_115	15191.8	0	61.8422	1477.37	695.725
SLE_qp_gr2_Scarico_116	15191.8	0	61.8422	1477.37	695.725
SLE_qp_gr3_Fre/avv_117	15191.8	0	61.8422	1477.37	695.725
SLE_qp_gr4_centrif_118	15191.8	0	61.8422	1477.37	695.725
SLE_qp_gr1+vento_119	15191.8	1.78689	252.226	1496.67	3598.67
SLE_qp_gr2+vento_120	15191.8	1.78689	252.226	1496.67	3598.67
SLE_qp_gr3+vento_121	15191.8	1.78689	252.226	1496.67	3598.67
SLE_qp_gr4+vento_122	15191.8	1.78689	252.226	1496.67	3598.67
SLE_qp_vento_gr1_123	15191.8	1.78689	252.226	1496.67	3598.67
SLE_qp_vento_gr2_124	15191.8	1.78689	252.226	1496.67	3598.67
SLE_qp_vento_gr3_125	15191.8	1.78689	252.226	1496.67	3598.67
SLE_qp_vento_gr4_126	15191.8	1.78689	252.226	1496.67	3598.67
SLE_qp_gr1_temp127	15191.8	0	61.8422	1477.37	695.725
SLE_qp_gr2_temp128	15191.8	0	61.8422	1477.37	695.725
SLE_qp_gr3_temp129	15191.8	0	61.8422	1477.37	695.725
SLE_qp_gr3_temp130	15191.8	0	61.8422	1477.37	695.725
E_103x_SLV_q=1.5_131	15764.5	4614.81	1249.61	50238	14612.3
E_103y_SLV_q=1.5_132	15764.5	1385.69	3576.86	16105.6	46666.8
E_103z_SLV_q=1.5_133	17100.7	1385.69	1249.61	16105.6	14612.3
E_103x_SLV_q=1.36_134	15764.5	5076.11	1349.35	55114.1	15986
E_103y_SLV_q=1.36_135	15764.5	1524.08	3909.32	17568.4	51246
E_103z_SLV_q=1.36_136	17100.7	1524.08	1349.35	17568.4	15986
E_103x_SLV_q=1_137	15764.5	6928.23	1748.32	74699.4	21488.4
E_103y_SLV_q=1_138	15764.5	2079.72	5239.22	23444	69587.1
E_103z_SLV_q=1_139	17100.7	2079.72	1748.32	23444	21488.4
E_103x_SLD_q=1_140	15374.7	3453.55	889.588	40474.4	10255.8
E_103y_SLD_q=1_141	15374.7	1037.32	2376.77	13176.5	32145.3
E_103z_SLD_q=1_142	15801.6	1037.32	889.588	13176.5	10255.8

CARATTERISTICHE SOLLECITAZIONI BASE FONDAZIONE

combinazione	N	Tlong	Ttrasv	Mlong	Mtrasv
A1_SLU_gr1_Treno_72	53992.4	1080.98	1124.47	23319.2	21437.4
A1_SLU_gr2_Scarico_73	49749.1	0	971.706	2162.09	18773.9
A1_SLU_gr3_Fre/avv_74	53992.4	2161.95	705.494	38723.1	13003.5
A1_SLU_gr4_centrif_75	53019	1729.56	921.836	31393.5	17467.2
A1_SLU_gr1+vento_76	53992.4	1089.02	1981.19	23430.2	37070.9
A1_SLU_gr2+vento_77	49749.1	8.041	1828.43	2273.06	34407.3
A1_SLU_gr3+vento_78	53992.4	2169.99	1562.22	38834.1	28637
A1_SLU_gr4+vento_79	53019	1737.6	1778.56	31504.5	33100.6
A1_SLU_vento_gr1_80	53019	878.182	2299.42	19255.3	42806.2
A1_SLU_vento_gr2_81	49624.4	13.4017	2201.65	2329.64	41023.7
A1_SLU_vento_gr3_82	53019	1742.96	1964.24	31578.4	36059.1
A1_SLU_vento_gr4_83	53019	1742.96	2349.71	31578.4	43522.9
SLE_rar_gr1_Treno_85	39176.6	745.5	732.658	16128.5	14174
SLE_rar_gr2_Scarico_86	36250.2	0	662.423	1537.37	12837.5
SLE_rar_gr3_Fre/avv_87	39176.6	1491	443.711	26751.9	8357.54
SLE_rar_gr4_centrif_88	38505.3	1192.8	600.968	21697	11550.7
SLE_rar_gr1+vento_89	39176.6	750.861	1303.81	16202.5	24596.3
SLE_rar_gr2+vento_90	36250.2	5.36067	1233.57	1611.35	23259.8
SLE_rar_gr3+vento_91	39176.6	1496.36	1014.86	26825.8	18779.8
SLE_rar_gr4+vento_92	38505.3	1198.16	1172.12	21770.9	21973
SLE_rar_vento_gr1_93	38505.3	605.334	1525.16	13321.5	28526
SLE_rar_vento_gr2_94	36164.2	8.93445	1480.21	1648.66	27617
SLE_rar_vento_gr3_95	38505.3	1201.73	1294	21820.2	23872.8
SLE_rar_vento_gr4_96	38505.3	1201.73	1552.89	21820.2	28921.2
SLE_fre_gr1_Treno_98	38505.3	596.4	554.75	13198.3	10892.1
SLE_fre_gr2_Scarico_99	36164.2	0	517.292	1525.37	10089.8
SLE_fre_gr3_Fre/avv_100	38505.3	1192.8	323.593	21697	6238.92
SLE_fre_gr4_centrif_101	38505.3	1192.8	577.859	21697	11221.4
SLE_fre_gr1+vento_102	38505.3	598.187	745.134	13222.9	14366.2
SLE_fre_gr2+vento_103	36164.2	1.78689	707.675	1550.03	13563.9
SLE_fre_gr3+vento_104	38505.3	1194.59	513.977	21721.6	9713.02
SLE_fre_gr4+vento_105	38505.3	1194.59	768.243	21721.6	14695.5
SLE_fre_vento_gr1_106	35820.2	4.46722	537.801	1539.02	9566.49

SLE_fre_vento_gr2_107	35820.2	4.46722	537.801	1539.02	9566.49
SLE_fre_vento_gr3_108	35820.2	4.46722	537.801	1539.02	9566.49
SLE_fre_vento_gr4_109	35820.2	4.46722	537.801	1539.02	9566.49
SLE_fre_gr1_temp110	35820.2	1.78689	264.594	1502.03	4531.6
SLE_fre_gr2_temp111	35820.2	1.78689	264.594	1502.03	4531.6
SLE_fre_gr3_temp112	35820.2	1.78689	264.594	1502.03	4531.6
SLE_fre_gr3_temp113	35820.2	1.78689	264.594	1502.03	4531.6
SLE_qp_gr1_Treno_115	35820.2	0	61.8422	1477.37	881.251
SLE_qp_gr2_Scarico_116	35820.2	0	61.8422	1477.37	881.251
SLE_qp_gr3_Fre/avv_117	35820.2	0	61.8422	1477.37	881.251
SLE_qp_gr4_centrif_118	35820.2	0	61.8422	1477.37	881.251
SLE_qp_gr1+vento_119	35820.2	1.78689	252.226	1502.03	4355.35
SLE_qp_gr2+vento_120	35820.2	1.78689	252.226	1502.03	4355.35
SLE_qp_gr3+vento_121	35820.2	1.78689	252.226	1502.03	4355.35
SLE_qp_gr4+vento_122	35820.2	1.78689	252.226	1502.03	4355.35
SLE_qp_vento_gr1_123	35820.2	1.78689	252.226	1502.03	4355.35
SLE_qp_vento_gr2_124	35820.2	1.78689	252.226	1502.03	4355.35
SLE_qp_vento_gr3_125	35820.2	1.78689	252.226	1502.03	4355.35
SLE_qp_vento_gr4_126	35820.2	1.78689	252.226	1502.03	4355.35
SLE_qp_gr1_temp127	35820.2	0	61.8422	1477.37	881.251
SLE_qp_gr2_temp128	35820.2	0	61.8422	1477.37	881.251
SLE_qp_gr3_temp129	35820.2	0	61.8422	1477.37	881.251
SLE_qp_gr3_temp130	35820.2	0	61.8422	1477.37	881.251
E_103x_SLV_q=1.5_131	36683.9	5985.74	1660.89	68195.2	19595
E_103y_SLV_q=1.5_132	36683.9	2756.62	3988.14	24375.4	58631.2
E_103z_SLV_q=1.5_133	38699.3	2756.62	1660.89	24375.4	19595
E_103x_SLV_q=1.36_134	36683.9	6447.04	1760.63	74455.2	21267.9
E_103y_SLV_q=1.36_135	36683.9	2895.02	4320.6	26253.4	64207.8
E_103z_SLV_q=1.36_136	38699.3	2895.02	1760.63	26253.4	21267.9
E_103x_SLV_q=1_137	36683.9	8299.16	2159.6	99596.9	27967.2
E_103y_SLV_q=1_138	36683.9	3450.65	5650.5	33795.9	86538.6
E_103z_SLV_q=1_139	38699.3	3450.65	2159.6	33795.9	27967.2
E_103x_SLD_q=1_140	36105.4	4136.44	1094.46	52883.8	13539.2
E_103y_SLD_q=1_141	36105.4	1720.21	2581.64	18337.1	39890.3
E_103z_SLD_q=1_142	36771	1720.21	1094.46	18337.1	13539.2

6.1.3 Configurazione 3

CARATTERISTICHE SOLLECITAZIONI IN TESTA PILA

combinazione	N	Tlong	Ttrasv	Mlong	Mtrasv
A1_SLU_gr1_Treno_143	22995.8	1080.98	1220.53	3186.2	6229.88
A1_SLU_gr2_Scarico_144	16084	0	971.706	2162.09	5364.38
A1_SLU_gr3_Fre/avv_145	22995.8	2161.95	801.558	3672.64	3577.78
A1_SLU_gr4_centrif_146	21488.8	1729.56	998.687	3353.13	4993.92
A1_SLU_gr1+vento_147	22995.8	1089.02	2077.26	3186.2	10040.5
A1_SLU_gr2+vento_148	16084	8.041	1828.43	2162.09	9174.98
A1_SLU_gr3+vento_149	22995.8	2169.99	1658.28	3672.64	7388.38
A1_SLU_gr4+vento_150	21488.8	1737.6	1855.41	3353.13	8804.52
A1_SLU_vento_gr1_151	21488.8	878.182	2360.9	2963.98	11315.4
A1_SLU_vento_gr2_152	15959.3	13.4017	2201.65	2144.69	10640.9
A1_SLU_vento_gr3_153	21488.8	1742.96	2025.72	3353.13	9193.69
A1_SLU_vento_gr4_154	21488.8	1742.96	2426.56	3353.13	11344.9
SLE_rar_gr1_Treno_156	16079.9	745.5	776.825	2243.65	4267.25
SLE_rar_gr2_Scarico_157	11313.1	0	662.423	1537.37	3696.1
SLE_rar_gr3_Fre/avv_158	16079.9	1491	487.879	2579.12	2438.22
SLE_rar_gr4_centrif_159	15040.5	1192.8	636.302	2358.77	3420.48
SLE_rar_gr1+vento_160	16079.9	750.861	1347.98	2243.65	6807.65
SLE_rar_gr2+vento_161	11313.1	5.36067	1233.57	1537.37	6236.5
SLE_rar_gr3+vento_162	16079.9	1496.36	1059.03	2579.12	4978.62
SLE_rar_gr4+vento_163	15040.5	1198.16	1207.45	2358.77	5960.88
SLE_rar_vento_gr1_164	15040.5	605.334	1553.42	2090.39	7638.82
SLE_rar_vento_gr2_165	11227.1	8.93445	1480.21	1525.37	7190.13
SLE_rar_vento_gr3_166	15040.5	1201.73	1322.27	2358.77	6175.6
SLE_rar_vento_gr4_167	15040.5	1201.73	1588.22	2358.77	7654.48
SLE_fre_gr1_Treno_169	15040.5	596.4	578.306	2090.39	3394.38
SLE_fre_gr2_Scarico_170	11227.1	0	517.292	1525.37	2951.19
SLE_fre_gr3_Fre/avv_171	15040.5	1192.8	347.149	2358.77	1931.16
SLE_fre_gr4_centrif_172	15040.5	1192.8	607.304	2358.77	3407.43
SLE_fre_gr1+vento_173	15040.5	598.187	768.69	2090.39	4241.18
SLE_fre_gr2+vento_174	11227.1	1.78689	707.675	1525.37	3797.99
SLE_fre_gr3+vento_175	15040.5	1194.59	537.533	2358.77	2777.96
SLE_fre_gr4+vento_176	15040.5	1194.59	797.688	2358.77	4254.23
SLE_fre_vento_gr1_177	10883.1	4.46722	537.801	1477.37	2144.83

SLE_fre_vento_gr2_178	10883.1	4.46722	537.801	1477.37	2144.83
SLE_fre_vento_gr3_179	10883.1	4.46722	537.801	1477.37	2144.83
SLE_fre_vento_gr4_180	10883.1	4.46722	537.801	1477.37	2144.83
SLE_fre_gr1_temp181	10883.1	1.78689	264.594	1477.37	880.194
SLE_fre_gr2_temp182	10883.1	1.78689	264.594	1477.37	880.194
SLE_fre_gr3_temp183	10883.1	1.78689	264.594	1477.37	880.194
SLE_fre_gr3_temp184	10883.1	1.78689	264.594	1477.37	880.194
SLE_qp_gr1_Treno_186	10883.1	0	61.8422	1477.37	27.829
SLE_qp_gr2_Scarico_187	10883.1	0	61.8422	1477.37	27.829
SLE_qp_gr3_Fre/avv_188	10883.1	0	61.8422	1477.37	27.829
SLE_qp_gr4_centrif_189	10883.1	0	61.8422	1477.37	27.829
SLE_qp_gr1+vento_190	10883.1	1.78689	252.226	1477.37	874.629
SLE_qp_gr2+vento_191	10883.1	1.78689	252.226	1477.37	874.629
SLE_qp_gr3+vento_192	10883.1	1.78689	252.226	1477.37	874.629
SLE_qp_gr4+vento_193	10883.1	1.78689	252.226	1477.37	874.629
SLE_qp_vento_gr1_194	10883.1	1.78689	252.226	1477.37	874.629
SLE_qp_vento_gr2_195	10883.1	1.78689	252.226	1477.37	874.629
SLE_qp_vento_gr3_196	10883.1	1.78689	252.226	1477.37	874.629
SLE_qp_vento_gr4_197	10883.1	1.78689	252.226	1477.37	874.629
SLE_qp_gr1_temp198	10883.1	0	61.8422	1477.37	27.829
SLE_qp_gr2_temp199	10883.1	0	61.8422	1477.37	27.829
SLE_qp_gr3_temp200	10883.1	0	61.8422	1477.37	27.829
SLE_qp_gr3_temp201	10883.1	0	61.8422	1477.37	27.829
E_103x_SLV_q=1.5_202	11455.8	4614.81	1249.61	0	0
E_103y_SLV_q=1.5_203	11455.8	1385.69	3576.86	0	0
E_103z_SLV_q=1.5_204	12792.1	1385.69	1249.61	0	0
E_103x_SLV_q=1.36_205	11455.8	5076.11	1349.35	0	0
E_103y_SLV_q=1.36_206	11455.8	1524.08	3909.32	0	0
E_103z_SLV_q=1.36_207	12792.1	1524.08	1349.35	0	0
E_103x_SLV_q=1_208	11455.8	6928.23	1748.32	0	0
E_103y_SLV_q=1_209	11455.8	2079.72	5239.22	0	0
E_103z_SLV_q=1_210	12792.1	2079.72	1748.32	0	0
E_103x_SLD_q=1_211	11066.1	3453.55	889.588	0	0
E_103y_SLD_q=1_212	11066.1	1037.32	2376.77	0	0
E_103z_SLD_q=1_213	11492.9	1037.32	889.588	0	0

CARATTERISTICHE SOLLECITAZIONI BASE PILA


combinazione	N	Tlong	Ttrasv	Mlong	Mtrasv
A1_SLU_gr1_Treno_143	28812.5	1080.98	1220.53	14860.7	19411.6
A1_SLU_gr2_Scarico_144	21900.7	0	971.706	2162.09	15858.8
A1_SLU_gr3_Fre/avv_145	28812.5	2161.95	801.558	27021.7	12234.6
A1_SLU_gr4_centrif_146	27305.4	1729.56	998.687	22032.4	15779.7
A1_SLU_gr1+vento_147	28812.5	1089.02	2077.26	14947.6	32474.8
A1_SLU_gr2+vento_148	21900.7	8.041	1828.43	2248.94	28922
A1_SLU_gr3+vento_149	28812.5	2169.99	1658.28	27108.5	25297.9
A1_SLU_gr4+vento_150	27305.4	1737.6	1855.41	22119.2	28843
A1_SLU_vento_gr1_151	27305.4	878.182	2360.9	12448.3	36813.1
A1_SLU_vento_gr2_152	21776	13.4017	2201.65	2289.43	34418.7
A1_SLU_vento_gr3_153	27305.4	1742.96	2025.72	22177.1	31071.5
A1_SLU_vento_gr4_154	27305.4	1742.96	2426.56	22177.1	37551.8
SLE_rar_gr1_Treno_156	20388.5	745.5	776.825	10295	12657
SLE_rar_gr2_Scarico_157	15621.8	0	662.423	1537.37	10850.3
SLE_rar_gr3_Fre/avv_158	20388.5	1491	487.879	18681.9	7707.31
SLE_rar_gr4_centrif_159	19349.2	1192.8	636.302	15241	10292.5
SLE_rar_gr1+vento_160	20388.5	750.861	1347.98	10352.9	21365.8
SLE_rar_gr2+vento_161	15621.8	5.36067	1233.57	1595.26	19559.1
SLE_rar_gr3+vento_162	20388.5	1496.36	1059.03	18739.8	16416.1
SLE_rar_gr4+vento_163	19349.2	1198.16	1207.45	15298.9	19001.4
SLE_rar_vento_gr1_164	19349.2	605.334	1553.42	8628	24415.8
SLE_rar_vento_gr2_165	15535.8	8.93445	1480.21	1621.86	23176.4
SLE_rar_vento_gr3_166	19349.2	1201.73	1322.27	15337.5	20456.1
SLE_rar_vento_gr4_167	19349.2	1201.73	1588.22	15337.5	24807.3
SLE_fre_gr1_Treno_169	19349.2	596.4	578.306	8531.51	9640.09
SLE_fre_gr2_Scarico_170	15535.8	0	517.292	1525.37	8537.94
SLE_fre_gr3_Fre/avv_171	19349.2	1192.8	347.149	15241	5680.37
SLE_fre_gr4_centrif_172	19349.2	1192.8	607.304	15241	9966.32
SLE_fre_gr1+vento_173	19349.2	598.187	768.69	8550.81	12543
SLE_fre_gr2+vento_174	15535.8	1.78689	707.675	1544.67	11440.9
SLE_fre_gr3+vento_175	19349.2	1194.59	537.533	15260.3	8583.31
SLE_fre_gr4+vento_176	19349.2	1194.59	797.688	15260.3	12869.3
SLE_fre_vento_gr1_177	15191.8	4.46722	537.801	1525.61	7953.08

SLE_fre_vento_gr2_178	15191.8	4.46722	537.801	1525.61	7953.08
SLE_fre_vento_gr3_179	15191.8	4.46722	537.801	1525.61	7953.08
SLE_fre_vento_gr4_180	15191.8	4.46722	537.801	1525.61	7953.08
SLE_fre_gr1_temp181	15191.8	1.78689	264.594	1496.67	3737.81
SLE_fre_gr2_temp182	15191.8	1.78689	264.594	1496.67	3737.81
SLE_fre_gr3_temp183	15191.8	1.78689	264.594	1496.67	3737.81
SLE_fre_gr3_temp184	15191.8	1.78689	264.594	1496.67	3737.81
SLE_qp_gr1_Treno_186	15191.8	0	61.8422	1477.37	695.725
SLE_qp_gr2_Scarico_187	15191.8	0	61.8422	1477.37	695.725
SLE_qp_gr3_Fre/avv_188	15191.8	0	61.8422	1477.37	695.725
SLE_qp_gr4_centrif_189	15191.8	0	61.8422	1477.37	695.725
SLE_qp_gr1+vento_190	15191.8	1.78689	252.226	1496.67	3598.67
SLE_qp_gr2+vento_191	15191.8	1.78689	252.226	1496.67	3598.67
SLE_qp_gr3+vento_192	15191.8	1.78689	252.226	1496.67	3598.67
SLE_qp_gr4+vento_193	15191.8	1.78689	252.226	1496.67	3598.67
SLE_qp_vento_gr1_194	15191.8	1.78689	252.226	1496.67	3598.67
SLE_qp_vento_gr2_195	15191.8	1.78689	252.226	1496.67	3598.67
SLE_qp_vento_gr3_196	15191.8	1.78689	252.226	1496.67	3598.67
SLE_qp_vento_gr4_197	15191.8	1.78689	252.226	1496.67	3598.67
SLE_qp_gr1_temp198	15191.8	0	61.8422	1477.37	695.725
SLE_qp_gr2_temp199	15191.8	0	61.8422	1477.37	695.725
SLE_qp_gr3_temp200	15191.8	0	61.8422	1477.37	695.725
SLE_qp_gr3_temp201	15191.8	0	61.8422	1477.37	695.725
E_103x_SLV_q=1.5_202	15764.5	4614.81	1249.61	50238	14612.3
E_103y_SLV_q=1.5_203	15764.5	1385.69	3576.86	16105.6	46666.8
E_103z_SLV_q=1.5_204	17100.7	1385.69	1249.61	16105.6	14612.3
E_103x_SLV_q=1.36_205	15764.5	5076.11	1349.35	55114.1	15986
E_103y_SLV_q=1.36_206	15764.5	1524.08	3909.32	17568.4	51246
E_103z_SLV_q=1.36_207	17100.7	1524.08	1349.35	17568.4	15986
E_103x_SLV_q=1_208	15764.5	6928.23	1748.32	74699.4	21488.4
E_103y_SLV_q=1_209	15764.5	2079.72	5239.22	23444	69587.1
E_103z_SLV_q=1_210	17100.7	2079.72	1748.32	23444	21488.4
E_103x_SLD_q=1_211	15374.7	3453.55	889.588	40474.4	10255.8
E_103y_SLD_q=1_212	15374.7	1037.32	2376.77	13176.5	32145.3
E_103z_SLD_q=1_213	15801.6	1037.32	889.588	13176.5	10255.8

CARATTERISTICHE SOLLECITAZIONI BASE FONDAZIONE

combinazione	N	Tlong	Ttrasv	Mlong	Mtrasv
A1_SLU_gr1_Treno_143	56660.8	1080.98	1220.53	18103.7	23073.2
A1_SLU_gr2_Scarico_144	49749.1	0	971.706	2162.09	18773.9
A1_SLU_gr3_Fre/avv_145	56660.8	2161.95	801.558	33507.5	14639.3
A1_SLU_gr4_centrif_146	55153.8	1729.56	998.687	27221.1	18775.8
A1_SLU_gr1+vento_147	56660.8	1089.02	2077.26	18214.6	38706.6
A1_SLU_gr2+vento_148	49749.1	8.041	1828.43	2273.06	34407.3
A1_SLU_gr3+vento_149	56660.8	2169.99	1658.28	33618.5	30272.7
A1_SLU_gr4+vento_150	55153.8	1737.6	1855.41	27332	34409.2
A1_SLU_vento_gr1_151	55153.8	878.182	2360.9	15082.9	43895.8
A1_SLU_vento_gr2_152	49624.4	13.4017	2201.65	2329.64	41023.7
A1_SLU_vento_gr3_153	55153.8	1742.96	2025.72	27406	37148.6
A1_SLU_vento_gr4_154	55153.8	1742.96	2426.56	27406	44831.5
SLE_rar_gr1_Treno_156	41016.9	745.5	776.825	12531.5	14987.4
SLE_rar_gr2_Scarico_157	36250.2	0	662.423	1537.37	12837.5
SLE_rar_gr3_Fre/avv_158	41016.9	1491	487.879	23154.9	9170.95
SLE_rar_gr4_centrif_159	39977.6	1192.8	636.302	18819.4	12201.4
SLE_rar_gr1+vento_160	41016.9	750.861	1347.98	12605.5	25409.7
SLE_rar_gr2+vento_161	36250.2	5.36067	1233.57	1611.35	23259.8
SLE_rar_gr3+vento_162	41016.9	1496.36	1059.03	23228.9	19593.2
SLE_rar_gr4+vento_163	39977.6	1198.16	1207.45	18893.4	22623.7
SLE_rar_vento_gr1_164	39977.6	605.334	1553.42	10444	29076.1
SLE_rar_vento_gr2_165	36164.2	8.93445	1480.21	1648.66	27617
SLE_rar_vento_gr3_166	39977.6	1201.73	1322.27	18942.7	24422.9
SLE_rar_vento_gr4_167	39977.6	1201.73	1588.22	18942.7	29571.9
SLE_fre_gr1_Treno_169	39977.6	596.4	578.306	10320.7	11375
SLE_fre_gr2_Scarico_170	36164.2	0	517.292	1525.37	10089.8
SLE_fre_gr3_Fre/avv_171	39977.6	1192.8	347.149	18819.4	6721.82
SLE_fre_gr4_centrif_172	39977.6	1192.8	607.304	18819.4	11788.2
SLE_fre_gr1+vento_173	39977.6	598.187	768.69	10345.4	14849.1
SLE_fre_gr2+vento_174	36164.2	1.78689	707.675	1550.03	13563.9
SLE_fre_gr3+vento_175	39977.6	1194.59	537.533	18844.1	10195.9
SLE_fre_gr4+vento_176	39977.6	1194.59	797.688	18844.1	15262.3
SLE_fre_vento_gr1_177	35820.2	4.46722	537.801	1539.02	9566.49

SLE_fre_vento_gr2_178	35820.2	4.46722	537.801	1539.02	9566.49
SLE_fre_vento_gr3_179	35820.2	4.46722	537.801	1539.02	9566.49
SLE_fre_vento_gr4_180	35820.2	4.46722	537.801	1539.02	9566.49
SLE_fre_gr1_temp181	35820.2	1.78689	264.594	1502.03	4531.6
SLE_fre_gr2_temp182	35820.2	1.78689	264.594	1502.03	4531.6
SLE_fre_gr3_temp183	35820.2	1.78689	264.594	1502.03	4531.6
SLE_fre_gr3_temp184	35820.2	1.78689	264.594	1502.03	4531.6
SLE_qp_gr1_Treno_186	35820.2	0	61.8422	1477.37	881.251
SLE_qp_gr2_Scarico_187	35820.2	0	61.8422	1477.37	881.251
SLE_qp_gr3_Fre/avv_188	35820.2	0	61.8422	1477.37	881.251
SLE_qp_gr4_centrif_189	35820.2	0	61.8422	1477.37	881.251
SLE_qp_gr1+vento_190	35820.2	1.78689	252.226	1502.03	4355.35
SLE_qp_gr2+vento_191	35820.2	1.78689	252.226	1502.03	4355.35
SLE_qp_gr3+vento_192	35820.2	1.78689	252.226	1502.03	4355.35
SLE_qp_gr4+vento_193	35820.2	1.78689	252.226	1502.03	4355.35
SLE_qp_vento_gr1_194	35820.2	1.78689	252.226	1502.03	4355.35
SLE_qp_vento_gr2_195	35820.2	1.78689	252.226	1502.03	4355.35
SLE_qp_vento_gr3_196	35820.2	1.78689	252.226	1502.03	4355.35
SLE_qp_vento_gr4_197	35820.2	1.78689	252.226	1502.03	4355.35
SLE_qp_gr1_temp198	35820.2	0	61.8422	1477.37	881.251
SLE_qp_gr2_temp199	35820.2	0	61.8422	1477.37	881.251
SLE_qp_gr3_temp200	35820.2	0	61.8422	1477.37	881.251
SLE_qp_gr3_temp201	35820.2	0	61.8422	1477.37	881.251
E_103x_SLV_q=1.5_202	36683.9	5985.74	1660.89	68195.2	19595
E_103y_SLV_q=1.5_203	36683.9	2756.62	3988.14	24375.4	58631.2
E_103z_SLV_q=1.5_204	38699.3	2756.62	1660.89	24375.4	19595
E_103x_SLV_q=1.36_205	36683.9	6447.04	1760.63	74455.2	21267.9
E_103y_SLV_q=1.36_206	36683.9	2895.02	4320.6	26253.4	64207.8
E_103z_SLV_q=1.36_207	38699.3	2895.02	1760.63	26253.4	21267.9
E_103x_SLV_q=1_208	36683.9	8299.16	2159.6	99596.9	27967.2
E_103y_SLV_q=1_209	36683.9	3450.65	5650.5	33795.9	86538.6
E_103z_SLV_q=1_210	38699.3	3450.65	2159.6	33795.9	27967.2
E_103x_SLD_q=1_211	36105.4	4136.44	1094.46	52883.8	13539.2
E_103y_SLD_q=1_212	36105.4	1720.21	2581.64	18337.1	39890.3
E_103z_SLD_q=1_213	36771	1720.21	1094.46	18337.1	13539.2

 ITAFERR GRUPPO FERROVIE DELLO STATO ITALIANE	DIRETTRICE FERROVIARIA MESSINA - CATANIA - PALERMO NUOVO COLLEGAMENTO PALERMO - CATANIA PROGETTO DEFINITIVO VI11 - Viadotto ferroviario a Singolo binario – sviluppo complessivo 885 m					
	<i>Progetto definitivo</i> <i>Relazione di calcolo Pile – P13</i>	COMMESSA RS3T	LOTTO 30	CODIFICA D09CL	DOCUMENTO VI1105005	REV. B

6.2 Tabelle riassuntive, massime sollecitazioni

6.2.1 Stati limiti di esercizio

Configurazione1

TESTA PILA						
combo		N	Tlong	Ttras	Mlong	Mtras
SLE_rar_gr1_Treno_14		16079.9	745.5	776.825	2243.65	4267.25
SLE_rar_gr3+vento_20		16079.9	1496.36	1059.03	2579.12	4978.62
SLE_rar_vento_gr4_25		15040.5	1201.73	1588.22	2358.77	7654.48
SLE_rar_gr3_Fre/avv_16		16079.9	1491	487.879	2579.12	2438.22
SLE_rar_vento_gr4_25		15040.5	1201.73	1588.22	2358.77	7654.48
SLE_rar_gr4_centrif_17		15040.5	1192.8	636.302	2358.77	3420.48
SLE_rar_vento_gr4_25		15040.5	1201.73	636.302	2358.77	7654.48
SLE_rar_vento_gr4_25		15040.5	1201.73	1588.22	2358.77	7654.48
SLE_rar_gr4_centrif_17		15040.5	1192.8	636.302	2358.77	3420.48
SLE_rar_vento_gr4_25		15040.5	1201.73	1588.22	2358.77	7654.48
SLE_qp_gr1_Treno_44		10883.1	0	61.8422	1477.37	27.829
SLE_qp_gr1+vento_48		10883.1	1.78689	252.226	1477.37	874.629
SLE_qp_gr1+vento_48		10883.1	1.78689	252.226	1477.37	874.629
SLE_qp_gr1_Treno_44		10883.1	0	61.8422	1477.37	27.829
SLE_qp_gr1+vento_48		10883.1	1.78689	252.226	1477.37	874.629
E_103x_SLD_q=1_69		11029.5	3256.81	947.032	0	0
E_103y_SLD_q=1_70		11029.5	978.293	2568.25	0	0
E_103z_SLD_q=1_71		11371.1	978.293	947.032	0	0

BASE PILA						
combo	N	Tlong	Ttras	Mlong	Mtras	
SLE_rar_gr1_Treno_14	20388.5	745.5	776.825	10295	12657	
SLE_rar_gr3+vento_20	20388.5	1496.36	1059.03	18739.8	16416.1	
SLE_rar_vento_gr4_25	19349.2	1201.73	1588.22	15337.5	24807.3	
SLE_rar_gr3+vento_20	20388.5	1496.36	1059.03	18739.8	16416.1	
SLE_rar_vento_gr4_25	19349.2	1201.73	1588.22	15337.5	24807.3	
SLE_rar_gr4_centrif_17	19349.2	1192.8	636.302	15241	10292.5	
SLE_rar_vento_gr4_25	19349.2	1201.73	1588.22	15337.5	24807.3	
SLE_rar_vento_gr4_25	19349.2	1201.73	1588.22	15337.5	24807.3	
SLE_rar_vento_gr4_25	19349.2	1201.73	1588.22	15337.5	24807.3	
SLE_rar_vento_gr4_25	19349.2	1201.73	1588.22	15337.5	24807.3	
SLE_qp_gr1_Treno_44	15191.8	0	61.8422	1477.37	695.725	
SLE_qp_gr1+vento_48	15191.8	1.78689	252.226	1496.67	3598.67	
SLE_qp_gr1+vento_48	15191.8	1.78689	252.226	1496.67	3598.67	
SLE_qp_gr1+vento_48	15191.8	1.78689	252.226	1496.67	3598.67	
SLE_qp_gr1+vento_48	15191.8	1.78689	252.226	1496.67	3598.67	
E_103x_SLD_q=1_69	15338.2	3256.81	947.032	35886.9	10446.6	
E_103y_SLD_q=1_70	15338.2	978.293	2568.25	11800.2	32781.3	
E_103z_SLD_q=1_71	15679.8	978.293	947.032	11800.2	10446.6	

BASE FONDAZIONE						
combo	N	Tlong	Ttras	Mlong	Mtras	
SLE_rar_gr1_Treno_14	41016.9	745.5	776.825	12531.5	14987.4	
SLE_rar_gr3+vento_20	41016.9	1496.36	1059.03	23228.9	19593.2	
SLE_rar_vento_gr4_25	39977.6	1201.73	1588.22	18942.7	29571.9	
SLE_rar_gr3+vento_20	41016.9	1496.36	1059.03	23228.9	19593.2	
SLE_rar_vento_gr4_25	39977.6	1201.73	1588.22	18942.7	29571.9	
SLE_rar_gr4_centrif_17	39977.6	1192.8	636.302	18819.4	12201.4	
SLE_rar_vento_gr4_25	39977.6	1201.73	1588.22	18942.7	29571.9	
SLE_rar_vento_gr4_25	39977.6	1201.73	1588.22	18942.7	29571.9	
SLE_rar_vento_gr4_25	39977.6	1201.73	1588.22	18942.7	29571.9	
SLE_rar_vento_gr4_25	39977.6	1201.73	1588.22	18942.7	29571.9	
SLE_qp_gr1_Treno_44	35820.2	0	61.8422	1477.37	881.251	
SLE_qp_gr1+vento_48	35820.2	1.78689	252.226	1502.03	4355.35	
SLE_qp_gr1+vento_48	35820.2	1.78689	252.226	1502.03	4355.35	
SLE_qp_gr1+vento_48	35820.2	1.78689	252.226	1502.03	4355.35	
SLE_qp_gr1+vento_48	35820.2	1.78689	252.226	1502.03	4355.35	
E_103x_SLD_q=1_69	36068.9	3939.7	1151.9	47706	13902.3	
E_103y_SLD_q=1_70	36068.9	1661.19	2773.11	16783.8	41100.6	
E_103z_SLD_q=1_71	36649.3	1661.19	1151.9	16783.8	13902.3	

Configurazione2

TESTA PILA							
combo		N	Tlong	Ttras	Mlong	Mtras	
SLE_rar_gr1_Treno_85		14239.6	745.5	732.658	5840.58	4063.35	
SLE_rar_gr3+vento_91		14239.6	1496.36	1014.86	6176.05	4774.72	
SLE_rar_vento_gr4_96		13568.3	1201.73	1552.89	5236.31	7491.36	
SLE_rar_gr3_Fre/avv_87		14239.6	1491	443.711	6176.05	2234.32	
SLE_rar_vento_gr4_96		13568.3	1201.73	1552.89	5236.31	7491.36	
SLE_rar_gr4_centrif_88		13568.3	1192.8	600.968	5236.31	3257.36	
SLE_rar_vento_gr4_96		13568.3	1201.73	1552.89	5236.31	7491.36	
SLE_rar_vento_gr4_96		13568.3	1201.73	1552.89	5236.31	7491.36	
SLE_rar_gr4_centrif_88		13568.3	1192.8	600.968	5236.31	3257.36	
SLE_rar_vento_gr4_96		13568.3	1201.73	1552.89	5236.31	7491.36	
SLE_qp_gr1_Treno_115		10883.1	0	61.8422	1477.37	27.829	
SLE_qp_gr1+vento_119		10883.1	1.78689	252.226	1477.37	874.629	
SLE_qp_gr1+vento_119		10883.1	1.78689	252.226	1477.37	874.629	
SLE_qp_gr1_Treno_115		10883.1	0	61.8422	1477.37	27.829	
SLE_qp_gr1+vento_119		10883.1	1.78689	252.226	1477.37	874.629	
E_103x_SLD_q=1_140		11066.1	3453.55	889.588	0	0	
E_103y_SLD_q=1_141		11066.1	1037.32	2376.77	0	0	
E_103z_SLD_q=1_142		11492.9	1037.32	889.588	0	0	

BASE PILA						
combo	N	Tlong	Ttras	Mlong	Mtras	
SLE_rar_gr1_Treno_85	18548.2	745.5	776.825	10295	12657	
SLE_rar_gr3+vento_91	18548.2	1496.36	1014.86	22336.7	15735.2	
SLE_rar_vento_gr4_96	17876.9	1201.73	1552.89	18215	24262.5	
SLE_rar_gr3+vento_91	18548.2	1496.36	1014.86	22336.7	15735.2	
SLE_rar_vento_gr4_96	17876.9	1201.73	1552.89	18215	24262.5	
SLE_rar_gr4_centrif_88	17876.9	1192.8	600.968	18118.6	9747.81	
SLE_rar_vento_gr4_96	17876.9	1201.73	1552.89	18215	24262.5	
SLE_rar_vento_gr4_96	17876.9	1201.73	1552.89	18215	24262.5	
SLE_rar_vento_gr4_96	17876.9	1201.73	1552.89	18215	24262.5	
SLE_rar_vento_gr4_96	17876.9	1201.73	1552.89	18215	24262.5	
SLE_qp_gr1_Treno_115	15191.8	0	61.8422	1477.37	695.725	
SLE_qp_gr1+vento_119	15191.8	1.78689	252.226	1496.67	3598.67	
SLE_qp_gr1+vento_119	15191.8	1.78689	252.226	1496.67	3598.67	
SLE_qp_gr1+vento_119	15191.8	1.78689	252.226	1496.67	3598.67	
SLE_qp_gr1+vento_119	15191.8	1.78689	252.226	1496.67	3598.67	
E_103x_SLD_q=1_140	15374.7	3453.55	889.588	40474.4	10255.8	
E_103y_SLD_q=1_141	15374.7	1037.32	2376.77	13176.5	32145.3	
E_103z_SLD_q=1_142	15801.6	1037.32	889.588	13176.5	10255.8	


BASE FONDAZIONE						
combo	N	Tlong	Ttras	Mlong	Mtras	
SLE_rar_gr1_Treno_85	39176.6	745.5	776.825	12531.5	14987.4	
SLE_rar_gr3+vento_91	39176.6	1496.36	1014.86	26825.8	18779.8	
SLE_rar_vento_gr4_96	38505.3	1201.73	1552.89	21820.2	28921.2	
SLE_rar_gr3+vento_91	39176.6	1496.36	1014.86	26825.8	18779.8	
SLE_rar_vento_gr4_96	38505.3	1201.73	1552.89	21820.2	28921.2	
SLE_rar_gr4_centrif_88	38505.3	1192.8	600.968	21697	11550.7	
SLE_rar_vento_gr4_96	38505.3	1201.73	1552.89	21820.2	28921.2	
SLE_rar_vento_gr4_96	38505.3	1201.73	1552.89	21820.2	28921.2	
SLE_rar_vento_gr4_96	38505.3	1201.73	1552.89	21820.2	28921.2	
SLE_rar_vento_gr4_96	38505.3	1201.73	1552.89	21820.2	28921.2	
SLE_qp_gr1_Treno_115	35820.2	0	61.8422	1477.37	881.251	
SLE_qp_gr1+vento_119	35820.2	1.78689	252.226	1502.03	4355.35	
SLE_qp_gr1+vento_119	35820.2	1.78689	252.226	1502.03	4355.35	
SLE_qp_gr1+vento_119	35820.2	1.78689	252.226	1502.03	4355.35	
SLE_qp_gr1+vento_119	35820.2	1.78689	252.226	1502.03	4355.35	
E_103x_SLD_q=1_140	36105.4	4136.44	1094.46	52883.8	13539.2	
E_103y_SLD_q=1_141	36105.4	1720.21	2581.64	18337.1	39890.3	
E_103z_SLD_q=1_142	36771	1720.21	1094.46	18337.1	13539.2	

Configurazione3

TESTA PILA						
combo	N	Tlong	Ttras	Mlong	Mtras	
SLE_rar_gr1_Treno_156	16079.9	745.5	776.825	2243.65	4267.25	
SLE_rar_gr3+vento_162	16079.9	1496.36	1059.03	2579.12	4978.62	
SLE_rar_vento_gr4_167	15040.5	1201.73	1588.22	2358.77	7654.48	
SLE_rar_gr3_Fre/avv_158	16079.9	1491	487.879	2579.12	2438.22	
SLE_rar_vento_gr4_167	15040.5	1201.73	1588.22	2358.77	7654.48	
SLE_rar_gr4_centrif_159	15040.5	1192.8	636.302	2358.77	3420.48	
SLE_rar_vento_gr4_167	15040.5	1201.73	1588.22	2358.77	7654.48	
SLE_rar_vento_gr4_167	15040.5	1201.73	1588.22	2358.77	7654.48	
SLE_rar_gr4_centrif_159	15040.5	1192.8	636.302	2358.77	3420.48	
SLE_rar_vento_gr4_167	15040.5	1201.73	1588.22	2358.77	7654.48	
SLE_qp_gr1_Treno_186	10883.1	0	61.8422	1477.37	27.829	
SLE_qp_gr1+vento_190	10883.1	1.78689	252.226	1477.37	874.629	
SLE_qp_gr1+vento_190	10883.1	1.78689	252.226	1477.37	874.629	
SLE_qp_gr1_Treno_186	10883.1	0	61.8422	1477.37	27.829	
SLE_qp_gr1+vento_190	10883.1	1.78689	252.226	252.226	874.629	
E_103x_SLD_q=1_211	11066.1	3453.55	889.588	0	0	
E_103y_SLD_q=1_212	11066.1	1037.32	2376.77	0	0	
E_103z_SLD_q=1_213	11492.9	1037.32	889.588	0	0	

BASE PILA						
combo	N	Tlong	Ttras	Mlong	Mtras	
SLE_rar_gr1_Treno_156	20388.5	745.5	776.825	10295	12657	
SLE_rar_gr3+vento_162	20388.5	1496.36	1059.03	18739.8	16416.1	
SLE_rar_vento_gr4_167	19349.2	1201.73	1588.22	15337.5	24807.3	
SLE_rar_gr3+vento_162	20388.5	1496.36	1059.03	18739.8	16416.1	
SLE_rar_vento_gr4_167	19349.2	1201.73	1588.22	15337.5	24807.3	
SLE_rar_gr4_centrif_159	19349.2	1192.8	636.302	15241	10292.5	
SLE_rar_vento_gr4_167	19349.2	1201.73	1588.22	15337.5	24807.3	
SLE_rar_vento_gr4_167	19349.2	1201.73	1588.22	15337.5	24807.3	
SLE_rar_vento_gr4_167	19349.2	1201.73	1588.22	15337.5	24807.3	
SLE_rar_vento_gr4_167	19349.2	1201.73	1588.22	15337.5	24807.3	
SLE_qp_gr1_Treno_186	15191.8	0	61.8422	1477.37	695.725	
SLE_qp_gr1+vento_190	15191.8	1.78689	252.226	1496.67	3598.67	
SLE_qp_gr1+vento_190	15191.8	1.78689	252.226	1496.67	3598.67	
SLE_qp_gr1+vento_190	15191.8	1.78689	252.226	1496.67	3598.67	
SLE_qp_gr1+vento_190	15191.8	1.78689	252.226	252.226	3598.67	
E_103x_SLD_q=1_211	15374.7	3453.55	889.588	40474.4	10255.8	
E_103y_SLD_q=1_212	15374.7	1037.32	2376.77	13176.5	32145.3	
E_103z_SLD_q=1_213	15801.6	1037.32	889.588	13176.5	10255.8	

BASE FONDAZIONE						
combo	N	Tlong	Ttras	Mlong	Mtras	
SLE_rar_gr1_Treno_156	41016.9	745.5	776.825	12531.5	14987.4	
SLE_rar_gr3+vento_162	41016.9	1496.36	1059.03	23228.9	19593.2	
SLE_rar_vento_gr4_167	39977.6	1201.73	1588.22	18942.7	29571.9	
SLE_rar_gr3+vento_162	41016.9	1496.36	1059.03	23228.9	19593.2	
SLE_rar_vento_gr4_167	39977.6	1201.73	1588.22	18942.7	29571.9	
SLE_rar_gr4_centrif_159	39977.6	1192.8	636.302	18819.4	12201.4	
SLE_rar_vento_gr4_167	39977.6	1201.73	1588.22	18942.7	29571.9	
SLE_rar_vento_gr4_167	39977.6	1201.73	1588.22	18942.7	29571.9	
SLE_rar_vento_gr4_167	39977.6	1201.73	1588.22	18942.7	29571.9	
SLE_rar_vento_gr4_167	39977.6	1201.73	1588.22	18942.7	29571.9	
SLE_qp_gr1_Treno_186	35820.2	0	61.8422	1477.37	881.251	
SLE_qp_gr1+vento_190	35820.2	1.78689	252.226	1502.03	4355.35	
SLE_qp_gr1+vento_190	35820.2	1.78689	252.226	1502.03	4355.35	
SLE_qp_gr1+vento_190	35820.2	1.78689	252.226	1502.03	4355.35	
SLE_qp_gr1+vento_190	35820.2	1.78689	252.226	252.226	4355.35	
E_103x_SLD_q=1_211	36105.4	4136.44	1094.46	52883.8	13539.2	
E_103y_SLD_q=1_212	36105.4	1720.21	2581.64	18337.1	39890.3	
E_103z_SLD_q=1_213	36771	1720.21	1094.46	18337.1	13539.2	

 ITALFERR GRUPPO FERROVIE DELLO STATO ITALIANE	DIRETTRICE FERROVIARIA MESSINA - CATANIA - PALERMO NUOVO COLLEGAMENTO PALERMO - CATANIA PROGETTO DEFINITIVO VI11 - Viadotto ferroviario a Singolo binario – sviluppo complessivo 885 m					
	<i>Progetto definitivo</i> <i>Relazione di calcolo Pile – P13</i>	COMMESSA RS3T	LOTTO 30	CODIFICA D09CL	DOCUMENTO VI1105005	REV. B

6.2.2 Stati limiti ultimi

Configurazione1


TESTA PILA						
		N	Tlong	Ttras	Mlong	Mtras
A1_SLU_gr1_Treno_1		22995.8	1080.98	1220.53	3186.2	6229.88
A1_SLU_gr3+vento_7		22995.8	2169.99	1658.28	3672.64	7388.38
A1_SLU_vento_gr4_12		21488.8	1742.96	2426.56	3353.13	11344.9
A1_SLU_gr3_Fre/avv_3		22995.8	2161.95	801.558	3672.64	3577.78
A1_SLU_vento_gr4_12		21488.8	1742.96	2426.56	3353.13	11344.9
E_103x_SLV_q=1.5_60		11455.8	4614.81	1249.61	0	0
E_103y_SLV_q=1.5_61		11455.8	1385.69	3576.86	0	0
E_103z_SLV_q=1.5_62		12792.1	1385.69	1249.61	0	0
E_103x_SLV_q=1_66		11455.8	6928.23	1748.32	0	0
E_103y_SLV_q=1_67		11455.8	2079.72	5239.22	0	0
E_103z_SLV_q=1_68		12792.1	2079.72	1748.32	0	0
BASE PILA						
		N	Tlong	Ttras	Mlong	Mtras
A1_SLU_gr1_Treno_1		28812.5	1080.98	1220.53	14860.7	19411.6
A1_SLU_gr3+vento_7		28812.5	2169.99	1658.28	27108.5	25297.9
A1_SLU_vento_gr4_12		27305.4	1742.96	2426.56	22177.1	37551.8
A1_SLU_gr3+vento_7		28812.5	2169.99	1658.28	27108.5	25297.9
A1_SLU_vento_gr4_12		27305.4	1742.96	2426.56	22177.1	37551.8
E_103x_SLV_q=1.5_60		15764.5	4614.81	1249.61	50238	14612.3
E_103y_SLV_q=1.5_61		15764.5	1385.69	3576.86	16105.6	46666.8
E_103z_SLV_q=1.5_62		17100.7	1385.69	1249.61	16105.6	14612.3
E_103x_SLV_q=1_66		15764.5	6928.23	1748.32	74699.4	21488.4
E_103y_SLV_q=1_67		15764.5	2079.72	5239.22	23444	69587.1
E_103z_SLV_q=1_68		17100.7	2079.72	1748.32	23444	21488.4
BASE FONDAZIONE						
		N	Tlong	Ttras	Mlong	Mtras
A1_SLU_gr1_Treno_1		56660.8	1080.98	1220.53	18103.7	23073.2
A1_SLU_gr3+vento_7		56660.8	2169.99	1658.28	33618.5	30272.7
A1_SLU_vento_gr4_12		55153.8	1742.96	2426.56	27406	44831.5
A1_SLU_gr3+vento_7		56660.8	2169.99	1658.28	33618.5	30272.7
A1_SLU_vento_gr4_12		55153.8	1742.96	2426.56	27406	44831.5
E_103x_SLV_q=1.36_63		36683.9	6447.04	1760.63	74455.2	21267.9
E_103y_SLV_q=1.36_64		36683.9	2895.02	4320.6	26253.4	64207.8
E_103z_SLV_q=1.36_65		38699.3	2895.02	1760.63	26253.4	21267.9
E_103x_SLV_q=1_66		36683.9	8299.16	2159.6	99596.9	27967.2
E_103y_SLV_q=1_67		36683.9	3450.65	5650.5	33795.9	86538.6
E_103z_SLV_q=1_68		38699.3	3450.65	2159.6	33795.9	27967.2

Configurazione2

TESTA PILA						
	N	Tlong	Ttras	Mlong	Mtras	
A1_SLU_gr1_Treno_72	20327.4	1080.98	1124.47	8401.74	5919.81	
A1_SLU_gr3+vento_78	20327.4	2169.99	1562.22	8888.18	7078.31	
A1_SLU_vento_gr4_83	19354	1742.96	2349.71	7525.57	11096.9	
A1_SLU_gr3_Fre/avv_74	20327.4	2161.95	705.494	8888.18	3267.71	
A1_SLU_vento_gr4_83	19354	1742.96	2349.71	7525.57	11096.9	
E_103x_SLV_q=1.5_131	11455.8	4614.81	1249.61	0	0	
E_103y_SLV_q=1.5_132	11455.8	1385.69	3576.86	0	0	
E_103z_SLV_q=1.5_133	12792.1	1385.69	1249.61	0	0	
E_103x_SLV_q=1_137	11455.8	6928.23	1748.32	0	0	
E_103y_SLV_q=1_138	11455.8	2079.72	5239.22	0	0	
E_103z_SLV_q=1_139	12792.1	2079.72	1748.32	0	0	
BASE PILA						
	N	Tlong	Ttras	Mlong	Mtras	
A1_SLU_gr1_Treno_72	26144.1	1080.98	1124.47	20076.3	18064	
A1_SLU_gr3+vento_78	26144.1	2169.99	1562.22	32324.1	23950.3	
A1_SLU_vento_gr4_83	25170.7	1742.96	2349.71	26349.6	36473.8	
A1_SLU_gr3+vento_78	26144.1	2169.99	1562.22	32324.1	23950.3	
A1_SLU_vento_gr4_83	25170.7	1742.96	2349.71	26349.6	36473.8	
E_103x_SLV_q=1.5_131	15764.5	4614.81	1249.61	50238	14612.3	
E_103y_SLV_q=1.5_132	15764.5	1385.69	3576.86	16105.6	46666.8	
E_103z_SLV_q=1.5_133	17100.7	1385.69	1249.61	16105.6	14612.3	
E_103x_SLV_q=1_137	15764.5	6928.23	1748.32	74699.4	21488.4	
E_103y_SLV_q=1_138	15764.5	2079.72	5239.22	23444	69587.1	
E_103z_SLV_q=1_139	17100.7	2079.72	1748.32	23444	21488.4	
BASE FONDAZIONE						
	N	Tlong	Ttras	Mlong	Mtras	
A1_SLU_gr1_Treno_72	53992.4	1080.98	1124.47	23319.2	21437.4	
A1_SLU_gr3+vento_78	53992.4	2169.99	1562.22	38834.1	28637	
A1_SLU_vento_gr4_83	53019	1742.96	2349.71	31578.4	43522.9	
A1_SLU_gr3+vento_78	53992.4	2169.99	1562.22	38834.1	28637	
A1_SLU_vento_gr4_83	53019	1742.96	2349.71	31578.4	43522.9	
E_103x_SLV_q=1.36_134	36683.9	6447.04	1760.63	74455.2	21267.9	
E_103y_SLV_q=1.36_135	36683.9	2895.02	4320.6	26253.4	64207.8	
E_103z_SLV_q=1.36_136	38699.3	2895.02	1760.63	26253.4	21267.9	
E_103x_SLV_q=1_137	36683.9	8299.16	2159.6	99596.9	27967.2	
E_103y_SLV_q=1_138	36683.9	3450.65	5650.5	33795.9	86538.6	
E_103z_SLV_q=1_139	38699.3	3450.65	2159.6	33795.9	27967.2	

Configurazione3

TESTA PILA						
	N	Tlong	Ttras	Mlong	Mtras	
A1_SLU_gr1_Treno_143	22995.8	1080.98	1220.53	3186.2	6229.88	
A1_SLU_gr3+vento_149	22995.8	2169.99	1658.28	3672.64	7388.38	
A1_SLU_vento_gr4_154	21488.8	1742.96	2426.56	3353.13	11344.9	
A1_SLU_gr3_Fre/avv_145	22995.8	2161.95	801.558	3672.64	3577.78	
A1_SLU_vento_gr4_154	21488.8	1742.96	2426.56	3353.13	11344.9	
E_103x_SLV_q=1.5_202	11455.8	4614.81	1249.61	0	0	
E_103y_SLV_q=1.5_203	11455.8	1385.69	3576.86	0	0	
E_103z_SLV_q=1.5_204	12792.1	1385.69	1249.61	0	0	
E_103x_SLV_q=1_208	11455.8	6928.23	1748.32	0	0	
E_103y_SLV_q=1_209	11455.8	2079.72	5239.22	0	0	
E_103z_SLV_q=1_210	12792.1	2079.72	1748.32	0	0	
BASE PILA						
	N	Tlong	Ttras	Mlong	Mtras	
A1_SLU_gr1_Treno_143	28812.5	1080.98	1220.53	14860.7	19411.6	
A1_SLU_gr3+vento_149	28812.5	2169.99	1658.28	27108.5	25297.9	
A1_SLU_vento_gr4_154	27305.4	1742.96	2426.56	22177.1	37551.8	
A1_SLU_gr3+vento_149	28812.5	2169.99	1658.28	27108.5	25297.9	
A1_SLU_vento_gr4_154	27305.4	1742.96	2426.56	22177.1	37551.8	
E_103x_SLV_q=1.5_202	15764.5	4614.81	1249.61	50238	14612.3	
E_103y_SLV_q=1.5_203	15764.5	1385.69	3576.86	16105.6	46666.8	
E_103z_SLV_q=1.5_204	17100.7	1385.69	1249.61	16105.6	14612.3	
E_103x_SLV_q=1_208	15764.5	6928.23	1748.32	74699.4	21488.4	
E_103y_SLV_q=1_209	15764.5	2079.72	5239.22	23444	69587.1	
E_103z_SLV_q=1_210	17100.7	2079.72	1748.32	23444	21488.4	
BASE FONDAZIONE						
	N	Tlong	Ttras	Mlong	Mtras	
A1_SLU_gr1_Treno_143	56660.8	1080.98	1220.53	18103.7	23073.2	
A1_SLU_gr3+vento_149	56660.8	2169.99	1658.28	33618.5	30272.7	
A1_SLU_vento_gr4_154	55153.8	1742.96	2426.56	27406	44831.5	
A1_SLU_gr3+vento_149	56660.8	2169.99	1658.28	33618.5	30272.7	
A1_SLU_vento_gr4_154	55153.8	1742.96	2426.56	27406	44831.5	
E_103x_SLV_q=1.36_205	36683.9	6447.04	1760.63	74455.2	21267.9	
E_103y_SLV_q=1.36_206	36683.9	2895.02	4320.6	26253.4	64207.8	
E_103z_SLV_q=1.36_207	38699.3	2895.02	1760.63	26253.4	21267.9	
E_103x_SLV_q=1_208	36683.9	8299.16	2159.6	99596.9	27967.2	
E_103y_SLV_q=1_209	36683.9	3450.65	5650.5	33795.9	86538.6	
E_103z_SLV_q=1_210	38699.3	3450.65	2159.6	33795.9	27967.2	

 ITALFERR GRUPPO FERROVIE DELLO STATO ITALIANE	DIRETTRICE FERROVIARIA MESSINA - CATANIA - PALERMO NUOVO COLLEGAMENTO PALERMO - CATANIA PROGETTO DEFINITIVO VI11 - Viadotto ferroviario a Singolo binario – sviluppo complessivo 885 m					
	<i>Progetto definitivo</i> <i>Relazione di calcolo Pile – P13</i>	COMMESSA RS3T	LOTTO 30	CODIFICA D09CL	DOCUMENTO VI1105005	REV. B

7. VERIFICHE STRUTTURALI

Le armature di calcolo derivanti dalle verifiche di resistenza e di esercizio soddisfano le quantità minime indicate dalla normativa, si riepilogano i quantitativi di ciascun elemento.

elemento	arm. flessionale	staffe	c.f
fusto	212 Φ 30 interasse 10 cm*	Φ 12/15	8.7 cm
plinto	Trasv: 4 strati Φ 30/10 Long 3 strati Φ 30/10	-	8.7 cm
pali	36 Φ 30 interasse 15 cm*	Φ 12/20	9.7 cm

**è riferito alla corona esterna di armatura mentre, l'interasse della corona interna è funzione dell'allineamento con quella esterna. È comunque rispettato l'interasse minimo.*

Le spille adottate sono disposte nel rispetto della norma vigente.


8. FUSTO PILA

Secondo quanto riportano al paragrafo 7.3 e 7.3.6.1 delle Norme Tecniche delle Costruzioni 2018, adottando un fattore di comportamento pari a 1.5, la struttura può essere progettata come non dissipativa:

Tab. 7.3.I – Limiti su q e modalità di modellazione dell'azione sismica

STATI LIMITE		Lineare (Dinamica e Statica)		Non Lineare	
		Dissipativo	Non Dissipativo	Dinamica	Statica
SLE	SLO	$q = 1.0$ § 3.2.3.4	$q = 1.0$ § 3.2.3.4	§ 7.3.4.1	§ 7.3.4.2
	SLD	$q \leq 1,5$ § 3.2.3.5	$q \leq 1,5$ § 3.2.3.5		
SLU	SLV	$q \geq 1,5$ § 3.2.3.5	$q \leq 1,5$ § 3.2.3.5		
	SLC	---	---		

“Nel caso di analisi lineare la verifica di duttilità si può ritenere soddisfatta, rispettando per tutti gli elementi strutturali, sia primari sia secondari, le regole specifiche per i dettagli costruttivi precisate nel presente capitolo per le

	DIRETTRICE FERROVIARIA MESSINA - CATANIA - PALERMO NUOVO COLLEGAMENTO PALERMO - CATANIA PROGETTO DEFINITIVO VI11 - Viadotto ferroviario a Singolo binario – sviluppo complessivo 885 m					
	Progetto definitivo Relazione di calcolo Pile – P13	COMMESSA RS3T	LOTTO 30	CODIFICA D09CL	DOCUMENTO VI1105005	REV. B


diverse tipologie costruttive; tali regole sono da considerarsi aggiuntive rispetto a quanto previsto nel Cap. 4 e a quanto imposto dalle regole della progettazione in capacità, il cui rispetto è comunque obbligatorio per gli elementi strutturali primari delle strutture a comportamento dissipativo.

Per strutture a comportamento dissipativo, qualora non siano rispettate le regole specifiche dei dettagli costruttivi, quali precisate nel presente capitolo, occorrerà procedere a verifiche di duttilità. diversamente specificato nei paragrafi successivi relativi alle diverse tipologie costruttive, accertando che la capacità in duttilità della costruzione sia almeno pari:

- a 1,2 volte la domanda in duttilità locale, valutata in corrispondenza dello SLV, nel caso si utilizzino modelli lineari,

- alla domanda in duttilità locale e globale allo SLC, nel caso si utilizzino modelli non lineari.

Le verifiche di duttilità non sono dovute nel caso di progettazione con $q \leq 1,5$.

 ITALFERR GRUPPO FERROVIE DELLO STATO ITALIANE	DIRETTRICE FERROVIARIA MESSINA - CATANIA - PALERMO NUOVO COLLEGAMENTO PALERMO - CATANIA PROGETTO DEFINITIVO VI11 - Viadotto ferroviario a Singolo binario – sviluppo complessivo 885 m					
	<i>Progetto definitivo</i> <i>Relazione di calcolo Pile – P13</i>	COMMESSA RS3T	LOTTO 30	CODIFICA D09CL	DOCUMENTO VI1105005	REV. B

8.1 Modellazione

La geometria della sezione della pila è stata implementata all'interno del software di calcolo RC-SEC con i relativi ferri di armatura longitudinale.

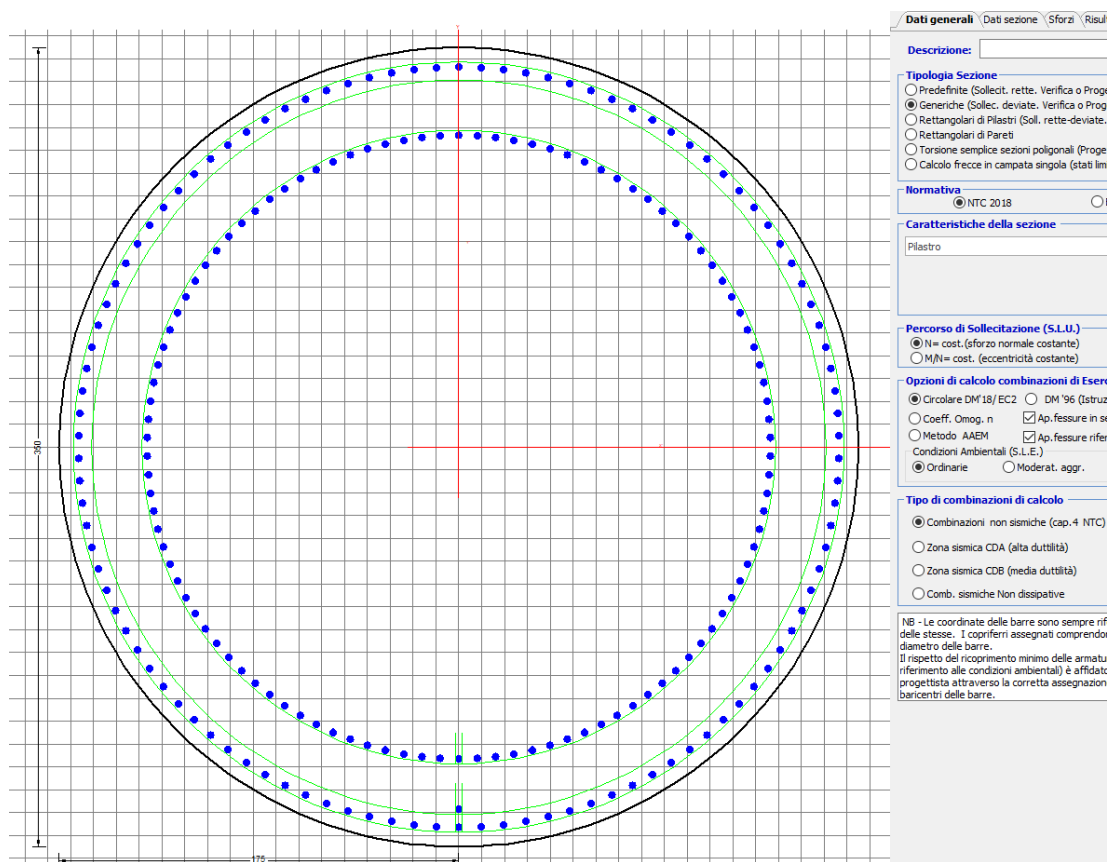


Figura 12 - Sezione implementata in RC-SEC

Per un totale di ferri 212 di diametro $\Phi 30$ che corrispondono ad un passo di 10cm lungo il bordo esterno e speculari all'interno della sezione.

8.2 Verifica a presso flessione

DATI GENERALI SEZIONE GENERICA IN C.A. NOME SEZIONE: Circolare 3.5m

Descrizione Sezione:	
Metodo di calcolo resistenza:	Resistenze agli Stati Limite Ultimi
Tipologia sezione:	Sezione generica di Pilastro
Normativa di riferimento:	N.T.C.
Percorso sollecitazione:	A Sforzo Norm. costante
Condizioni Ambientali:	Poco aggressive

Riferimento Sforzi assegnati:

Assi baric. X',Y' // assi coordinate.

Riferimento alla sismicità:

Zona non sismica

CARATTERISTICHE DI RESISTENZA DEI MATERIALI IMPIEGATI

CALCESTRUZZO -	Classe:	C32/40	
	Resist. compr. di progetto fcd:	18.130	MPa
	Def.unit. max resistenza ec2:	0.0020	
	Def.unit. ultima ecu:	0.0035	
	Diagramma tensione-deformaz.:	Parabola-Rettangolo	
	Modulo Elastico Normale Ec:	3334.6	MPa
	Resis. media a trazione fctm:	3.000	MPa
	Coeff. Omogen. S.L.E.:	15.00	
	Coeff. Omogen. S.L.E.:	15.00	
	Sc limite S.L.E. comb. Frequenti:	176.00	daN/cm ²
	Ap.Fessure limite S.L.E. comb. Frequenti:	0.200	mm
	Sc limite S.L.E. comb. Q.Permanenti:	0.00	Mpa
	Ap.Fess.limite S.L.E. comb. Q.Perm.:	0.200	mm

ACCIAIO -	Tipo:	B450C	
	Resist. caratt. snervam. fyk:	450.00	MPa
	Resist. caratt. rottura ftk:	450.00	MPa
	Resist. snerv. di progetto fyd:	391.30	MPa
	Resist. ultima di progetto ftd:	391.30	MPa
	Deform. ultima di progetto Epu:	0.068	
	Modulo Elastico Ef	2000000	daN/cm ²
	Diagramma tensione-deformaz.:	Bilineare finito	
	Coeff. Aderenza istantaneo $\beta_1 \cdot \beta_2$:	1.00	
	Coeff. Aderenza differito $\beta_1 \cdot \beta_2$:	0.50	
Sf limite S.L.E. Comb. Rare:	337.50	MPa	

CARATTERISTICHE DOMINIO CONGLOMERATO

Forma del Dominio: Circolare
Classe Conglomerato: C32/40

Raggio circ.: 175.0 cm
X centro circ.: 0.0 cm
Y centro circ.: 0.0 cm

DATI GENERAZIONI CIRCOLARI DI BARRE

N°Gen.	Numero assegnato alla singola generazione circolare di barre
Xcentro	Ascissa [cm] del centro della circonferenza lungo cui sono disposte le barre generate
Ycentro	Ordinata [cm] del centro della circonferenza lungo cui sono disposte le barre generate
Raggio	Raggio [cm] della circonferenza lungo cui sono disposte le barre generate
N°Barre	Numero di barre generate equidistanti disposte lungo la circonferenza
Ø	Diametro [mm] della singola barra generata

N°Gen.	Xcentro	Ycentro	Raggio	N°Barre	Ø
1	0.0	0.0	166.5	106	30
2	0.0	0.0	136.5	106	30
3	0.0	0.0	158.6	1	30

CALCOLO DI RESISTENZA - SFORZI PER OGNI COMBINAZIONE ASSEGNATA

N Sforzo normale [kN] applicato nel Baric. (+ se di compressione)
Mx Momento flettente [kNm] intorno all'asse X' // asse X coordinate

My

con verso positivo se tale da comprimere il lembo sup. della sez.

Momento flettente [kNm] intorno all'asse Y' // asse Y coord.

Vy

con verso positivo se tale da comprimere il lembo destro della sez.

Vx

Componente del Taglio [kN] parallela all'asse Y delle coord.

Componente del Taglio [kN] parallela all'asse X delle coord.

N°Comb.	N	MX	MY	VY	VX
1	28812.50	14860.73	19411.60	0.00	0.00
2	28812.50	27108.54	25297.85	0.00	0.00
3	27305.44	22177.11	37551.82	0.00	0.00
4	28812.50	27108.54	25297.85	0.00	0.00
5	27305.44	22177.11	37551.82	0.00	0.00
6	15764.47	50238.03	14612.27	0.00	0.00
7	15764.47	16105.57	46666.76	0.00	0.00
8	17100.72	16105.57	14612.27	0.00	0.00
9	26144.06	20076.27	18064.04	0.00	0.00
10	26144.06	32324.09	23950.30	0.00	0.00
11	25170.69	26349.55	36473.77	0.00	0.00
12	26144.06	32324.09	23950.30	0.00	0.00
13	25170.69	26349.55	36473.77	0.00	0.00
14	15764.47	50238.03	14612.27	0.00	0.00
15	15764.47	16105.57	46666.76	0.00	0.00
16	17100.72	16105.57	14612.27	0.00	0.00
17	28812.50	14860.73	19411.60	0.00	0.00
18	28812.50	27108.54	25297.85	0.00	0.00
19	27305.44	22177.11	37551.82	0.00	0.00
20	28812.50	27108.54	25297.85	0.00	0.00
21	27305.44	22177.11	37551.82	0.00	0.00
22	15764.47	50238.03	14612.27	0.00	0.00
23	15764.47	16105.57	46666.76	0.00	0.00
24	17100.72	16105.57	14612.27	0.00	0.00

COMB. RARE (S.L.E.) - SFORZI PER OGNI COMBINAZIONE ASSEGNATA

N

Sforzo normale [kN] applicato nel Baricentro (+ se di compressione)

Mx

Momento flettente [kNm] intorno all'asse X delle coordinate (tra parentesi Mom.Fessurazione)

con verso positivo se tale da comprimere il lembo superiore della sezione

My

Momento flettente [kNm] intorno all'asse Y delle coordinate (tra parentesi Mom.Fessurazione)

con verso positivo se tale da comprimere il lembo destro della sezione

N°Comb.	N	MX	MY
1	20388.53	10295.05	12656.96
2	20388.53	18739.82	16416.14
3	19349.18	15337.50	24807.26
4	20388.53	18739.82	16416.14
5	19349.18	15337.50	24807.26
6	18548.23	10295.05	12656.96
7	18548.23	22336.75	15735.23
8	17876.94	18215.05	24262.53
9	18548.23	22336.75	15735.23
10	17876.94	18215.05	24262.53
11	20388.53	10295.05	12656.96
12	20388.53	18739.82	16416.14
13	19349.18	15337.50	24807.26
14	20388.53	18739.82	16416.14
15	19349.18	15337.50	24807.26
16	15338.19	35886.89	10446.63
17	15338.19	11800.22	32781.29
18	15679.79	11800.22	10446.63
19	15374.72	40474.42	10255.84

20	15374.72	13176.48	32145.35
21	15801.57	13176.48	10255.84
22	15374.72	40474.42	10255.84
23	15374.72	13176.48	32145.35
24	15801.57	13176.48	10255.84

COMB. FREQUENTI (S.L.E.) - SFORZI PER OGNI COMBINAZIONE ASSEGNATA

N	Sforzo normale [kN] applicato nel Baricentro (+ se di compressione)
Mx	Momento flettente [kNm] intorno all'asse X delle coordinate (tra parentesi Mom.Fessurazione) con verso positivo se tale da comprimere il lembo superiore della sezione
My	Momento flettente [kNm] intorno all'asse Y delle coordinate (tra parentesi Mom.Fessurazione) con verso positivo se tale da comprimere il lembo destro della sezione

N°Comb.	N	MX	MY
1	19349.18	15241.01 (28668.95)	10292.54 (19360.68)
2	19349.18	15337.50 (13196.97)	24807.26 (21345.11)
3	19349.18	15337.50 (13196.97)	24807.26 (21345.11)
4	19349.18	15337.50 (13196.97)	24807.26 (21345.11)
5	19349.18	15337.50 (13196.97)	24807.26 (21345.11)
6	17876.94	18118.55 (25884.10)	9747.81 (13925.69)
7	17876.94	18215.05 (14324.34)	24262.53 (19080.08)
8	17876.94	18215.05 (14324.34)	24262.53 (19080.08)
9	17876.94	18215.05 (14324.34)	24262.53 (19080.08)
10	17876.94	18215.05 (14324.34)	24262.53 (19080.08)
11	19349.18	15241.01 (28668.95)	10292.54 (19360.68)
12	19349.18	15337.50 (13196.97)	24807.26 (21345.11)
13	19349.18	15337.50 (13196.97)	24807.26 (21345.11)
14	19349.18	15337.50 (13196.97)	24807.26 (21345.11)
15	19349.18	15337.50 (13196.97)	24807.26 (21345.11)

COMB. QUASI PERMANENTI (S.L.E.) - SFORZI PER OGNI COMBINAZIONE ASSEGNATA

N	Sforzo normale [kN] applicato nel Baricentro (+ se di compressione)
Mx	Momento flettente [kNm] intorno all'asse X delle coordinate (tra parentesi Mom.Fessurazione) con verso positivo se tale da comprimere il lembo superiore della sezione
My	Momento flettente [kNm] intorno all'asse Y delle coordinate (tra parentesi Mom.Fessurazione) con verso positivo se tale da comprimere il lembo destro della sezione

N°Comb.	N	MX	MY
1	15191.79	1477.37 (0.00)	695.72 (0.00)
2	15191.79	1496.67 (0.00)	3598.67 (0.00)
3	15191.79	1496.67 (0.00)	3598.67 (0.00)
4	15191.79	1496.67 (0.00)	3598.67 (0.00)
5	15191.79	1496.67 (0.00)	3598.67 (0.00)
6	15191.79	1477.37 (0.00)	695.72 (0.00)
7	15191.79	1496.67 (0.00)	3598.67 (0.00)
8	15191.79	1496.67 (0.00)	3598.67 (0.00)
9	15191.79	1496.67 (0.00)	3598.67 (0.00)
10	15191.79	1496.67 (0.00)	3598.67 (0.00)
11	15191.79	1477.37 (0.00)	695.72 (0.00)
12	15191.79	1496.67 (0.00)	3598.67 (0.00)
13	15191.79	1496.67 (0.00)	3598.67 (0.00)
14	15191.79	1496.67 (0.00)	3598.67 (0.00)
15	15191.79	252.23 (0.00)	3598.67 (0.00)

RISULTATI DEL CALCOLO

Sezione verificata per tutte le combinazioni assegnate

Copriferro netto minimo barre longitudinali: 7.0 cm
Interferro netto minimo barre longitudinali: 4.9 cm

VERIFICHE DI RESISTENZA IN PRESSO-TENSO FLESSIONE ALLO STATO LIMITE ULTIMO

Ver S = combinazione verificata / N = combin. non verificata
N Sforzo normale assegnato [kN] nel baricentro B sezione cls. (positivo se di compressione)
MX Componente X del momento assegnato [kNm] rifer. assi X,Y con origine nel baric. B del cls.
MY Componente Y del momento assegnato [kNm] rifer. assi X,Y con origine nel baric. B del cls.
N Res Sforzo normale resistente [kN] nel baricentro B sezione cls. (positivo se di compressione)
MX Res Momento flettente resistente [kNm] rif. X,Y,B (tra parentesi rif. assi princ. inerzia)
MY Res Momento flettente resistente [kNm] rif. X,Y,B (tra parentesi rif. assi princ. inerzia)
Mis.Sic. Misura sicurezza = rapporto vettoriale tra (N r,Mx Res,My Res) e (N,Mx,My)
Verifica positiva se tale rapporto risulta >=1.000
As Totale Area totale barre longitudinali [cm²]. [Tra parentesi il valore minimo di normativa]

N°Comb	Ver	N	MX	MY	N Res	MX Res	MY Res	Mis.Sic.	As Totale
1	S	28812.50	14860.73	19411.60	28812.49	60533.52(60533.52)	78208.77(78208.77)	4.04	1505.6(288.6)
2	S	28812.50	27108.54	25297.85	28812.68	72611.73(72611.73)	67223.03(67223.03)	2.67	1505.6(288.6)
3	S	27305.44	22177.11	37551.82	27305.44	50218.01(50218.01)	84095.58(84095.58)	2.25	1505.6(288.6)
4	S	28812.50	27108.54	25297.85	28812.68	72611.73(72611.73)	67223.03(67223.03)	2.67	1505.6(288.6)
5	S	27305.44	22177.11	37551.82	27305.44	50218.01(50218.01)	84095.58(84095.58)	2.25	1505.6(288.6)
6	S	15764.47	50238.03	14612.27	15764.18	86715.94(86715.94)	25088.96(25088.96)	1.72	1505.6(288.6)
7	S	15764.47	16105.57	46666.76	15764.48	29794.19(29794.19)	84919.10(84919.10)	1.82	1505.6(288.6)
8	S	17100.72	16105.57	14612.27	17100.78	67777.16(67777.16)	60974.75(60974.75)	4.19	1505.6(288.6)
9	S	26144.06	20076.27	18064.04	26143.82	72625.74(72625.74)	64802.63(64802.63)	3.60	1505.6(288.6)
10	S	26144.06	32324.09	23950.30	26144.00	78428.68(78428.68)	57689.09(57689.09)	2.42	1505.6(288.6)
11	S	25170.69	26349.55	36473.77	25170.67	56955.23(56955.23)	78090.47(78090.47)	2.15	1505.6(288.6)
12	S	26144.06	32324.09	23950.30	26144.00	78428.68(78428.68)	57689.09(57689.09)	2.42	1505.6(288.6)
13	S	25170.69	26349.55	36473.77	25170.67	56955.23(56955.23)	78090.47(78090.47)	2.15	1505.6(288.6)
14	S	15764.47	50238.03	14612.27	15764.18	86715.94(86715.94)	25088.96(25088.96)	1.72	1505.6(288.6)
15	S	15764.47	16105.57	46666.76	15764.48	29794.19(29794.19)	84919.10(84919.10)	1.82	1505.6(288.6)
16	S	17100.72	16105.57	14612.27	17100.78	67777.16(67777.16)	60974.75(60974.75)	4.19	1505.6(288.6)
17	S	28812.50	14860.73	19411.60	28812.49	60533.52(60533.52)	78208.77(78208.77)	4.04	1505.6(288.6)
18	S	28812.50	27108.54	25297.85	28812.68	72611.73(72611.73)	67223.03(67223.03)	2.67	1505.6(288.6)
19	S	27305.44	22177.11	37551.82	27305.44	50218.01(50218.01)	84095.58(84095.58)	2.25	1505.6(288.6)
20	S	28812.50	27108.54	25297.85	28812.68	72611.73(72611.73)	67223.03(67223.03)	2.67	1505.6(288.6)
21	S	27305.44	22177.11	37551.82	27305.44	50218.01(50218.01)	84095.58(84095.58)	2.25	1505.6(288.6)
22	S	15764.47	50238.03	14612.27	15764.18	86715.94(86715.94)	25088.96(25088.96)	1.72	1505.6(288.6)

23	S	15764.47	16105.57	46666.76	15764.48	29794.19(29794.19)	84919.10(84919.10)	1.821505.6(288.6)
24	S	17100.72	16105.57	14612.27	17100.78	67777.16(67777.16)	60974.75(60974.75)	4.191505.6(288.6)

METODO AGLI STATI LIMITE ULTIMI - DEFORMAZIONI UNITARIE ALLO STATO ULTIMO

ec max	Deform. unit. massima del conglomerato a compressione
	Deform. unit. massima del conglomerato a compressione
Xc max	Ascissa in cm della fibra corrisp. a ec max (sistema rif. X,Y,O sez.)
Yc max	Ordinata in cm della fibra corrisp. a ec max (sistema rif. X,Y,O sez.)
es min	Deform. unit. minima nell'acciaio (negativa se di trazione)
Xs min	Ascissa in cm della barra corrisp. a es min (sistema rif. X,Y,O sez.)
Ys min	Ordinata in cm della barra corrisp. a es min (sistema rif. X,Y,O sez.)
es max	Deform. unit. massima nell'acciaio (positiva se di compress.)
Xs max	Ascissa in cm della barra corrisp. a es max (sistema rif. X,Y,O sez.)
Ys max	Ordinata in cm della barra corrisp. a es max (sistema rif. X,Y,O sez.)

N°Comb	ec max	Xc max	Yc max	es min	Xs min	Ys min	es max	Xs max	Ys max
1	0.00350	138.8	158.7	0.00326	129.3	104.9	-0.00602	-129.3	-104.9
2	0.00350	119.3	67.9	0.00326	116.0	119.5	-0.00602	-116.0	-119.5
3	0.00350	150.6	67.9	0.00326	140.8	88.9	-0.00618	-140.8	-88.9
4	0.00350	119.3	67.9	0.00326	116.0	119.5	-0.00602	-116.0	-119.5
5	0.00350	150.6	67.9	0.00326	140.8	88.9	-0.00618	-140.8	-88.9
6	0.00350	48.8	158.7	0.00322	48.6	159.2	-0.00759	-48.6	-159.2
7	0.00350	165.4	67.9	0.00322	157.7	53.3	-0.00759	-157.7	-53.3
8	0.00350	117.5	67.9	0.00323	108.7	126.1	-0.00740	-108.7	-126.1
9	0.00350	116.9	67.9	0.00326	108.7	126.1	-0.00630	-108.7	-126.1
10	0.00350	104.1	67.9	0.00326	101.0	132.3	-0.00630	-101.0	-132.3
11	0.00350	141.8	158.7	0.00325	135.3	97.1	-0.00641	-135.3	-97.1
12	0.00350	104.1	67.9	0.00326	101.0	132.3	-0.00630	-101.0	-132.3
13	0.00350	141.8	67.9	0.00325	135.3	97.1	-0.00641	-135.3	-97.1
14	0.00350	48.8	67.9	0.00322	48.6	159.2	-0.00759	-48.6	-159.2
15	0.00350	165.4	13.2	0.00322	157.7	53.3	-0.00759	-157.7	-53.3
16	0.00350	117.5	168.0	0.00323	108.7	126.1	-0.00740	-108.7	-126.1
17	0.00350	138.8	59.0	0.00326	129.3	104.9	-0.00602	-129.3	-104.9
18	0.00350	119.3	130.9	0.00326	116.0	119.5	-0.00602	-116.0	-119.5
19	0.00350	150.6	169.6	0.00326	140.8	88.9	-0.00618	-140.8	-88.9
20	0.00350	119.3	66.0	0.00326	116.0	119.5	-0.00602	-116.0	-119.5
21	0.00350	150.6	138.0	0.00326	140.8	88.9	-0.00618	-140.8	-88.9
22	0.00350	48.8	169.6	0.00322	48.6	159.2	-0.00759	-48.6	-159.2
23	0.00350	165.4	66.0	0.00322	157.7	53.3	-0.00759	-157.7	-53.3
24	0.00350	117.5	138.0	0.00323	108.7	126.1	-0.00740	-108.7	-126.1

POSIZIONE ASSE NEUTRO PER OGNI COMB. DI RESISTENZA

a, b, c	Coeff. a, b, c nell'eq. dell'asse neutro $aX+bY+c=0$ nel rif. X,Y,O gen.
x/d	Rapp. di duttilità (travi e solette)[§ 4.1.2.1.2.1 NTC]: deve essere < 0.45
C.Rid.	Coeff. di riduz. momenti per sola flessione in travi continue

N°Comb	a	b	c	x/d	C.Rid.
1	0.000022109	0.000016988	-0.001379319	----	----
2	0.000019002	0.000020403	-0.001379297	----	----
3	0.000024389	0.000014437	-0.001459789	----	----
4	0.000019002	0.000020403	-0.001379297	----	----
5	0.000024389	0.000014437	-0.001459789	----	----
6	0.000009062	0.000031174	-0.002181316	----	----
7	0.000030683	0.000010609	-0.002181411	----	----
8	0.000021430	0.000023667	-0.002087326	----	----

9	0.000019176	0.000021364	-0.001523929	----	----
10	0.000017074	0.000023079	-0.001524010	----	----
11	0.000023510	0.000017015	-0.001578662	----	----
12	0.000017074	0.000023079	-0.001524010	----	----
13	0.000023510	0.000017015	-0.001578662	----	----
14	0.000009062	0.000031174	-0.002181316	----	----
15	0.000030683	0.000010609	-0.002181411	----	----
16	0.000021430	0.000023667	-0.002087326	----	----
17	0.000022109	0.000016988	-0.001379319	----	----
18	0.000019002	0.000020403	-0.001379297	----	----
19	0.000024389	0.000014437	-0.001459789	----	----
20	0.000019002	0.000020403	-0.001379297	----	----
21	0.000024389	0.000014437	-0.001459789	----	----
22	0.000009062	0.000031174	-0.002181316	----	----
23	0.000030683	0.000010609	-0.002181411	----	----
24	0.000021430	0.000023667	-0.002087326	----	----

COMBINAZIONI RARE IN ESERCIZIO - MASSIME TENSIONI NORMALI ED APERTURA FESSURE (NTC/EC2)

Ver	S = comb. verificata/ N = comb. non verificata
Sc max	Massima tensione (positiva se di compressione) nel conglomerato [Mpa]
Xc max, Yc max	Ascissa, Ordinata [cm] del punto corrisp. a Sc max (sistema rif. X,Y,O)
Sf min	Minima tensione (negativa se di trazione) nell'acciaio [Mpa]
Xs min, Ys min	Ascissa, Ordinata [cm] della barra corrisp. a Sf min (sistema rif. X,Y,O)
Ac eff.	Area di calcestruzzo [cm²] in zona tesa considerata aderente alle barre
As eff.	Area barre [cm²] in zona tesa considerate efficaci per l'apertura delle fessure

N°Comb	Ver	Sc max	Xc max	Yc max	Sf min	Xs min	Ys min	Ac eff.	As eff.
1	S	4.76	135.8	0.0	-20.3	-129.3	-104.9	3618	120.2
2	S	6.95	115.5	0.0	-66.6	-108.7	-126.1	7738	247.4
3	S	8.11	149.0	0.0	-100.0	-140.8	-88.9	9468	289.8
4	S	6.95	115.5	0.0	-66.6	-108.7	-126.1	7738	247.4
5	S	8.11	149.0	0.0	-100.0	-140.8	-88.9	9468	289.8
6	S	4.68	135.8	0.0	-25.2	-129.3	-104.9	4414	134.3
7	S	7.59	101.0	0.0	-91.1	-93.0	-138.1	9289	303.9
8	S	8.43	140.2	0.0	-116.2	-135.3	-97.1	10284	311.0
9	S	7.59	101.0	0.0	-91.1	-93.0	-138.1	9289	303.9
10	S	8.43	140.2	0.0	-116.2	-135.3	-97.1	10284	311.0
11	S	4.76	135.8	0.0	-20.3	-129.3	-104.9	3618	120.2
12	S	6.95	115.5	0.0	-66.6	-108.7	-126.1	7738	247.4
13	S	8.11	149.0	0.0	-100.0	-140.8	-88.9	9468	289.8
14	S	6.95	115.5	0.0	-66.6	-108.7	-126.1	7738	247.4
15	S	8.11	149.0	0.0	-100.0	-140.8	-88.9	9468	289.8
16	S	10.34	49.2	0.0	-182.7	-48.6	-159.2	11932	360.5
17	S	9.68	164.8	0.0	-165.2	-157.7	-53.3	11726	346.4
18	S	4.45	116.1	0.0	-31.3	-108.7	-126.1	5718	169.6
19	S	11.53	43.2	0.0	-215.6	-39.1	-161.8	12246	367.6
20	S	9.65	162.1	0.0	-164.1	-154.3	-62.6	11705	353.4
21	S	4.69	107.6	0.0	-36.0	-101.0	-132.3	6328	197.9
22	S	11.53	43.2	0.0	-215.6	-39.1	-161.8	12246	367.6
23	S	9.65	162.1	0.0	-164.1	-154.3	-62.6	11705	353.4
24	S	4.69	107.6	0.0	-36.0	-101.0	-132.3	6328	197.9

COMBINAZIONI RARE IN ESERCIZIO - APERTURA FESSURE [§ 7.3.4 EC2]

Ver.	La sezione viene assunta sempre fessurata anche nel caso in cui la trazione minima del calcestruzzo sia inferiore a f_{ctm}
e1	Esito della verifica
e2	Massima deformazione di trazione del calcestruzzo, valutata in sezione fessurata
k1	Minima deformazione di trazione del cls. (in sezione fessurata), valutata nella fibra più interna dell'area Ac eff
kt	= 0.8 per barre ad aderenza migliorata [eq.(7.11)EC2] = 0.4 per comb. quasi permanenti / = 0.6 per comb.frequenti [cfr. eq.(7.9)EC2]

k2	= (e1 + e2)/(2*e1) [eq.(7.13)EC2]
k3	= 3.400 Coeff. in eq.(7.11) come da annessi nazionali
k4	= 0.425 Coeff. in eq.(7.11) come da annessi nazionali
Ø	Diametro [mm] equivalente delle barre tese comprese nell'area efficace Ac eff [eq.(7.11)EC2]
Cf	Copriferro [mm] netto calcolato con riferimento alla barra più tesa
e sm - e cm	Differenza tra le deformazioni medie di acciaio e calcestruzzo [(7.8)EC2 e (C4.1.7)NTC] Tra parentesi: valore minimo = 0.6 Smax / Es [(7.9)EC2 e (C4.1.8)NTC]
sr max	Massima distanza tra le fessure [mm]
wk	Apertura fessure in mm calcolata = sr max*(e_sm - e_cm) [(7.8)EC2 e (C4.1.7)NTC]. Valore limite tra parentesi
Mx fess.	Componente momento di prima fessurazione intorno all'asse X [kNm]
My fess.	Componente momento di prima fessurazione intorno all'asse Y [kNm]

Comb.	Ver	e1	e2	k2	Ø	Cf	e sm - e cm	sr max	wk	MX fess	MY fess
1	S	-0.00011	0	0.833	30.0	70	0.00006 (0.00006)	494	0.030 (990.00)	26953.66	33137.41
2	S	-0.00035	0	0.833	30.0	70	0.00020 (0.00020)	504	0.101 (990.00)	21208.94	18579.10
3	S	-0.00053	0	0.833	30.0	70	0.00030 (0.00030)	516	0.155 (990.00)	13196.97	21345.11
4	S	-0.00035	0	0.833	30.0	70	0.00020 (0.00020)	504	0.101 (990.00)	21208.94	18579.10
5	S	-0.00053	0	0.833	30.0	70	0.00030 (0.00030)	516	0.155 (990.00)	13196.97	21345.11
6	S	-0.00014	0	0.833	30.0	70	0.00008 (0.00008)	517	0.039 (990.00)	23748.91	29197.42
7	S	-0.00048	0	0.833	30.0	70	0.00027 (0.00027)	498	0.136 (990.00)	20771.76	14632.77
8	S	-0.00061	0	0.833	30.0	70	0.00035 (0.00035)	519	0.181 (990.00)	14324.34	19080.08
9	S	-0.00048	0	0.833	30.0	70	0.00027 (0.00027)	498	0.136 (990.00)	20771.76	14632.77
10	S	-0.00061	0	0.833	30.0	70	0.00035 (0.00035)	519	0.181 (990.00)	14324.34	19080.08
11	S	-0.00011	0	0.833	30.0	70	0.00006 (0.00006)	494	0.030 (990.00)	26953.66	33137.41
12	S	-0.00035	0	0.833	30.0	70	0.00020 (0.00020)	504	0.101 (990.00)	21208.94	18579.10
13	S	-0.00053	0	0.833	30.0	70	0.00030 (0.00030)	516	0.155 (990.00)	13196.97	21345.11
14	S	-0.00035	0	0.833	30.0	70	0.00020 (0.00020)	504	0.101 (990.00)	21208.94	18579.10
15	S	-0.00053	0	0.833	30.0	70	0.00030 (0.00030)	516	0.155 (990.00)	13196.97	21345.11
16	S	-0.00096	0	0.833	30.0	70	0.00055 (0.00055)	519	0.285 (990.00)	20502.26	5968.18
17	S	-0.00086	0	0.833	30.0	70	0.00050 (0.00050)	526	0.260 (990.00)	7342.45	20397.51
18	S	-0.00017	0	0.833	30.0	70	0.00009 (0.00009)	525	0.049 (990.00)	24529.26	21715.53
19	S	-0.00113	0	0.833	30.0	70	0.00065 (0.00065)	521	0.337 (990.00)	20191.92	5116.44
20	S	-0.00086	0	0.833	30.0	70	0.00049 (0.00049)	519	0.256 (990.00)	8234.71	20089.40
21	S	-0.00019	0	0.833	30.0	70	0.00011 (0.00011)	510	0.055 (990.00)	24756.63	19269.19
22	S	-0.00113	0	0.833	30.0	70	0.00065 (0.00065)	521	0.337 (990.00)	20191.92	5116.44
23	S	-0.00086	0	0.833	30.0	70	0.00049 (0.00049)	519	0.256 (990.00)	8234.71	20089.40
24	S	-0.00019	0	0.833	30.0	70	0.00011 (0.00011)	510	0.055 (990.00)	24756.63	19269.19

COMBINAZIONI FREQUENTI IN ESERCIZIO - MASSIME TENSIONI NORMALI ED APERTURA FESSURE (NTC/EC2)

N°Comb	Ver	Sc max	Xc max	Yc max	Sf min	Xs min	Ys min	Ac eff.	As eff.
1	S	5.22	98.0	0.0	-33.0	-93.0	-138.1	4897	134.3
2	S	8.11	149.0	0.0	-100.0	-140.8	-88.9	9468	289.8
3	S	8.11	149.0	0.0	-100.0	-140.8	-88.9	9468	289.8
4	S	8.11	149.0	0.0	-100.0	-140.8	-88.9	9468	289.8
5	S	8.11	149.0	0.0	-100.0	-140.8	-88.9	9468	289.8
6	S	5.75	83.1	0.0	-50.5	-76.0	-148.1	7188	240.3
7	S	8.43	140.2	0.0	-116.2	-135.3	-97.1	10284	311.0
8	S	8.43	140.2	0.0	-116.2	-135.3	-97.1	10284	311.0
9	S	8.43	140.2	0.0	-116.2	-135.3	-97.1	10284	311.0
10	S	8.43	140.2	0.0	-116.2	-135.3	-97.1	10284	311.0
11	S	5.22	98.0	0.0	-33.0	-93.0	-138.1	4897	134.3
12	S	8.11	149.0	0.0	-100.0	-140.8	-88.9	9468	289.8
13	S	8.11	149.0	0.0	-100.0	-140.8	-88.9	9468	289.8
14	S	8.11	149.0	0.0	-100.0	-140.8	-88.9	9468	289.8
15	S	8.11	149.0	0.0	-100.0	-140.8	-88.9	9468	289.8

COMBINAZIONI FREQUENTI IN ESERCIZIO - APERTURA FESSURE [§ 7.3.4 EC2]

Comb.	Ver	e1	e2	k2	Ø	Cf	e sm - e cm	sr max	wk	MX fess	MY fess
-------	-----	----	----	----	---	----	-------------	--------	----	---------	---------

1	S	-0.00018	0	0.833	30.0	70	0.00010 (0.00010)	548	0.054 (0.20)	28668.95	19360.68
2	S	-0.00053	0	0.833	30.0	70	0.00030 (0.00030)	516	0.155 (0.20)	13196.97	21345.11
3	S	-0.00053	0	0.833	30.0	70	0.00030 (0.00030)	516	0.155 (0.20)	13196.97	21345.11
4	S	-0.00053	0	0.833	30.0	70	0.00030 (0.00030)	516	0.155 (0.20)	13196.97	21345.11
5	S	-0.00053	0	0.833	30.0	70	0.00030 (0.00030)	516	0.155 (0.20)	13196.97	21345.11
6	S	-0.00027	0	0.833	30.0	70	0.00015 (0.00015)	492	0.075 (0.20)	25884.10	13925.69
7	S	-0.00061	0	0.833	30.0	70	0.00035 (0.00035)	519	0.181 (0.20)	14324.34	19080.08
8	S	-0.00061	0	0.833	30.0	70	0.00035 (0.00035)	519	0.181 (0.20)	14324.34	19080.08
9	S	-0.00061	0	0.833	30.0	70	0.00035 (0.00035)	519	0.181 (0.20)	14324.34	19080.08
10	S	-0.00061	0	0.833	30.0	70	0.00035 (0.00035)	519	0.181 (0.20)	14324.34	19080.08
11	S	-0.00018	0	0.833	30.0	70	0.00010 (0.00010)	548	0.054 (0.20)	28668.95	19360.68
12	S	-0.00053	0	0.833	30.0	70	0.00030 (0.00030)	516	0.155 (0.20)	13196.97	21345.11
13	S	-0.00053	0	0.833	30.0	70	0.00030 (0.00030)	516	0.155 (0.20)	13196.97	21345.11
14	S	-0.00053	0	0.833	30.0	70	0.00030 (0.00030)	516	0.155 (0.20)	13196.97	21345.11
15	S	-0.00053	0	0.833	30.0	70	0.00030 (0.00030)	516	0.155 (0.20)	13196.97	21345.11

COMBINAZIONI QUASI PERMANENTI IN ESERCIZIO - MASSIME TENSIONI NORMALI ED APERTURA FESSURE (NTC/EC2)


N°Comb	Ver	Sc max	Xc max	Yc max	Sf min	Xs min	Ys min	Ac eff.	As eff.
1	S	1.57	73.8	0.0	15.1	-67.1	-152.4	---	---
2	S	1.96	161.3	0.0	9.4	-154.3	-62.6	---	---
3	S	1.96	161.3	0.0	9.4	-154.3	-62.6	---	---
4	S	1.96	161.3	0.0	9.4	-154.3	-62.6	---	---
5	S	1.96	161.3	0.0	9.4	-154.3	-62.6	---	---
6	S	1.57	73.8	0.0	15.1	-67.1	-152.4	---	---
7	S	1.96	161.3	0.0	9.4	-154.3	-62.6	---	---
8	S	1.96	161.3	0.0	9.4	-154.3	-62.6	---	---
9	S	1.96	161.3	0.0	9.4	-154.3	-62.6	---	---
10	S	1.96	161.3	0.0	9.4	-154.3	-62.6	---	---
11	S	1.57	73.8	0.0	15.1	-67.1	-152.4	---	---
12	S	1.96	161.3	0.0	9.4	-154.3	-62.6	---	---
13	S	1.96	161.3	0.0	9.4	-154.3	-62.6	---	---
14	S	1.96	161.3	0.0	9.4	-154.3	-62.6	---	---
15	S	1.91	174.5	0.0	10.1	-165.8	-14.8	---	---

COMBINAZIONI QUASI PERMANENTI IN ESERCIZIO - APERTURA FESSURE [§ 7.3.4 EC2]

Comb.	Ver	e1	e2	k2	Ø	Cf	e sm - e cm	sr max	wk	MX fess	MY fess
1	S	0.00000	0.00000	---	---	---	---	---	0.000 (0.20)	0.00	0.00
2	S	0.00000	0.00000	---	---	---	---	---	0.000 (0.20)	0.00	0.00
3	S	0.00000	0.00000	---	---	---	---	---	0.000 (0.20)	0.00	0.00
4	S	0.00000	0.00000	---	---	---	---	---	0.000 (0.20)	0.00	0.00
5	S	0.00000	0.00000	---	---	---	---	---	0.000 (0.20)	0.00	0.00
6	S	0.00000	0.00000	---	---	---	---	---	0.000 (0.20)	0.00	0.00
7	S	0.00000	0.00000	---	---	---	---	---	0.000 (0.20)	0.00	0.00
8	S	0.00000	0.00000	---	---	---	---	---	0.000 (0.20)	0.00	0.00
9	S	0.00000	0.00000	---	---	---	---	---	0.000 (0.20)	0.00	0.00
10	S	0.00000	0.00000	---	---	---	---	---	0.000 (0.20)	0.00	0.00
11	S	0.00000	0.00000	---	---	---	---	---	0.000 (0.20)	0.00	0.00
12	S	0.00000	0.00000	---	---	---	---	---	0.000 (0.20)	0.00	0.00
13	S	0.00000	0.00000	---	---	---	---	---	0.000 (0.20)	0.00	0.00
14	S	0.00000	0.00000	---	---	---	---	---	0.000 (0.20)	0.00	0.00
15	S	0.00000	0.00000	---	---	---	---	---	0.000 (0.20)	0.00	0.00

8.3 Verifica a taglio

diametro armature trasversale	φ	12	mm	
bracci staffe	bs	4		
area armature trasversale	Asw	5	cm ²	
passo staffe	s	10	cm	
copriferro netto + staffa + $f_i/2$	c'	9	cm	
spessore anima sezione rettrangular	sb	0	cm	
sezione	tipo	circolare		
tipologia di varifica taglio	secondo	statica $q=1$		
Direzione Longidinale				
resistenza ridotta	f'c	9	Mpa	
braccio delle forze interne	$z=0.9d$	253	cm	
larghezza biella	bw	295	cm	
inclinazione staffe	α	90	gradi	
inclinazione biella	ϑ	22	gradi	
resistenza puntoni	Vc	23293	kN	
resistenza staffe	Vs	11186	kN	
taglio resisistente	Vr	11186	kN	
taglio massimo agente	Ved	7145	kN	
	Ved/Vrd	0.64		
Direzione Trasversale				
braccio delle forze interne	$z=0.9d$	253	cm	
larghezza biella	bw	295	cm	
inclinazione biella	ϑ	22	gradi	
resistenza puntoni	Vc	23293	kN	
resistenza staffe	Vs	11186	kN	
taglio resisistente	Vr	11186	kN	
taglio massimo agente	Ved	5637	kN	
	Ved/Vrd	0.50		

 ITALFERR GRUPPO FERROVIE DELLO STATO ITALIANE	DIRETTRICE FERROVIARIA MESSINA - CATANIA - PALERMO NUOVO COLLEGAMENTO PALERMO - CATANIA PROGETTO DEFINITIVO VI11 - Viadotto ferroviario a Singolo binario – sviluppo complessivo 885 m					
	Progetto definitivo Relazione di calcolo Pile – P13	COMMESSA RS3T	LOTTO 30	CODIFICA D09CL	DOCUMENTO VI1105005	REV. B

8.4 Verifica minimi di armatura


Secondo quanto prescritto dalle NTC2018 e dal “Manuale di Progettazione delle Opere Civili” i quantitativi minimi di armatura da rispettare sono:

- *L'area dell'armatura longitudinale dovrà essere non inferiore allo 0,6% dell'area della sezione effettiva del calcestruzzo. Questa prescrizione non si applica ai tratti di pile che, per motivi idraulici, sono realizzati a sezione piena; per queste, fatte salve le esigenze di calcolo, si manterrà l'armatura corrispondente alla sezione del tratto cavo immediatamente superiore;*
- *Le barre di armatura longitudinale non dovranno distare fra loro più di 300 mm compatibilmente con i limiti forniti nella Tab. 2.5.2.2.6-1;*

Diametro delle barre [mm]	Massimo interasse delle barre [mm]
32	300
24	250
20	200


Tab. 2.5.2.2.6-1 – Diametri e relativi interassi massimi delle barre

- *Non è ammesso l'impiego di staffe elicoidali (spiral);*
- *Non è consentito congiungere tra loro i bracci delle staffe per sovrapposizione. Le staffe devono essere chiuse risvoltando i bracci nel nucleo di calcestruzzo mediante la piegatura dei ferri di 135° verso l'interno e per una lunghezza non inferiore a 10 volte il diametro della staffa;*
- *Nella zona di spiccato delle pile e in quella di sommità delle pile a telaio, per un tratto di lunghezza non inferiore a 3 metri non è consentito operare alcun tipo di giunzione delle armature verticali; al di fuori di tale tratto è consentito congiungere, in modo graduale, le barre verticali mediante sovrapposizione o altro. In particolare, le giunzioni devono essere effettuate in modo da interessare non più di 1/3 delle barre longitudinali presenti nella generica sezione, sfalsando due riprese di armatura successive di almeno 40 diametri in senso verticale;*

 ITALFERR GRUPPO FERROVIE DELLO STATO ITALIANE	DIRETTRICE FERROVIARIA MESSINA - CATANIA - PALERMO NUOVO COLLEGAMENTO PALERMO - CATANIA PROGETTO DEFINITIVO VI11 - Viadotto ferroviario a Singolo binario – sviluppo complessivo 885 m					
	Progetto definitivo Relazione di calcolo Pile – P13	COMMESSA RS3T	LOTTO 30	CODIFICA D09CL	DOCUMENTO VI1105005	REV. B

- *L'interasse delle armature trasversali s non deve essere superiore a 10 volte il diametro delle barre longitudinali, né a 1/5 del diametro del nucleo della sezione interna alle stesse;*
- *Nelle pile a sezione cava dovranno prevedersi spille di collegamento fra le armature longitudinali in numero di almeno 6 a metro quadro;*
- *Nel caso in cui il fattore di struttura “q” sia minore o uguale ad 1,5 l'armatura di confinamento delle pile si devono rispettare le limitazioni sulla percentuale meccanica:*

minimi per armatura flessionale				
numero di ferri longitudinali	n	212		
diametro del ferro longitudinale	fi	30	mm	
diametro minimo armatura a taglio	fi	8	mm	
passo massimo longitudinale	p	30	cm	
area dell'armatura longitudinale	As	149854	mm ²	
area di calcestruzzo (non riempito)	Ac	9621000.00	mm ³	
		1.56%	>0.6%	
minimi per confinamento se $q \leq 1.5$				
accelerazione al suolo per SLV	ag	0.14	g	
coefficiente di verifica	ζ	0.03		
interasse staffe	s	100	mm	
diametro armature trasversale	φ	12	mm	
Area della singola staffa	Asw	1.131	mm ²	
Area totale staffe	Asw	2.26	mm ²	
area totale legature	Asl	12.69	mm ²	
percentuale meccanica arm. Trasv	wwd,r	0.0889		

 ITALFERR GRUPPO FERROVIE DELLO STATO ITALIANE	DIRETTRICE FERROVIARIA MESSINA - CATANIA - PALERMO NUOVO COLLEGAMENTO PALERMO - CATANIA PROGETTO DEFINITIVO VI11 - Viadotto ferroviario a Singolo binario – sviluppo complessivo 885 m					
	<i>Progetto definitivo</i> <i>Relazione di calcolo Pile – P13</i>	COMMESSA RS3T	LOTTO 30	CODIFICA D09CL	DOCUMENTO VI1105005	REV. B

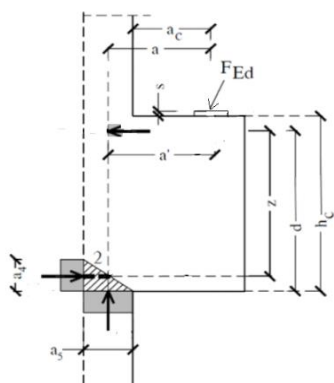
8.5 Verifica spostamenti

Di seguito si riporta una tabella riassuntiva delle escursioni longitudinali per tutte le tipologie di luce presenti lungo la linea:

$$E_L \geq 2,30 \cdot \frac{L}{1000} + 0,073 \text{ e } E_L \geq 0,10m$$

L imp (m)	EL (cm)	Corsa appoggi (cm)	Escursione giunti (cm)	Varco (cm)
17.9	12.0	7.5	7.0	8.0
25	14.0	8.8	8.0	9.0
40	17.0	10.6	9.5	10.5
50	19.0	11.9	10.5	11.5
60	22.0	13.8	12.0	13.0

9. PULVINO

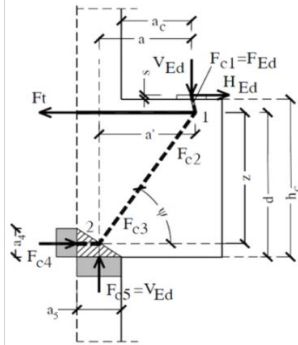
Geometria mensola					
	Altezza mensola	hc	2000	[mm]	
	larghezza mensola	atot	3549.10288	[mm]	
	profondità	b	2000	[mm]	
	copriferro	c	85	[mm]	
	applicazione carico	ac	50	[mm]	
	altezza utile	d	1915	[mm]	
	braccio delle forze interne	z	1532	[mm]	
<i>tipologia di mensola:</i>		MENSOLA MOLTO TOZZA $2a < z$			
Materiali					
	resistenza a compressione cilindrica	fck	32	[Mpa]	
	resistenza di calcolo	fcd	18.13333333	[Mpa]	
	coefficiente riduttivo	h'	0.872	[Mpa]	
	tensione massima nodo CCC	sRd1,max	15.81226667	[Mpa]	
	tensione massima nodo CCT	sRd2,max	13.44042667	[Mpa]	
	resistenza dell'acciaio	fyk	450	[Mpa]	
	resistenza di calcolo dell'acciaio	fyd	391.3043478	[Mpa]	

9.1 Progettazione armatura principale e secondaria

Calcolo armatura principale

con riferimento al modello 1 di traliccio semplificato, si determina l'armatura principale allo SLU

modello 1



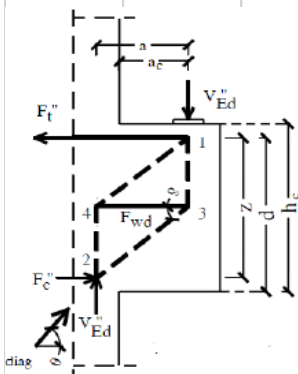
azione esterna applicata	Fed = Fc5	7203.123923	[Kn]
forza orizzontale trasmessa	Hed	305.1324699	
braccio della forza di trazione	z	1532	[mm]
larghezza risultante di riferimento	a5	227.7701254	[mm]
braccio della forza di compressione	a	163.8850627	[mm]
trazione nelle barre che si verifica	Ft = Fc4	877.1085426	[Kn]
armatura superiore	As	2241.499609	[mm2]
diametro del ferro longitudinale	Φ	16	[mm]
passo armature	p	15	[cm]
numero di strati di barre	nst	1	
numeri ferri predisposti in b	n	13.33333333	
areare ferri resistenti	Ares	2679.466667	[mm2]
coef. di sicurezza	Trd/Fc4	1.1953902	

verifica nodo 1 CCC

lunghezza di applicazione delle s4	a4	766	[mm]
tensione di compressione 4	s4	0.572525158	[Mpa] Oke

Calcolo armatura secondaria orizzontale

modello 2



angolo di inclinazione	Ψ	83.05387662	[gradi]
coefficiente di ripartizione	c	15.33060527	[%]
braccio della forza di trazione	z	1532	[mm]
braccio della forza di compressione	a	163.8850627	[mm]
trazione nelle barre secondarie	Fwd	1384.307154	[Kn]
armatura secondaria	As	3537.673839	[mm2]
armatura minima 0.25As	Amin	669.8666667	
diametro ferri secondari	Φ	16	[mm]
passo armature direzione b	s	15	[cm]
numero di strati di barre	nst	1	
numeri ferri predisposti in b	n	13.33333333	
areare ferri resistenti	Ares	2679.466667	[mm2]
coef. di sicurezza	Trd/Fc4	1.1953902	

verifica nodo 2 CCT

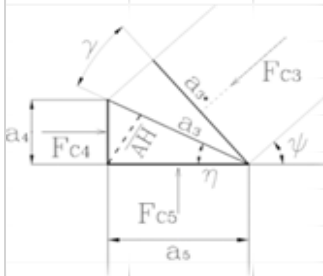
(sotto la piastra)

area piastra di contatto	Aap	1440000	[mm2]
tensione di compr. sotto la piastra	sc1	5.002169391	[Mpa] Oke

9.2 Verifica dei nodi

Nodo CCC

		biella di copressione verticale	Fc1	7203.123923	[Kn]		
		biella comprella orizzontale	Fc2	877.1085426	[Kn]		
		biella compresaa inclinata	Fc3	7256.421333	[Kn]		
		lunghezza di applicazione delle s5	a5	227.7701254	[mm]		
		tensione di compressione 5	s5	15.81226667	[Mpa]	Ok	
		per completezza possiamo comunque determinare le altre tensioni					
		lunghezza di applicazione delle s4	a4	766	[mm]		
		lunghezza di applicazione puntone 3	a3	799.1465635	[mm]		
		lunghezza di applicazione puntone 3	a3*	229.4541486	[mm]		
		difetto di ortogonalità	c	66.53127902	[gradi]		
		tensione di compressione 4	s4	0.572525158	[Mpa]	Ok	
		tensione di compressione 3	s3	4.540106699	[Mpa]	Ok	
		tensione di compressione 3*	s3*	15.81235593	[Mpa]	OK	



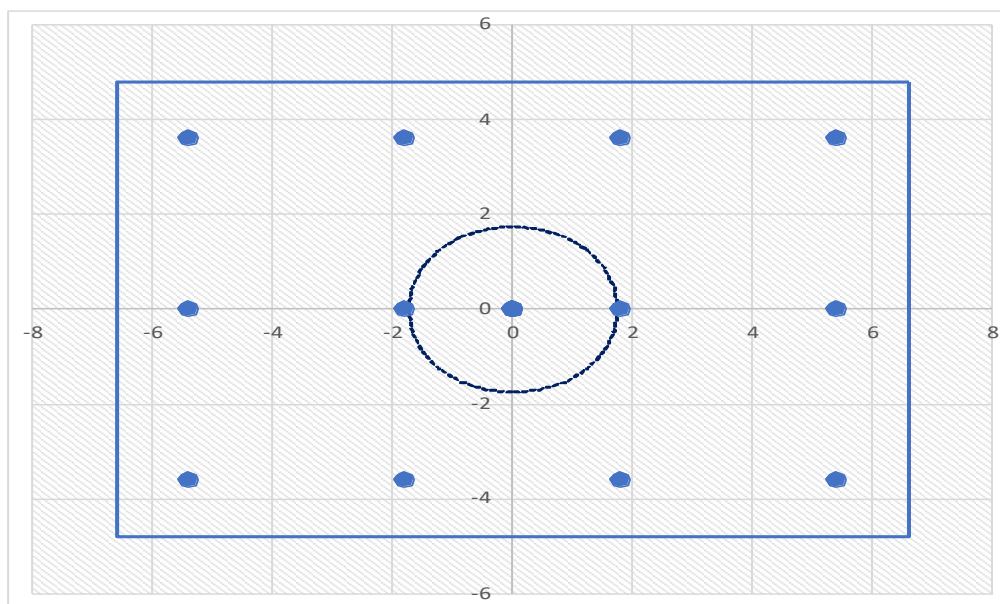
Nodo CCT

		forza di contatto	Fc1	7203.123923	[Kn]	
		biella di calcestruzzo inclinata	Fc3	7256.421333	[Kn]	
		trazione barra	T	877.1085426	[Kn]	
		lunghezza di applicazione contatto	a1	1200	[mm]	
		lunghezza di applicazione contatto	b	1200	[mm]	
		lunghezza di applicazione puntone	a2	1212.720323	[mm]	
		lunghezza tirante	u	178	[mm]	
		angolo di inclinazione	h	83.05387662	[gradi]	
		tesnione di contatto	$s_{c1} < s_{Rd2,t}$	5.00	≤	13.44 Ok
		tensione biella di calcestruzzo incl.	$s_{c3} < s_{Rd2,t}$	4.99	≤	13.44 Ok

10. PLINTO DI FONDAZIONE

Per la progettazione e verifica del plinto di fondazione è necessario valutare preventivamente le sollecitazioni agenti sui singoli pali. Tali sollecitazioni sono state identificate mediante una ripartizione rigida dal baricentro della fondazione.

numero di pali	n.	12		
diametro pali	D	1.2	m	
interasse pali	i	3.6	m	
altezza plinto di fondazione	h	3	m	
Check verifica				
sbalzo direzione trasversale	at	3.65	m	
sbalzo direzione longitudinale	al	1.85	m	
direzione trasversale	a/h	1.216667	<i>Plinto basso</i>	
direzione longitudinale	a/h	0.616667	<i>Plinto basso</i>	



Dalle sollecitazioni ottenute precedentemente nel baricentro in corrispondenza dell'intradosso della fondazione si sono ottenute le seguenti sollecitazioni in testa palo:

Scarichi $q=1.5/1.1$ se plinto snello					
n. palo	X	Y	Ncombo1	Ncombo2	Ncombo3
1	1.8	3.6	6187.5	5118.3	6767.1
2	1.8	-3.6	3852.8	2770.7	-78.8
3	5.4	3.6	6784.3	6893.4	7341.3
4	5.4	-3.6	4449.7	4545.8	495.4
5	-5.4	-3.6	2659.1	-779.4	-1227.4
6	-5.4	3.6	4993.8	1568.2	5618.5
7	5.4	0	5617.0	5719.6	3918.4
8	-5.4	0	3826.5	394.4	2195.6
9	-1.8	0	4423.3	2169.5	2769.9
10	1.8	0	5020.2	3944.5	3344.1
11	-1.8	-3.6	3256.0	995.7	-653.1
12	-1.8	3.6	5590.6	3343.3	6192.8
taglio combinato in			232.1883	599.444	722.906
Scarichi $q=1$ se plinto tozzo e verifica a taglio					
n. palo	X	Y	Ncombo1	Ncombo2	Ncombo3
1	1.8	3.6	4685.9	5118.3	6767.1
2	1.8	-3.6	2338.3	2770.7	-78.8
3	5.4	3.6	5260.1	6893.4	7341.3
4	5.4	-3.6	2912.5	4545.8	495.4
5	-5.4	-3.6	1189.7	-779.4	-1227.4
6	-5.4	3.6	3537.3	1568.2	5618.5
7	5.4	0	4086.3	5719.6	3918.4
8	-5.4	0	2363.5	394.4	2195.6
9	-1.8	0	2937.8	2169.5	2769.9
10	1.8	0	3512.1	3944.5	3344.1
11	-1.8	-3.6	1764.0	995.7	-653.1
12	-1.8	3.6	4111.6	3343.3	6192.8
taglio combinato in			357.5785	599.444	722.906

Il plinto di fondazione è stato verificato ipotizzando un meccanismo di tirante puntone ricadendo nella categoria di elementi tozzi. La larghezza collaborante è stata valutata tramite una diffusione a 45° rispetto al diametro del palo più sollecitato, quindi fermata in corrispondenza della pila o della linea media dell'interasse del palo successivo.

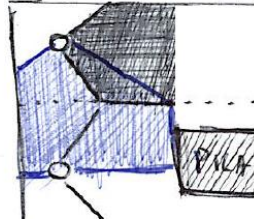


Figura 13 - mensola di riferimento

10.1 Dimensionamento armature

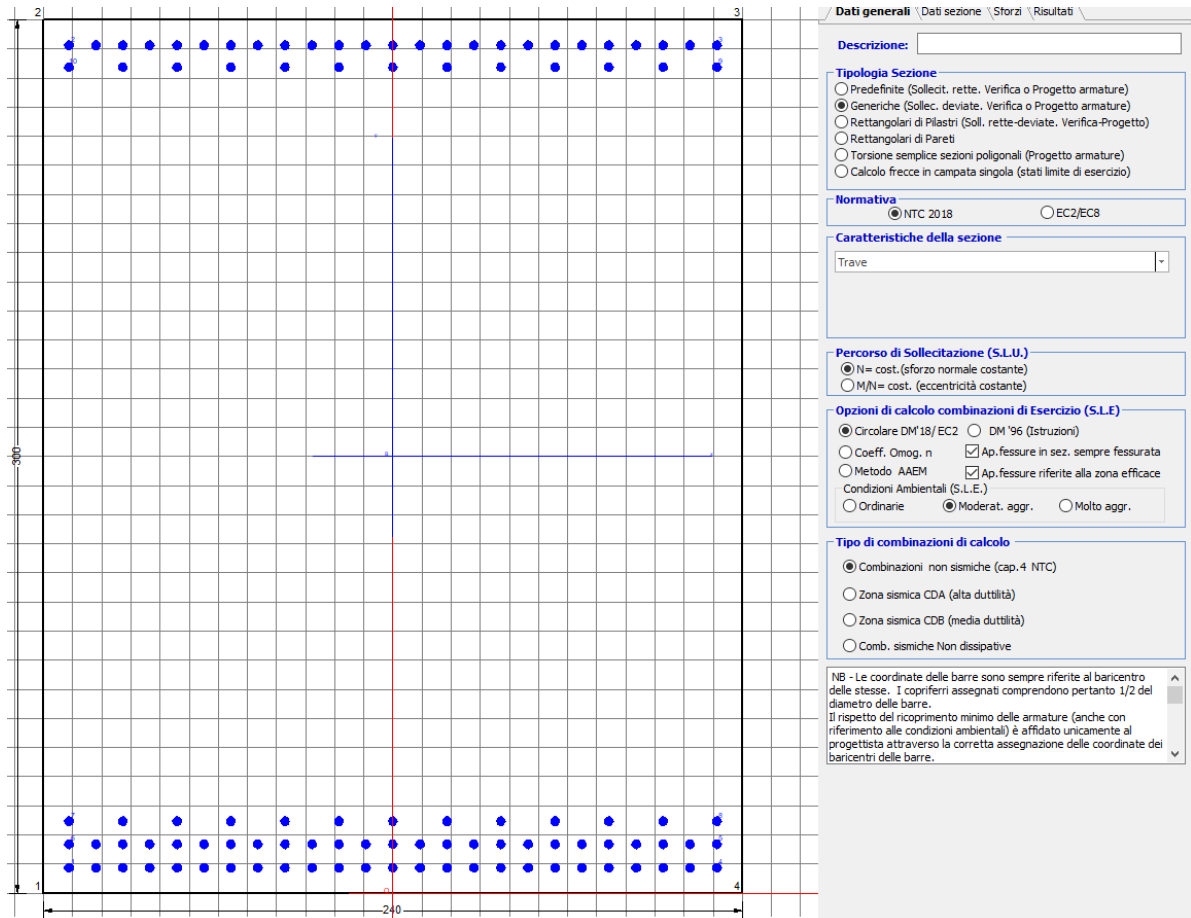
<i>posizione del palo più sollecitato</i>				
coordinata in direzione trasversale		X	5.4	m
coordinata in direzione longitudinale		Y	3.6	m
angolo di deviazione risultate rispetto alle ascisse		α	33.6901	gradi
ipotenusa proiezione orizzontale puntone		L	6.48999	m
altezza della fondazione		h	3	m
inclinazione rispetto all'orizzontale puntone		ϑ	24.8087	gradi
reazione in testa palo più sollecitato		Rmax	6793.06	KN
forza di trazione risultante		T	14695.6	KN
proiezione forza di trazione in trasversale		Tt	12227.5	KN
proiezione forza di trazione in longitudinale		Tl	8151.68	KN
lunghezza collaborante			media	

<i>dimensionamento armature</i>				
area dell'armatura inferiore richiesta in tras		At	31248.4	mm ²
diametro armatura		Φ	30	mm
passo armatura trasversale		p	10	cm
numero di strati		ns	3	
lunghezza di collaborazione		L	2.40258	m
numero di ferri per strato		n	24	
area complessiva sulla lunghezza collaborante		Ares	50893.8	mm ²
		coef. Sicur	0.61399	
area dell'armatura inferiore richiesta in long		Al	20832.3	mm ²
diametro armatura		Φ	30	
passo armatura longitudinale		p	10	cm
numero di strati		ns	2	
lunghezza di collaborazione		L	2.4	m
numero di ferri per strato		n	24	
area complessiva sulla lunghezza collaborante		Ares	33929.2	mm ²
		coef. Sicur	0.61399	
tasso di lavoro armatura allo SLU		σ _t	240.256	MPa
tasso di lavoro armatura allo SLU		σ _l	240.256	MPa

10.2 Verifica a prsso-flessione

10.2.1 Direzione trasversale

Armatura disposta lungo la direzione trasversale all'asse del ponte



DATI GENERALI SEZIONE GENERICA IN C.A.

NOME SEZIONE: **fondazione X 240x300**

Descrizione Sezione:
Metodo di calcolo resistenza: Resistenze agli Stati Limite Ultimi
Tipologia sezione: Sezione generica di Trave
Normativa di riferimento: N.T.C.
Percorso sollecitazione: A Sforzo Norm. costante
Condizioni Ambientali: Moderat. aggressive
Riferimento Sforzi assegnati: Assi x,y principali d'inerzia
Riferimento alla sismicità: Zona non sismica

CARATTERISTICHE DI RESISTENZA DEI MATERIALI IMPIEGATI

CALCESTRUZZO - Classe: C25/30
Resis. compr. di progetto fcd: 14.160 MPa
Def.unit. max resistenza ec2: 0.0020
Def.unit. ultima ecu: 0.0035
Diagramma tensione-deformaz.: Parabola-Rettangolo
Modulo Elastico Normale Ec: 31475.0 MPa

Resis. media a trazione fctm:	2.560	MPa
Coeff. Omogen. S.L.E.:	15.00	
Coeff. Omogen. S.L.E.:	15.00	
Sc limite S.L.E. comb. Frequenti:	137.50	daN/cm ²
Ap.Fessure limite S.L.E. comb. Frequenti:	0.200	mm
Sc limite S.L.E. comb. Q.Permanenti:	0.00	Mpa
Ap.Fess.limite S.L.E. comb. Q.Perm.:	0.200	mm

ACCIAIO -

Tipo:	B450C	
Resist. caratt. snervam. fyk:	450.00	MPa
Resist. caratt. rottura ftk:	450.00	MPa
Resist. snerv. di progetto fyd:	391.30	MPa
Resist. ultima di progetto ftd:	391.30	MPa
Deform. ultima di progetto Epu:	0.068	
Modulo Elastico Ef	2000000	daN/cm ²
Diagramma tensione-deformaz.:	Bilineare finito	
Coeff. Aderenza istantaneo $\beta_1^*\beta_2$:	1.00	
Coeff. Aderenza differito $\beta_1^*\beta_2$:	0.50	
Sf limite S.L.E. Comb. Rare:	337.50	MPa

CARATTERISTICHE DOMINIO CONGLOMERATO

Forma del Dominio: Poligonale
Classe Conglomerato: C25/30

N°vertice:	X [cm]	Y [cm]
1	-120.0	0.0
2	-120.0	300.0
3	120.0	300.0
4	120.0	0.0

DATI BARRE ISOLATE

N°Barra	X [cm]	Y [cm]	DiamØ[mm]
1	-111.3	8.7	30
2	-111.3	291.3	30
3	111.3	291.3	30
4	111.3	8.7	30
5	111.3	16.7	30
6	-111.3	16.7	30
7	-111.3	24.7	30
8	111.3	24.7	30
9	111.3	283.7	30
10	-111.3	283.7	30

DATI GENERAZIONI LINEARI DI BARRE

N°Gen. Numero assegnato alla singola generazione lineare di barre
N°Barra Ini. Numero della barra iniziale cui si riferisce la generazione
N°Barra Fin. Numero della barra finale cui si riferisce la generazione
N°Barre Numero di barre generate equidistanti cui si riferisce la generazione
Ø Diametro in mm delle barre della generazione

N°Gen.	N°Barra Ini.	N°Barra Fin.	N°Barre	Ø
1	2	3	23	30
2	6	5	23	30
3	1	4	23	30
4	7	8	11	30

5

9

10

11

30

CALCOLO DI RESISTENZA - SFORZI PER OGNI COMBINAZIONE ASSEGNATA

N	Sforzo normale [kN] applicato nel Baric. (+ se di compressione)
Mx	Momento flettente [kNm] intorno all'asse x princ. d'inerzia con verso positivo se tale da comprimere il lembo sup. della sez.
My	Momento flettente [kNm] intorno all'asse y princ. d'inerzia con verso positivo se tale da comprimere il lembo destro della sez.
Vy	Componente del Taglio [kN] parallela all'asse princ.d'inerzia y
Vx	Componente del Taglio [kN] parallela all'asse princ.d'inerzia x

N°Comb.	N	Mx	My	Vy	Vx
1	0.00	20026.00	0.00	0.00	0.00
2	0.00	19418.00	0.00	0.00	0.00

COMB. RARE (S.L.E.) - SFORZI PER OGNI COMBINAZIONE ASSEGNATA

N	Sforzo normale [kN] applicato nel Baricentro (+ se di compressione)
Mx	Momento flettente [kNm] intorno all'asse x princ. d'inerzia (tra parentesi Mom.Fessurazione) con verso positivo se tale da comprimere il lembo superiore della sezione
My	Momento flettente [kNm] intorno all'asse y princ. d'inerzia (tra parentesi Mom.Fessurazione) con verso positivo se tale da comprimere il lembo destro della sezione

N°Comb.	N	Mx	My
1	0.00	15388.00	0.00

COMB. FREQUENTI (S.L.E.) - SFORZI PER OGNI COMBINAZIONE ASSEGNATA

N	Sforzo normale [kN] applicato nel Baricentro (+ se di compressione)
Mx	Momento flettente [kNm] intorno all'asse x princ. d'inerzia (tra parentesi Mom.Fessurazione) con verso positivo se tale da comprimere il lembo superiore della sezione
My	Momento flettente [kNm] intorno all'asse y princ. d'inerzia (tra parentesi Mom.Fessurazione) con verso positivo se tale da comprimere il lembo destro della sezione

N°Comb.	N	Mx	My
1	0.00	13753.00 (12948.75)	0.00 (0.00)

COMB. QUASI PERMANENTI (S.L.E.) - SFORZI PER OGNI COMBINAZIONE ASSEGNATA

N	Sforzo normale [kN] applicato nel Baricentro (+ se di compressione)
Mx	Momento flettente [kNm] intorno all'asse x princ. d'inerzia (tra parentesi Mom.Fessurazione) con verso positivo se tale da comprimere il lembo superiore della sezione
My	Momento flettente [kNm] intorno all'asse y princ. d'inerzia (tra parentesi Mom.Fessurazione) con verso positivo se tale da comprimere il lembo destro della sezione

N°Comb.	N	Mx	My
1	0.00	7172.00 (12948.75)	0.00 (0.00)

RISULTATI DEL CALCOLO

Sezione verificata per tutte le combinazioni assegnate

Copriferro netto minimo barre longitudinali:	7.2 cm
Interferro netto minimo barre longitudinali:	4.6 cm

VERIFICHE DI RESISTENZA IN PRESSO-TENSO FLESSIONE ALLO STATO LIMITE ULTIMO

Ver	S = combinazione verificata / N = combin. non verificata
N	Sforzo normale assegnato [kN] nel baricentro B sezione cls.(positivo se di compressione)
Mx	Componente del momento assegnato [kNm] riferito all'asse x princ. d'inerzia
My	Componente del momento assegnato [kNm] riferito all'asse y princ. d'inerzia
N Res	Sforzo normale resistente [kN] nel baricentro B sezione cls.(positivo se di compress.)
Mx Res	Momento flettente resistente [kNm] riferito all'asse x princ. d'inerzia
My Res	Momento flettente resistente [kNm] riferito all'asse y princ. d'inerzia
Mis.Sic.	Misura sicurezza = rapporto vettoriale tra (N r,Mx Res,My Res) e (N,Mx,My) Verifica positiva se tale rapporto risulta >=1.000
As Tesa	Area armature trave [cm ²] in zona tesa. [Tra parentesi l'area minima ex (4.1.15)NTC]

N°Comb	Ver	N	Mx	My	N Res	Mx Res	My Res	Mis.Sic.	As Tesa
1	S	0.00	20026.00	0.00	0.00	47669.31	0.00	2.38445.3(103.4)	
2	S	0.00	19418.00	0.00	0.00	47669.31	0.00	2.45445.3(103.4)	

METODO AGLI STATI LIMITE ULTIMI - DEFORMAZIONI UNITARIE ALLO STATO ULTIMO

ec max	Deform. unit. massima del conglomerato a compressione
x/d	Rapporto di duttilità [§ 4.1.2.1.2.1 NTC] deve essere < 0.45
Xc max	Ascissa in cm della fibra corrisp. a ec max (sistema rif. X,Y,O sez.)
Yc max	Ordinata in cm della fibra corrisp. a ec max (sistema rif. X,Y,O sez.)
es min	Deform. unit. minima nell'acciaio (negativa se di trazione)
Xs min	Ascissa in cm della barra corrisp. a es min (sistema rif. X,Y,O sez.)
Ys min	Ordinata in cm della barra corrisp. a es min (sistema rif. X,Y,O sez.)
es max	Deform. unit. massima nell'acciaio (positiva se di compress.)
Xs max	Ascissa in cm della barra corrisp. a es max (sistema rif. X,Y,O sez.)
Ys max	Ordinata in cm della barra corrisp. a es max (sistema rif. X,Y,O sez.)

N°Comb	ec max	x/d	Xc max	Yc max	es min	Xs min	Ys min	es max	Xs max	Ys max
1	0.00350	0.097	-120.0	300.0	0.00242	-111.3	291.3	-0.03253	-111.3	8.7
2	0.00350	0.097	-120.0	300.0	0.00242	-111.3	291.3	-0.03253	-111.3	8.7

POSIZIONE ASSE NEUTRO PER OGNI COMB. DI RESISTENZA

a, b, c	Coeff. a, b, c nell'eq. dell'asse neutro aX+bY+c=0 nel rif. X,Y,O gen.
x/d	Rapp. di duttilità (travi e solette)[§ 4.1.2.1.2.1 NTC]: deve essere < 0.45
C.Rid.	Coeff. di riduz. momenti per sola flessione in travi continue

N°Comb	a	b	c	x/d	C.Rid.
1	0.000000000	0.000123699	-0.033609821	0.097	0.700
2	0.000000000	0.000123699	-0.033609821	0.097	0.700

COMBINAZIONI RARE IN ESERCIZIO - MASSIME TENSIONI NORMALI ED APERTURA FESSURE (NTC/EC2)

Ver	S = comb. verificata/ N = comb. non verificata
Sc max	Massima tensione (positiva se di compressione) nel conglomerato [Mpa]
Xc max, Yc max	Ascissa, Ordinata [cm] del punto corrisp. a Sc max (sistema rif. X,Y,O)
Sf min	Minima tensione (negativa se di trazione) nell'acciaio [Mpa]
Xs min, Ys min	Ascissa, Ordinata [cm] della barra corrisp. a Sf min (sistema rif. X,Y,O)
Ac eff.	Area di calcestruzzo [cm ²] in zona tesa considerata aderente alle barre
As eff.	Area barre [cm ²] in zona tesa considerate efficaci per l'apertura delle fessure

N°Comb	Ver	Sc max	Xc max	Yc max	Sf min	Xs min	Ys min	Ac eff.	As eff.
1	S	4.13	120.0	300.0	-137.6	-9.3	8.7	9120	445.3

COMBINAZIONI RARE IN ESERCIZIO - APERTURA FESSURE [§ 7.3.4 EC2]

Ver.	La sezione viene assunta sempre fessurata anche nel caso in cui la trazione minima del calcestruzzo sia inferiore a f_{ctm}
e1	Esito della verifica
e2	Massima deformazione di trazione del calcestruzzo, valutata in sezione fessurata
k1	Minima deformazione di trazione del cls. (in sezione fessurata), valutata nella fibra più interna dell'area A_c eff
kt	= 0.8 per barre ad aderenza migliorata [eq.(7.11)EC2]
k2	= 0.4 per comb. quasi permanenti / = 0.6 per comb.frequenti [cfr. eq.(7.9)EC2]
k3	= $(e1 + e2)/(2 \cdot e1)$ [eq.(7.13)EC2]
k4	= 3.400 Coeff. in eq.(7.11) come da annessi nazionali
Ø	= 0.425 Coeff. in eq.(7.11) come da annessi nazionali
Cf	Diametro [mm] equivalente delle barre tese comprese nell'area efficace A_c eff [eq.(7.11)EC2]
e sm - e cm	Copriferro [mm] netto calcolato con riferimento alla barra più tesa
sr max	Differenza tra le deformazioni medie di acciaio e calcestruzzo [(7.8)EC2 e (C4.1.7)NTC]
wk	Tra parentesi: valore minimo = $0.6 S_{max} / E_s$ [(7.9)EC2 e (C4.1.8)NTC]
Mx fess.	Massima distanza tra le fessure [mm]
My fess.	Apertura fessure in mm calcolata = $sr_{max} \cdot (e_{sm} - e_{cm})$ [(7.8)EC2 e (C4.1.7)NTC]. Valore limite tra parentesi
	Componente momento di prima fessurazione intorno all'asse X [kNm]
	Componente momento di prima fessurazione intorno all'asse Y [kNm]

Comb.	Ver	e1	e2	k2	Ø	Cf	e sm - e cm	sr max	wk	Mx fess	My fess
1	S	-0.00072	0	0.910	30.0	72	0.00048 (0.00041)	435	0.210 (990.00)	12948.75	0.00

COMBINAZIONI FREQUENTI IN ESERCIZIO - MASSIME TENSIONI NORMALI ED APERTURA FESSURE (NTC/EC2)

N°Comb	Ver	Sc max	Xc max	Yc max	Sf min	Xs min	Ys min	Ac eff.	As eff.
1	S	3.69	-120.0	300.0	-123.0	9.3	8.7	9120	445.3

COMBINAZIONI FREQUENTI IN ESERCIZIO - APERTURA FESSURE [§ 7.3.4 EC2]

Comb.	Ver	e1	e2	k2	Ø	Cf	e sm - e cm	sr max	wk	Mx fess	My fess
1	S	-0.00064	0	0.910	30.0	72	0.00041 (0.00037)	435	0.178 (0.20)	12948.75	0.00

COMBINAZIONI QUASI PERMANENTI IN ESERCIZIO - MASSIME TENSIONI NORMALI ED APERTURA FESSURE (NTC/EC2)

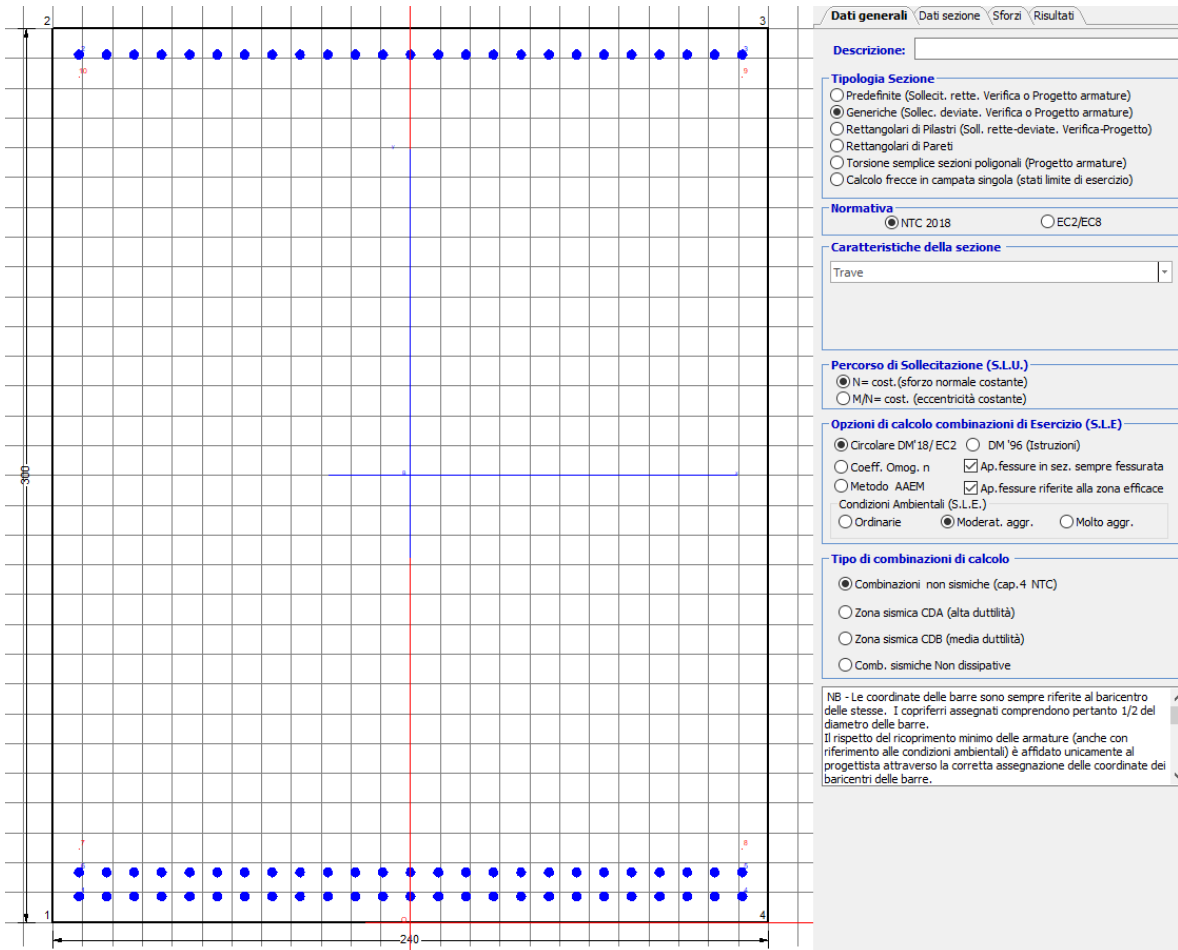
N°Comb	Ver	Sc max	Xc max	Yc max	Sf min	Xs min	Ys min	Ac eff.	As eff.
1	S	1.92	120.0	300.0	-64.1	-37.1	8.7	9120	445.3

COMBINAZIONI QUASI PERMANENTI IN ESERCIZIO - APERTURA FESSURE [§ 7.3.4 EC2]

Comb.	Ver	e1	e2	k2	Ø	Cf	e sm - e cm	sr max	wk	Mx fess	My fess
1	S	-0.00033	0	0.910	30.0	72	0.00019 (0.00019)	435	0.084 (0.20)	12948.75	0.00

10.2.2 Direzione longitudinale

Armatura disposta lungo la direzione longitudinale all'asse del ponte



DATI GENERALI SEZIONE GENERICA IN C.A.

NOME SEZIONE: fondazione y 240x300

Descrizione Sezione:	
Metodo di calcolo resistenza:	Resistenze agli Stati Limite Ultimi
Tipologia sezione:	Sezione generica di Trave
Normativa di riferimento:	N.T.C.
Percorso sollecitazione:	A Sforzo Norm. costante
Condizioni Ambientali:	Moderat. aggressive
Riferimento Sforzi assegnati:	Assi x,y principali d'inerzia
Riferimento alla sismicità:	Zona non sismica

CARATTERISTICHE DI RESISTENZA DEI MATERIALI IMPIEGATI

CALCESTRUZZO -	Classe:	C25/30	
	Resis. compr. di progetto fcd:	14.160	MPa
	Def.unit. max resistenza ec2:	0.0020	
	Def.unit. ultima ecu:	0.0035	
	Diagramma tensione-deformaz.:	Parabola-Rettangolo	

Modulo Elastico Normale Ec:	31475.0	MPa
Resis. media a trazione fctm:	2.560	MPa
Coeff. Omogen. S.L.E.:	15.00	
Coeff. Omogen. S.L.E.:	15.00	
Sc limite S.L.E. comb. Frequenti:	137.50	daN/cm ²
Ap.Fessure limite S.L.E. comb. Frequenti:	0.200	mm
Sc limite S.L.E. comb. Q.Permanenti:	0.00	Mpa
Ap.Fess.limite S.L.E. comb. Q.Perm.:	0.200	mm

ACCIAIO -

Tipo:	B450C	
Resist. caratt. snervam. fyk:	450.00	MPa
Resist. caratt. rottura ftk:	450.00	MPa
Resist. snerv. di progetto fyd:	391.30	MPa
Resist. ultima di progetto ftd:	391.30	MPa
Deform. ultima di progetto Epu:	0.068	
Modulo Elastico Ef	2000000	daN/cm ²
Diagramma tensione-deformaz.:	Bilineare finito	
Coeff. Aderenza istantaneo $\beta_1^*\beta_2$:	1.00	
Coeff. Aderenza differito $\beta_1^*\beta_2$:	0.50	
Sf limite S.L.E. Comb. Rare:	337.50	MPa

CARATTERISTICHE DOMINIO CONGLOMERATO

Forma del Dominio: Poligonale
Classe Conglomerato: C25/30

N°vertice:	X [cm]	Y [cm]
1	-120.0	0.0
2	-120.0	300.0
3	120.0	300.0
4	120.0	0.0

DATI BARRE ISOLATE

N°Barra	X [cm]	Y [cm]	DiamØ[mm]
1	-111.3	8.7	30
2	-111.3	291.3	30
3	111.3	291.3	30
4	111.3	8.7	30
5	111.3	16.7	30
6	-111.3	16.7	30
7	-111.3	24.7	1
8	111.3	24.7	1
9	111.3	283.7	1
10	-111.3	283.7	1

DATI GENERAZIONI LINEARI DI BARRE

N°Gen. Numero assegnato alla singola generazione lineare di barre
N°Barra Ini. Numero della barra iniziale cui si riferisce la generazione
N°Barra Fin. Numero della barra finale cui si riferisce la generazione
N°Barre Numero di barre generate equidistanti cui si riferisce la generazione
Ø Diametro in mm delle barre della generazione

N°Gen.	N°Barra Ini.	N°Barra Fin.	N°Barre	Ø
1	2	3	23	30
2	6	5	23	30
3	1	4	23	30

CALCOLO DI RESISTENZA - SFORZI PER OGNI COMBINAZIONE ASSEGNATA

N	Sforzo normale [kN] applicato nel Baric. (+ se di compressione)
Mx	Momento flettente [kNm] intorno all'asse x princ. d'inerzia con verso positivo se tale da comprimere il lembo sup. della sez.
My	Momento flettente [kNm] intorno all'asse y princ. d'inerzia con verso positivo se tale da comprimere il lembo destro della sez.
Vy	Componente del Taglio [kN] parallela all'asse princ.d'inerzia y
Vx	Componente del Taglio [kN] parallela all'asse princ.d'inerzia x

N°Comb.	N	Mx	My	Vy	Vx
1	0.00	13351.00	0.00	0.00	0.00
2	0.00	12945.00	0.00	0.00	0.00

COMB. RARE (S.L.E.) - SFORZI PER OGNI COMBINAZIONE ASSEGNATA

N	Sforzo normale [kN] applicato nel Baricentro (+ se di compressione)
Mx	Momento flettente [kNm] intorno all'asse x princ. d'inerzia (tra parentesi Mom.Fessurazione) con verso positivo se tale da comprimere il lembo superiore della sezione
My	Momento flettente [kNm] intorno all'asse y princ. d'inerzia (tra parentesi Mom.Fessurazione) con verso positivo se tale da comprimere il lembo destro della sezione

N°Comb.	N	Mx	My
1	0.00	10259.00	0.00

COMB. FREQUENTI (S.L.E.) - SFORZI PER OGNI COMBINAZIONE ASSEGNATA

N	Sforzo normale [kN] applicato nel Baricentro (+ se di compressione)
Mx	Momento flettente [kNm] intorno all'asse x princ. d'inerzia (tra parentesi Mom.Fessurazione) con verso positivo se tale da comprimere il lembo superiore della sezione
My	Momento flettente [kNm] intorno all'asse y princ. d'inerzia (tra parentesi Mom.Fessurazione) con verso positivo se tale da comprimere il lembo destro della sezione

N°Comb.	N	Mx	My
1	0.00	9196.00 (12157.99)	0.00 (0.00)

COMB. QUASI PERMANENTI (S.L.E.) - SFORZI PER OGNI COMBINAZIONE ASSEGNATA

N	Sforzo normale [kN] applicato nel Baricentro (+ se di compressione)
Mx	Momento flettente [kNm] intorno all'asse x princ. d'inerzia (tra parentesi Mom.Fessurazione) con verso positivo se tale da comprimere il lembo superiore della sezione
My	Momento flettente [kNm] intorno all'asse y princ. d'inerzia (tra parentesi Mom.Fessurazione) con verso positivo se tale da comprimere il lembo destro della sezione

N°Comb.	N	Mx	My
1	0.00	4781.00 (12157.99)	0.00 (0.00)

RISULTATI DEL CALCOLO

Sezione verificata per tutte le combinazioni assegnate

Copriferro netto minimo barre longitudinali:	7.2 cm
Interferro netto minimo barre longitudinali:	5.0 cm

VERIFICHE DI RESISTENZA IN PRESSO-TENSO FLESSIONE ALLO STATO LIMITE ULTIMO

Ver	S = combinazione verificata / N = combin. non verificata
N	Sforzo normale assegnato [kN] nel baricentro B sezione cls.(positivo se di compressione)
Mx	Componente del momento assegnato [kNm] riferito all'asse x princ. d'inerzia
My	Componente del momento assegnato [kNm] riferito all'asse y princ. d'inerzia
N Res	Sforzo normale resistente [kN] nel baricentro B sezione cls.(positivo se di compress.)
Mx Res	Momento flettente resistente [kNm] riferito all'asse x princ. d'inerzia
My Res	Momento flettente resistente [kNm] riferito all'asse y princ. d'inerzia
Mis.Sic.	Misura sicurezza = rapporto vettoriale tra (N r,Mx Res,My Res) e (N,Mx,My) Verifica positiva se tale rapporto risulta >=1.000
As Tesa	Area armature trave [cm ²] in zona tesa. [Tra parentesi l'area minima ex (4.1.15)NTC]

N°Comb	Ver	N	Mx	My	N Res	Mx Res	My Res	Mis.Sic.	As Tesa
1	S	0.00	13351.00	0.00	0.00	38409.67	0.00	2.88353.4(103.4)	
2	S	0.00	12945.00	0.00	0.00	38409.67	0.00	2.97353.4(103.4)	

METODO AGLI STATI LIMITE ULTIMI - DEFORMAZIONI UNITARIE ALLO STATO ULTIMO

ec max	Deform. unit. massima del conglomerato a compressione
x/d	Rapporto di duttilità [§ 4.1.2.1.2.1 NTC] deve essere < 0.45
Xc max	Ascissa in cm della fibra corrisp. a ec max (sistema rif. X,Y,O sez.)
Yc max	Ordinata in cm della fibra corrisp. a ec max (sistema rif. X,Y,O sez.)
es min	Deform. unit. minima nell'acciaio (negativa se di trazione)
Xs min	Ascissa in cm della barra corrisp. a es min (sistema rif. X,Y,O sez.)
Ys min	Ordinata in cm della barra corrisp. a es min (sistema rif. X,Y,O sez.)
es max	Deform. unit. massima nell'acciaio (positiva se di compress.)
Xs max	Ascissa in cm della barra corrisp. a es max (sistema rif. X,Y,O sez.)
Ys max	Ordinata in cm della barra corrisp. a es max (sistema rif. X,Y,O sez.)

N°Comb	ec max	x/d	Xc max	Yc max	es min	Xs min	Ys min	es max	Xs max	Ys max
1	0.00350	0.086	-120.0	300.0	0.00229	-111.3	291.3	-0.03706	-111.3	8.7
2	0.00350	0.086	-120.0	300.0	0.00229	-111.3	291.3	-0.03706	-111.3	8.7

POSIZIONE ASSE NEUTRO PER OGNI COMB. DI RESISTENZA

a, b, c	Coeff. a, b, c nell'eq. dell'asse neutro aX+bY+c=0 nel rif. X,Y,O gen.
x/d	Rapp. di duttilità (travi e solette)[§ 4.1.2.1.2.1 NTC]: deve essere < 0.45
C.Rid.	Coeff. di riduz. momenti per sola flessione in travi continue

N°Comb	a	b	c	x/d	C.Rid.
1	0.000000000	0.000139245	-0.038273425	0.086	0.700
2	0.000000000	0.000139245	-0.038273425	0.086	0.700

COMBINAZIONI RARE IN ESERCIZIO - MASSIME TENSIONI NORMALI ED APERTURA FESSURE (NTC/EC2)

Ver	S = comb. verificata/ N = comb. non verificata
Sc max	Massima tensione (positiva se di compressione) nel conglomerato [Mpa]
Xc max, Yc max	Ascissa, Ordinata [cm] del punto corrisp. a Sc max (sistema rif. X,Y,O)
Sf min	Minima tensione (negativa se di trazione) nell'acciaio [Mpa]
Xs min, Ys min	Ascissa, Ordinata [cm] della barra corrisp. a Sf min (sistema rif. X,Y,O)
Ac eff.	Area di calcestruzzo [cm ²] in zona tesa considerata aderente alle barre
As eff.	Area barre [cm ²] in zona tesa considerate efficaci per l'apertura delle fessure

N°Comb	Ver	Sc max	Xc max	Yc max	Sf min	Xs min	Ys min	Ac eff.	As eff.
1	S	3.10	-120.0	300.0	-112.7	18.6	8.7	7680	353.4

COMBINAZIONI RARE IN ESERCIZIO - APERTURA FESSURE [§ 7.3.4 EC2]

Ver.	La sezione viene assunta sempre fessurata anche nel caso in cui la trazione minima del calcestruzzo sia inferiore a f_{ctm}
e1	Esito della verifica
e2	Massima deformazione di trazione del calcestruzzo, valutata in sezione fessurata
k1	Minima deformazione di trazione del cls. (in sezione fessurata), valutata nella fibra più interna dell'area A_c eff
kt	= 0.8 per barre ad aderenza migliorata [eq.(7.11)EC2]
k2	= 0.4 per comb. quasi permanenti / = 0.6 per comb.frequenti [cfr. eq.(7.9)EC2]
k3	= $(e1 + e2)/(2 \cdot e1)$ [eq.(7.13)EC2]
k4	= 3.400 Coeff. in eq.(7.11) come da annessi nazionali
Ø	= 0.425 Coeff. in eq.(7.11) come da annessi nazionali
Cf	Diametro [mm] equivalente delle barre tese comprese nell'area efficace A_c eff [eq.(7.11)EC2]
e sm - e cm	Copri ferro [mm] netto calcolato con riferimento alla barra più tesa
sr max	Differenza tra le deformazioni medie di acciaio e calcestruzzo [(7.8)EC2 e (C4.1.7)NTC]
wk	Tra parentesi: valore minimo = $0.6 S_{max} / E_s$ [(7.9)EC2 e (C4.1.8)NTC]
Mx fess.	Massima distanza tra le fessure [mm]
My fess.	Apertura fessure in mm calcolata = $sr_{max} \cdot (e_{sm} - e_{cm})$ [(7.8)EC2 e (C4.1.7)NTC]. Valore limite tra parentesi
	Componente momento di prima fessurazione intorno all'asse X [kNm]
	Componente momento di prima fessurazione intorno all'asse Y [kNm]

Comb.	Ver	e1	e2	k2	Ø	Cf	e sm - e cm	sr max	wk	Mx fess	My fess
1	S	-0.00059	0	0.926	30.0	72	0.00035 (0.00034)	450	0.156 (990.00)	12157.99	0.00

COMBINAZIONI FREQUENTI IN ESERCIZIO - MASSIME TENSIONI NORMALI ED APERTURA FESSURE (NTC/EC2)

N°Comb	Ver	Sc max	Xc max	Yc max	Sf min	Xs min	Ys min	Ac eff.	As eff.
1	S	2.78	120.0	300.0	-101.0	-64.9	8.7	7680	353.4

COMBINAZIONI FREQUENTI IN ESERCIZIO - APERTURA FESSURE [§ 7.3.4 EC2]


Comb.	Ver	e1	e2	k2	Ø	Cf	e sm - e cm	sr max	wk	Mx fess	My fess
1	S	-0.00053	0	0.926	30.0	72	0.00030 (0.00030)	450	0.136 (0.20)	12157.99	0.00

COMBINAZIONI QUASI PERMANENTI IN ESERCIZIO - MASSIME TENSIONI NORMALI ED APERTURA FESSURE (NTC/EC2)

N°Comb	Ver	Sc max	Xc max	Yc max	Sf min	Xs min	Ys min	Ac eff.	As eff.
1	S	1.44	-120.0	300.0	-52.5	74.2	8.7	7680	353.4


COMBINAZIONI QUASI PERMANENTI IN ESERCIZIO - APERTURA FESSURE [§ 7.3.4 EC2]

Comb.	Ver	e1	e2	k2	Ø	Cf	e sm - e cm	sr max	wk	Mx fess	My fess
1	S	-0.00027	0	0.926	30.0	72	0.00016 (0.00016)	450	0.071 (0.20)	12157.99	0.00

 ITAFERR GRUPPO FERROVIE DELLO STATO ITALIANE	DIRETTRICE FERROVIARIA MESSINA - CATANIA - PALERMO NUOVO COLLEGAMENTO PALERMO - CATANIA PROGETTO DEFINITIVO VI11 - Viadotto ferroviario a Singolo binario – sviluppo complessivo 885 m					
	<i>Progetto definitivo</i> <i>Relazione di calcolo Pile – P13</i>	COMMESSA RS3T	LOTTO 30	CODIFICA D09CL	DOCUMENTO VI1105005	REV. B

10.3 Verifica a punzonamento

perimetro del palo			uo	3.76991	m
diffusione dello sforzo			secondo	NS 3483E	
angolo d'inclinazione superficie			ϑ	45	gradi
perimetro zona critica			u1	20.169	m
altezza della sezione utile			d	2.61	m
raggio interno			r	0.6	m
raggio esterno			R	3.21	m
ipotenusa triangolo interno del cono			a	3.6911	m
angolo massimo di sviluppo			$\alpha 1$	25	gradi
angolo minimo di sviluppo			$\alpha 2$	-115	gradi
sviluppo della superficie resistente			α	1.22173	rad
superficie totale del tronco cono			S1	17.1813	m ²
coefficiente carico			β	1.4	
resistenza caratteristica del calcestruzzo			fck	25	MPa
resistenza di calcolo del calcestruzzo			fcd	14.1667	MPa
valore di progetto del taglio			Ved	6793.06	kN
valore massimo della resistenza unitaria in adiacenza palo					
tensione di progetto di verifica su perimetro uo			ved	0.96655	MPa
resistenza associata			vRd,max	5	MPa
				0.19331	
valore di progetto di una piastra priva di armature a punzonamento					
coefficiente di dato dai carichi			CRd,c	0.12	
fattore di scala			k	1.97358	
percentuale geometrica armatura fless. trasv			qly	0.00812	
percentuale geometrica armatura fless. long			qlz	0.00542	
percentuale meccanica complessiva			ql	0.00976	
coefficiente			k1	0.1	
tensione di progetto di verifica su perimetro u1			ved	0.55353	MPa
			vRd,c	0.67757	MPa
				0.81693	

 ITALFERR GRUPPO FERROVIE DELLO STATO ITALIANE	DIRETTRICE FERROVIARIA MESSINA - CATANIA - PALERMO NUOVO COLLEGAMENTO PALERMO - CATANIA PROGETTO DEFINITIVO VI11 - Viadotto ferroviario a Singolo binario – sviluppo complessivo 885 m					
	<i>Progetto definitivo</i> <i>Relazione di calcolo Pile – P13</i>	COMMESSA RS3T	LOTTO 30	CODIFICA D09CL	DOCUMENTO VI1105005	REV. B

11. PALI DI FONDAZIONE

11.1 Ridistribuzione sollecitazioni testa palo

Le sollecitazioni agenti in testa palo vengono calcolate nell'ipotesi di platea di fondazione infinitamente rigida, attraverso la relazione

$$R(x, y) = \frac{N}{n} + \frac{M_l}{J_l} \cdot y + \frac{M_t}{J_t} \cdot x$$

dove N , M_l , M_t sono lo sforzo normale e i momenti flettenti longitudinale e trasversale agenti al baricentro della palificata, n è il numero di pali e J_l , J_t sono le inerzie longitudinale e trasversale della palificata

$$J_l = \sum y_i^2 \qquad J_t = \sum x_i^2$$

Per quanto riguarda le sollecitazioni orizzontali in testa palo, si assume che le azioni di taglio di ripartiscano uniformemente tra i pali, risultando

$$T(x, y) = \frac{\sqrt{H_l^2 + H_t^2}}{n}$$

dove H_l , H_t sono le forze orizzontali longitudinale e trasversale agenti al baricentro della palificata.

11.2 Verifica strutturale

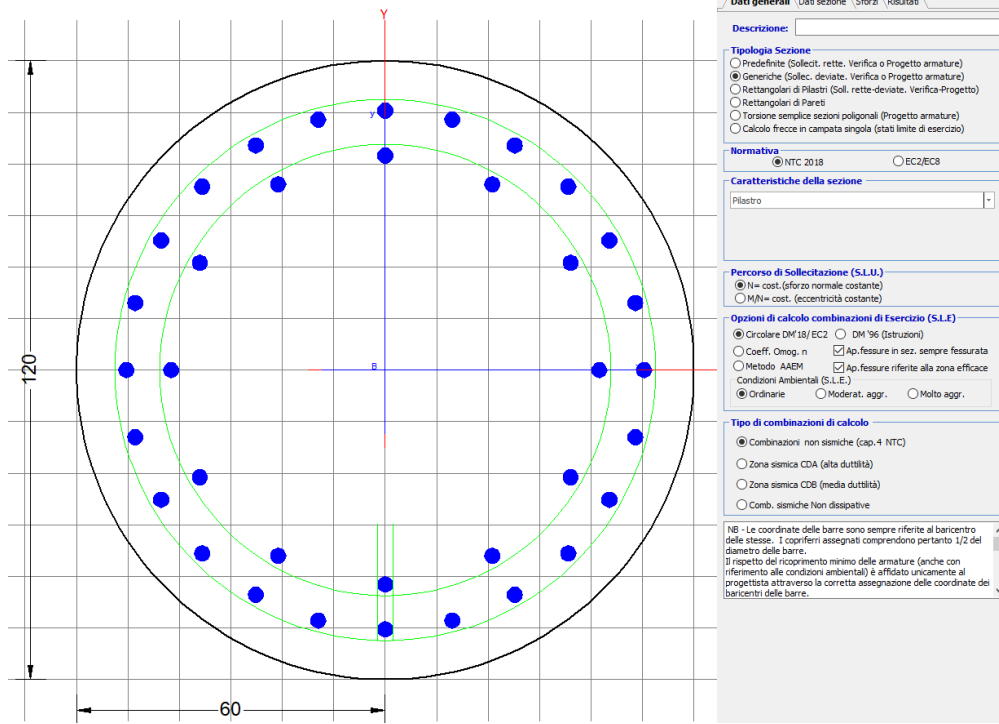
A seconda della verifica di riferimento le sollecitazioni identificate sono riferite ad un fattore di comportamento differente, ottenendo per cui le seguenti ridistribuzioni in testa palo:

Sollecitazioni nel baricentro della fondazione per analisi di presso-flessione

TABELLA PER FLESSIONE						
	N	Tlong	Ttras	Mlong	Mtras	
A1_SLU_gr3+vento_7	56661	2170	1658	33619	30273	
E_103x_SLV_q=1.36_63	36684	6447	1761	74455	21268	
E_103y_SLV_q=1.36_64	36684	2895	4321	26253	64208	
E_103x_SLV_q=1.36_63	36684	6447	1761	74455	21268	
E_103y_SLV_q=1.36_64	36684	2895	4321	26253	64208	

Ridistribuzione

n. palo	X	Y	combo1	combo2	combo3
1	1.8	3.6	6169.35	5839.17	4563.09
2	1.8	-3.6	3834.73	668.667	2739.93
3	5.4	3.6	6729.95	6233.02	5752.12
4	5.4	-3.6	4395.33	1062.52	3928.96
5	-5.4	-3.6	2713.52	-119.03	361.866
6	-5.4	3.6	5048.14	5051.47	2185.02
7	5.4	0	5562.64	3647.77	4840.54
8	-5.4	0	3880.83	2466.22	1273.44
9	-1.8	0	4441.43	2860.07	2462.48
10	1.8	0	5002.04	3253.92	3651.51
11	-1.8	-3.6	3274.12	274.816	1550.9
12	-1.8	3.6	5608.74	5445.32	3374.05
taglio equivalente			227.59	556.927	433.403
alfa derivante dall'analisi geotecnica				α	2.77
	N	Tl	Tt	ML	Mt
combo1	6730	181	138	542	415
combo2	6233	537	147	1612	440
combo3	5752	241	360	724	1080
combo4	-119	537	147	1612	440



DATI GENERALI SEZIONE GENERICA IN C.A.
NOME SEZIONE: palo 1.2

Descrizione Sezione:
Metodo di calcolo resistenza: Resistenze agli Stati Limite Ultimi
Tipologia sezione: Sezione generica di Pilastro
Normativa di riferimento: N.T.C.
Percorso sollecitazione: A Sforzo Norm. costante
Condizioni Ambientali: Poco aggressive
Riferimento Sforzi assegnati: Assi x,y principali d'inerzia
Riferimento alla sismicità: Zona non sismica

CARATTERISTICHE DI RESISTENZA DEI MATERIALI IMPIEGATI

CALCESTRUZZO -	Classe:	C25/30	
	Resis. compr. di progetto fcd:	14.160	MPa
	Def.unit. max resistenza ec2:	0.0020	
	Def.unit. ultima ecu:	0.0035	
	Diagramma tensione-deformaz.:	Parabola-Rettangolo	
	Modulo Elastico Normale Ec:	31475.0	MPa
	Resis. media a trazione fctm:	2.560	MPa
	Coeff. Omogen. S.L.E.:	15.00	
	Coeff. Omogen. S.L.E.:	15.00	
	Sc limite S.L.E. comb. Frequenti:	137.50	daN/cm ²
	Ap.Fessure limite S.L.E. comb. Frequenti:	0.200	mm
	Sc limite S.L.E. comb. Q.Permanenti:	0.00	MPa
Ap.Fess.limite S.L.E. comb. Q.Perm.:	0.200	mm	
ACCIAIO -	Tipo:	B450C	
	Resist. caratt. snervam. fyk:	450.00	MPa
	Resist. caratt. rottura ftk:	450.00	MPa
	Resist. snerv. di progetto fyd:	391.30	MPa
	Resist. ultima di progetto ftd:	391.30	MPa
Deform. ultima di progetto Epu:	0.068		

Modulo Elastico Ef	2000000	daN/cm ²
Diagramma tensione-deformaz.:	Bilineare finito	
Coeff. Aderenza istantaneo $\beta_1 \cdot \beta_2$:	1.00	
Coeff. Aderenza differito $\beta_1 \cdot \beta_2$:	0.50	
Sf limite S.L.E. Comb. Rare:	337.50	MPa

CARATTERISTICHE DOMINIO CONGLOMERATO

Forma del Dominio: Circolare
Classe Conglomerato: C25/30

Raggio circ.: 60.0 cm
X centro circ.: 0.0 cm
Y centro circ.: 0.0 cm

DATI GENERAZIONI CIRCOLARI DI BARRE

N°Gen.	Numero assegnato alla singola generazione circolare di barre
Xcentro	Ascissa [cm] del centro della circonfer. lungo cui sono disposte le barre generate
Ycentro	Ordinata [cm] del centro della circonfer. lungo cui sono disposte le barre generate
Raggio	Raggio [cm] della circonferenza lungo cui sono disposte le barre generate
N°Barre	Numero di barre generate equidist. disposte lungo la circonferenza
Ø	Diametro [mm] della singola barra generata

N°Gen.	Xcentro	Ycentro	Raggio	N°Barre	Ø
1	0.0	0.0	50.3	24	30
2	0.0	0.0	41.6	12	30

CALCOLO DI RESISTENZA - SFORZI PER OGNI COMBINAZIONE ASSEGNATA

N	Sforzo normale [kN] applicato nel Baric. (+ se di compressione)
Mx	Momento flettente [kNm] intorno all'asse x princ. d'inerzia con verso positivo se tale da comprimere il lembo sup. della sez.
My	Momento flettente [kNm] intorno all'asse y princ. d'inerzia con verso positivo se tale da comprimere il lembo destro della sez.
Vy	Componente del Taglio [kN] parallela all'asse princ.d'inerzia y
Vx	Componente del Taglio [kN] parallela all'asse princ.d'inerzia x

N°Comb.	N	Mx	My	Vy	Vx
1	6793.06	402.33	560.13	0.00	0.00
2	2112.81	249.53	281.74	0.00	0.00
3	6729.95	500.91	382.79	0.00	0.00
4	6793.06	402.33	560.13	0.00	0.00
5	6729.95	500.91	382.79	0.00	0.00
6	6793.06	402.33	560.13	0.00	0.00
7	6233.02	1488.19	406.41	0.00	0.00
8	-119.03	1488.19	406.41	0.00	0.00
9	6233.02	1488.19	406.41	0.00	0.00
10	5752.12	668.27	997.34	0.00	0.00
11	6233.02	1488.19	406.41	0.00	0.00
12	5752.12	668.27	997.34	0.00	0.00

COMB. RARE (S.L.E.) - SFORZI PER OGNI COMBINAZIONE ASSEGNATA

N	Sforzo normale [kN] applicato nel Baricentro (+ se di compressione)
Mx	Momento flettente [kNm] intorno all'asse x princ. d'inerzia (tra parentesi Mom.Fessurazione) con verso positivo se tale da comprimere il lembo superiore della sezione

My Momento flettente [kNm] intorno all'asse y princ. d'inerzia (tra parentesi Mom.Fessurazione)
con verso positivo se tale da comprimere il lembo destro della sezione

N°Comb.	N	Mx	My
1	4810.64	277.40	366.61
2	1647.76	277.40	358.46
3	4768.89	345.41	244.46
4	4810.64	277.40	366.61
5	4768.89	345.41	244.46
6	4810.64	277.40	366.61
7	5221.12	909.41	265.90
8	796.46	909.41	265.90
9	5048.38	909.41	265.90
10	4730.20	383.46	640.13
11	5048.38	954.83	265.90
12	4730.20	383.46	640.13

COMB. FREQUENTI (S.L.E.) - SFORZI PER OGNI COMBINAZIONE ASSEGNATA

N Sforzo normale [kN] applicato nel Baricentro (+ se di compressione)
Mx Momento flettente [kNm] intorno all'asse x princ. d'inerzia (tra parentesi Mom.Fessurazione)
con verso positivo se tale da comprimere il lembo superiore della sezione
My Momento flettente [kNm] intorno all'asse y princ. d'inerzia (tra parentesi Mom.Fessurazione)
con verso positivo se tale da comprimere il lembo destro della sezione

N°Comb.	N	Mx	My
1	4810.64	277.40 (0.00)	366.61 (0.00)
2	1647.76	277.40 (903.02)	358.46 (1166.90)
3	4810.64	277.40 (0.00)	366.61 (0.00)
4	4810.64	277.40 (0.00)	366.61 (0.00)
5	4810.64	277.40 (0.00)	366.61 (0.00)
6	4810.64	277.40 (0.00)	366.61 (0.00)

COMB. QUASI PERMANENTI (S.L.E.) - SFORZI PER OGNI COMBINAZIONE ASSEGNATA

N Sforzo normale [kN] applicato nel Baricentro (+ se di compressione)
Mx Momento flettente [kNm] intorno all'asse x princ. d'inerzia (tra parentesi Mom.Fessurazione)
con verso positivo se tale da comprimere il lembo superiore della sezione
My Momento flettente [kNm] intorno all'asse y princ. d'inerzia (tra parentesi Mom.Fessurazione)
con verso positivo se tale da comprimere il lembo destro della sezione

N°Comb.	N	Mx	My
1	3158.15	0.41 (0.00)	58.22 (0.00)
2	2811.88	0.41 (0.00)	58.22 (0.00)
3	3158.15	0.41 (0.00)	58.22 (0.00)
4	3158.15	0.41 (0.00)	58.22 (0.00)
5	3158.15	0.41 (0.00)	58.22 (0.00)
6	3158.15	0.41 (0.00)	58.22 (0.00)

RISULTATI DEL CALCOLO

Sezione verificata per tutte le combinazioni assegnate

Copriferro netto minimo barre longitudinali: 8.2 cm
Interferro netto minimo barre longitudinali: 5.7 cm

VERIFICHE DI RESISTENZA IN PRESSO-TENSO FLESSIONE ALLO STATO LIMITE ULTIMO

Ver	S = combinazione verificata / N = combin. non verificata
N	Sforzo normale assegnato [kN] nel baricentro B sezione cls.(positivo se di compressione)
Mx	Componente del momento assegnato [kNm] riferito all'asse x princ. d'inerzia
My	Componente del momento assegnato [kNm] riferito all'asse y princ. d'inerzia
N Res	Sforzo normale resistente [kN] nel baricentro B sezione cls.(positivo se di compress.)
Mx Res	Momento flettente resistente [kNm] riferito all'asse x princ. d'inerzia
My Res	Momento flettente resistente [kNm] riferito all'asse y princ. d'inerzia
Mis.Sic.	Misura sicurezza = rapporto vettoriale tra (N r,Mx Res,My Res) e (N,Mx,My) Verifica positiva se tale rapporto risulta >=1.000
As Totale	Area totale barre longitudinali [cm ²]. [Tra parentesi il valore minimo di normativa]

N°Comb	Ver	N	Mx	My	N Res	Mx Res	My Res	Mis.Sic.	As Totale
1	S	6793.06	402.33	560.13	6793.11	2683.03	3740.11	6.67	254.5(33.9)
2	S	2112.81	249.53	281.74	2112.96	2828.68	3187.80	11.32	254.5(33.9)
3	S	6729.95	500.91	382.79	6729.79	3658.77	2792.32	7.30	254.5(33.9)
4	S	6793.06	402.33	560.13	6793.11	2683.03	3740.11	6.67	254.5(33.9)
5	S	6729.95	500.91	382.79	6729.79	3658.77	2792.32	7.30	254.5(33.9)
6	S	6793.06	402.33	560.13	6793.11	2683.03	3740.11	6.67	254.5(33.9)
7	S	6233.02	1488.19	406.41	6233.31	4441.71	1212.49	2.98	254.5(33.9)
8	S	-119.03	1488.19	406.41	-119.12	3671.22	1000.90	2.47	254.5(33.9)
9	S	6233.02	1488.19	406.41	6233.31	4441.71	1212.49	2.98	254.5(33.9)
10	S	5752.12	668.27	997.34	5752.23	2554.13	3824.34	3.83	254.5(33.9)
11	S	6233.02	1488.19	406.41	6233.31	4441.71	1212.49	2.98	254.5(33.9)
12	S	5752.12	668.27	997.34	5752.23	2554.13	3824.34	3.83	254.5(33.9)

METODO AGLI STATI LIMITE ULTIMI - DEFORMAZIONI UNITARIE ALLO STATO ULTIMO

ec max	Deform. unit. massima del conglomerato a compressione
Xc max	Ascissa in cm della fibra corrisp. a ec max (sistema rif. X,Y,O sez.)
Yc max	Ordinata in cm della fibra corrisp. a ec max (sistema rif. X,Y,O sez.)
es min	Deform. unit. minima nell'acciaio (negativa se di trazione)
Xs min	Ascissa in cm della barra corrisp. a es min (sistema rif. X,Y,O sez.)
Ys min	Ordinata in cm della barra corrisp. a es min (sistema rif. X,Y,O sez.)
es max	Deform. unit. massima nell'acciaio (positiva se di compress.)
Xs max	Ascissa in cm della barra corrisp. a es max (sistema rif. X,Y,O sez.)
Ys max	Ordinata in cm della barra corrisp. a es max (sistema rif. X,Y,O sez.)

N°Comb	ec max	Xc max	Yc max	es min	Xs min	Ys min	es max	Xs max	Ys max
1	0.00350	48.7	0.4	0.00294	43.6	25.2	-0.00267	-43.6	-25.2
2	0.00350	44.9	0.4	0.00275	35.6	35.6	-0.00493	-35.6	-35.6
3	0.00350	36.4	0.4	0.00293	25.2	43.6	-0.00269	-25.2	-43.6
4	0.00350	48.7	0.4	0.00294	43.6	25.2	-0.00267	-43.6	-25.2
5	0.00350	36.4	0.4	0.00293	25.2	43.6	-0.00269	-25.2	-43.6
6	0.00350	48.7	0.4	0.00294	43.6	25.2	-0.00267	-43.6	-25.2
7	0.00350	15.8	57.6	0.00294	13.0	48.6	-0.00288	-13.0	-48.6
8	0.00350	15.8	57.6	0.00260	13.0	48.6	-0.00675	-13.0	-48.6
9	0.00350	15.8	57.6	0.00294	13.0	48.6	-0.00288	-13.0	-48.6
10	0.00350	49.8	30.8	0.00292	43.6	25.2	-0.00307	-43.6	-25.2
11	0.00350	15.8	57.8	0.00294	13.0	48.6	-0.00288	-13.0	-48.6
12	0.00350	49.8	30.8	0.00292	43.6	25.2	-0.00307	-43.6	-25.2

POSIZIONE ASSE NEUTRO PER OGNI COMB. DI RESISTENZA

a, b, c	Coeff. a, b, c nell'eq. dell'asse neutro $aX+bY+c=0$ nel rif. X,Y,O gen.
x/d	Rapp. di duttilità (travi e solette)[§ 4.1.2.1.2.1 NTC]: deve essere < 0.45
C.Rid.	Coeff. di riduz. momenti per sola flessione in travi continue

N°Comb	a	b	c	x/d	C.Rid.
1	0.000045554	0.000032720	0.000134783	----	----

2	0.000057272	0.000050725	-0.001090348	----	----
3	0.000034188	0.000044738	0.000121650	----	----
4	0.000045554	0.000032720	0.000134783	----	----
5	0.000034188	0.000044738	0.000121650	----	----
6	0.000045554	0.000032720	0.000134783	----	----
7	0.000015246	0.000055828	0.000027667	----	----
8	0.000024481	0.000089643	-0.002075564	----	----
9	0.000015246	0.000055828	0.000027667	----	----
10	0.000049497	0.000033165	-0.000074833	----	----
11	0.000015246	0.000055828	0.000027667	----	----
12	0.000049497	0.000033165	-0.000074833	----	----

COMBINAZIONI RARE IN ESERCIZIO - MASSIME TENSIONI NORMALI ED APERTURA FESSURE (NTC/EC2)

Ver	S = comb. verificata/ N = comb. non verificata
Sc max	Massima tensione (positiva se di compressione) nel conglomerato [Mpa]
Xc max, Yc max	Ascissa, Ordinata [cm] del punto corrisp. a Sc max (sistema rif. X,Y,O)
Sf min	Minima tensione (negativa se di trazione) nell'acciaio [Mpa]
Xs min, Ys min	Ascissa, Ordinata [cm] della barra corrisp. a Sf min (sistema rif. X,Y,O)
Ac eff.	Area di calcestruzzo [cm ²] in zona tesa considerata aderente alle barre
As eff.	Area barre [cm ²] in zona tesa considerate efficaci per l'apertura delle fessure

N°Comb	Ver	Sc max	Xc max	Yc max	Sf min	Xs min	Ys min	Ac eff.	As eff.
1	S	5.08	47.8	0.0	24.0	-43.6	-25.2	----	----
2	S	3.09	47.5	0.0	-10.3	-35.6	-35.6	487	14.1
3	S	4.90	34.7	0.0	25.4	-25.2	-43.6	----	----
4	S	5.08	47.8	0.0	24.0	-43.6	-25.2	----	----
5	S	4.90	34.7	0.0	25.4	-25.2	-43.6	----	----
6	S	5.08	47.8	0.0	24.0	-43.6	-25.2	----	----
7	S	7.38	16.8	0.0	2.3	-13.0	-48.6	0	0.0
8	S	5.95	16.8	0.0	-101.4	-13.0	-48.6	1491	49.5
9	S	7.27	16.8	0.0	0.4	-13.0	-48.6	0	0.0
10	S	6.21	51.5	0.0	8.1	-43.6	-25.2	----	----
11	S	7.47	16.1	0.0	-2.3	-13.0	-48.6	377	7.1
12	S	6.21	51.5	0.0	8.1	-43.6	-25.2	----	----

COMBINAZIONI RARE IN ESERCIZIO - APERTURA FESSURE [§ 7.3.4 EC2]

Ver.	La sezione viene assunta sempre fessurata anche nel caso in cui la trazione minima del calcestruzzo sia inferiore a f_{ctm}
e1	Esito della verifica
e2	Massima deformazione di trazione del calcestruzzo, valutata in sezione fessurata
k1	Minima deformazione di trazione del cls. (in sezione fessurata), valutata nella fibra più interna dell'area Ac eff
kt	= 0.8 per barre ad aderenza migliorata [eq.(7.11)EC2]
k2	= 0.4 per comb. quasi permanenti / = 0.6 per comb.frequenti [cfr. eq.(7.9)EC2]
k3	= $(e1 + e2)/(2 * e1)$ [eq.(7.13)EC2]
k4	= 3.400 Coeff. in eq.(7.11) come da annessi nazionali
k4	= 0.425 Coeff. in eq.(7.11) come da annessi nazionali
Ø	Diametro [mm] equivalente delle barre tese comprese nell'area efficace Ac eff [eq.(7.11)EC2]
Cf	Copriferro [mm] netto calcolato con riferimento alla barra più tesa
e sm - e cm	Differenza tra le deformazioni medie di acciaio e calcestruzzo [(7.8)EC2 e (C4.1.7)NTC]
	Tra parentesi: valore minimo = $0.6 S_{max} / E_s$ [(7.9)EC2 e (C4.1.8)NTC]
sr max	Massima distanza tra le fessure [mm]
wk	Apertura fessure in mm calcolata = $sr \max * (e_{sm} - e_{cm})$ [(7.8)EC2 e (C4.1.7)NTC]. Valore limite tra parentesi
Mx fess.	Componente momento di prima fessurazione intorno all'asse X [kNm]
My fess.	Componente momento di prima fessurazione intorno all'asse Y [kNm]

Comb.	Ver	e1	e2	k2	Ø	Cf	e sm - e cm	sr max	wk	Mx fess	My fess
1	S	0.00000	0.00000	----	----	----	----	----	0.000 (990.00)	0.00	0.00
2	S	-0.00008	0	0.817	30.0	82	0.00003 (0.00003)	566	0.017 (990.00)	903.02	1166.90
3	S	0.00000	0.00000	----	----	----	----	----	0.000 (990.00)	0.00	0.00
4	S	0.00000	0.00000	----	----	----	----	----	0.000 (990.00)	0.00	0.00

5	S	0.00000	0.00000	---	---	---	---	---	0.000 (990.00)	0.00	0.00
6	S	0.00000	0.00000	---	---	---	---	---	0.000 (990.00)	0.00	0.00
7	S	-0.00004	0	0.817	30.0	82	0.00003 (0.00003)	0	0.006 (990.00)	4960.06	1450.26
8	S	-0.00059	0	0.833	30.0	82	0.00030 (0.00030)	535	0.163 (990.00)	685.86	200.54
9	S	-0.00005	0	0.833	30.0	82	0.00030 (0.00030)	0	0.005 (990.00)	3989.44	1166.46
10	S	-0.00008	0	---	---	---	---	---	0.000 (990.00)	987.48	2253.72
11	S	-0.00006	0	0.567	30.0	82	0.00001 (0.00001)	587	0.004 (990.00)	3198.14	890.61
12	S	-0.00012	0	---	---	---	---	---	0.000 (990.00)	733.76	1846.88

COMBINAZIONI FREQUENTI IN ESERCIZIO - MASSIME TENSIONI NORMALI ED APERTURA FESSURE (NTC/EC2)

N°Comb	Ver	Sc max	Xc max	Yc max	Sf min	Xs min	Ys min	Ac eff.	As eff.
1	S	5.08	47.8	0.0	24.0	-43.6	-25.2	---	---
2	S	3.09	47.5	0.0	-10.3	-35.6	-35.6	487	14.1
3	S	5.08	47.8	0.0	24.0	-43.6	-25.2	---	---
4	S	5.08	47.8	0.0	24.0	-43.6	-25.2	---	---
5	S	5.08	47.8	0.0	24.0	-43.6	-25.2	---	---
6	S	5.08	47.8	0.0	24.0	-43.6	-25.2	---	---

COMBINAZIONI FREQUENTI IN ESERCIZIO - APERTURA FESSURE [§ 7.3.4 EC2]


Comb.	Ver	e1	e2	k2	Ø	Cf	e sm - e cm	sr max	wk	Mx fess	My fess
1	S	0.00000	0.00000	---	---	---	---	---	0.000 (0.20)	0.00	0.00
2	S	-0.00008	0	0.817	30.0	82	0.00003 (0.00003)	566	0.017 (0.20)	903.02	1166.90
3	S	0.00000	0.00000	---	---	---	---	---	0.000 (0.20)	0.00	0.00
4	S	0.00000	0.00000	---	---	---	---	---	0.000 (0.20)	0.00	0.00
5	S	0.00000	0.00000	---	---	---	---	---	0.000 (0.20)	0.00	0.00
6	S	0.00000	0.00000	---	---	---	---	---	0.000 (0.20)	0.00	0.00

COMBINAZIONI QUASI PERMANENTI IN ESERCIZIO - MASSIME TENSIONI NORMALI ED APERTURA FESSURE (NTC/EC2)

N°Comb	Ver	Sc max	Xc max	Yc max	Sf min	Xs min	Ys min	Ac eff.	As eff.
1	S	2.33	60.0	0.0	28.3	-50.3	0.0	---	---
2	S	2.10	60.0	0.0	24.9	-50.3	0.0	---	---
3	S	2.33	60.0	0.0	28.3	-50.3	0.0	---	---
4	S	2.33	60.0	0.0	28.3	-50.3	0.0	---	---
5	S	2.33	60.0	0.0	28.3	-50.3	0.0	---	---
6	S	2.33	60.0	0.0	28.3	-50.3	0.0	---	---

COMBINAZIONI QUASI PERMANENTI IN ESERCIZIO - APERTURA FESSURE [§ 7.3.4 EC2]

Comb.	Ver	e1	e2	k2	Ø	Cf	e sm - e cm	sr max	wk	Mx fess	My fess
1	S	0.00000	0.00000	---	---	---	---	---	0.000 (0.20)	0.00	0.00
2	S	0.00000	0.00000	---	---	---	---	---	0.000 (0.20)	0.00	0.00
3	S	0.00000	0.00000	---	---	---	---	---	0.000 (0.20)	0.00	0.00
4	S	0.00000	0.00000	---	---	---	---	---	0.000 (0.20)	0.00	0.00
5	S	0.00000	0.00000	---	---	---	---	---	0.000 (0.20)	0.00	0.00
6	S	0.00000	0.00000	---	---	---	---	---	0.000 (0.20)	0.00	0.00

 ITALFERR GRUPPO FERROVIE DELLO STATO ITALIANE	DIRETTRICE FERROVIARIA MESSINA - CATANIA - PALERMO NUOVO COLLEGAMENTO PALERMO - CATANIA PROGETTO DEFINITIVO VI11 - Viadotto ferroviario a Singolo binario – sviluppo complessivo 885 m					
	<i>Progetto definitivo</i> <i>Relazione di calcolo Pile – P13</i>	COMMESSA RS3T	LOTTO 30	CODIFICA D09CL	DOCUMENTO VI1105005	REV. B

11.3 Verifica a taglio

A seconda della verifica di riferimento le sollecitazioni identificate sono riferite ad un fattore di comportamento differente,


TABELLA PER TAGLIO						
	N	Tlong	Ttras	Mlong	Mtras	
A1_SLU_gr3+vento_7	56661	2170	1658	33619	30273	
E_103x_SLV_q=1_66	36684	8299	2160	99597	27967	
E_103y_SLV_q=1_67	36684	3451	5650	33796	86539	
E_103x_SLV_q=1_66	36684	8299	2160	99597	27967	
E_103y_SLV_q=1_67	36684	3451	5650	33796	86539	

Ottenendo per cui le seguenti azioni in testa palo

		combo1	combo2
sollecitazione massima direzione x	Tx	8299	3451
sollecitazione massima direzione y	Ty	2160	5650
vettore complessivo, singolo palo	T	715	552

Progetto armature

diametro armature trasversale	φ	12	mm
bracci staffe	bs	2	
diametro pali	R	0.6	m
area armature trasversale	Asw	2.3	cm ²
passo staffe	s	20.0	cm
copriferro netto + staffa + fi/2	c'	9.7	cm
resistenza di calcolo armatura	f _{yd}	391.0	Mpa
resistenza caratteristica res cls	f _{ck}	25.0	
resistenza di calcolo res. Calc	f _{cd}	18.5	Mpa
resistenza ridotta	f' _c	9.2	Mpa
braccio delle forze interne	z=0.9d	88.3	cm
larghezza biella	bw	100.9	cm
inclinazione staffe	α	90	gradi
inclinazione biella	β	22	gradi
resistenza puntoni	V _c	2839	kN
resistenza staffe	V _s	977	kN
taglio resisistente	V _r	977	kN
taglio massimo agente	V _{ed}	715	kN
	V _{ed} /V _{rd}	0.73	

	DIRETTRICE FERROVIARIA MESSINA - CATANIA - PALERMO NUOVO COLLEGAMENTO PALERMO - CATANIA PROGETTO DEFINITIVO VI11 - Viadotto ferroviario a Singolo binario – sviluppo complessivo 885 m					
	<i>Progetto definitivo</i> <i>Relazione di calcolo Pile – P13</i>	COMMESSA RS3T	LOTTO 30	CODIFICA D09CL	DOCUMENTO VI1105005	REV. B

12. INCIDENZE

Baggioli/Ritegni	350 kg/mc
Pulvino	180 kg/mc
Fusto Pila	160 kg/mc
Plinto di fondazione	160 kg/mc
Pali di fondazione	primo tratto 195 kg/mc